

Uhládání momentů hybnosti

1) Skruškové vlastnosti momentu hybnosti a hlediska permutačních operátorů

$$\hat{L}_i = \frac{1}{\hbar} \epsilon_{ijk} \hat{X}_j \hat{P}_k$$

$$\hat{L}^2 = \sum_i \hat{L}_i \hat{L}_i$$

$$[\hat{L}_i, \hat{L}_j] = i \epsilon_{ijk} \hat{L}_k$$

$$[\hat{L}^2, \hat{L}_i] = 0$$

$$\hat{L}_{\pm} = \hat{L}_1 \pm i \hat{L}_2$$

$$[\hat{L}^2, \hat{L}_{\pm}] = 0 \quad [\hat{L}_3, \hat{L}_{\pm}] = \pm \hat{L}_{\pm} \quad [\hat{L}_+, \hat{L}_-] = 2 \hat{L}_3$$

$$\hat{L}^2 = \hat{L}_- \hat{L}_+ + \hat{L}_3 + \hat{L}_3^2 = \hat{L}_+ \hat{L}_- - \hat{L}_3 + \hat{L}_3^2$$

pp. $\exists |l, \mu\rangle$: $\hat{L}^2 |l, \mu\rangle = \lambda |l, \mu\rangle$, $\hat{L}_3 |l, \mu\rangle = \mu |l, \mu\rangle$, $\langle l, \mu | l, \mu \rangle = 1$
 $\Rightarrow \hat{L}^2 (\hat{L}_{\pm} |l, \mu\rangle) = \lambda \hat{L}_{\pm} |l, \mu\rangle$, $\hat{L}_3 (\hat{L}_{\pm} |l, \mu\rangle) = (\mu \pm 1) \hat{L}_{\pm} |l, \mu\rangle$

$$\| \hat{L}_{\pm} |l, \mu\rangle \|^2 \geq 0 \text{ a definice, rovná se } \| \hat{L}_{\pm} |l, \mu\rangle \|^2 = \langle l, \mu | \hat{L}_{\mp} \hat{L}_{\pm} |l, \mu\rangle =$$

$$= \langle l, \mu | \hat{L}^2 - \hat{L}_3^2 \mp 2 \hat{L}_3 |l, \mu\rangle = (\lambda - \mu(\mu \pm 1)) \underbrace{\langle l, \mu | l, \mu \rangle}_{=1}$$

$$\Rightarrow \lambda \geq \mu(\mu \pm 1) \quad \forall \text{ přípustná } \mu$$

Abychom operovaným působením \hat{L}_{\pm} nezískali stav s nepochopitelnou normou, musí být

$$\lambda = \mu_{\max}(\mu_{\max} + 1) \quad \wedge \quad \lambda = \mu_{\min}(\mu_{\min} - 1)$$

ozn. l

operovaným působením \hat{L}_- na stav $|l, l\rangle$: $\hat{L}^2 |l, l\rangle = l(l+1) |l, l\rangle$, $\hat{L}_3 |l, l\rangle = l |l, l\rangle$

sísteřávané stavy s $\mu = l-1, l-2, \dots$, abychom po konečné době

kráčel nenarazili nerovnost $\mu \geq \mu_{\min}$, musí být $\mu_{\min} = l-k$, $k \in \mathbb{N} \cup \{0\}$

$$\Rightarrow l(l+1) = (l-k)(l-k-1) = l^2 - 2kl + k^2 - l + k$$

$$\Rightarrow -2kl + k^2 + k - 2l = 0 \Rightarrow k = \frac{+2l-1 \pm \sqrt{(2l-1)^2 + 8l}}{2} =$$

$$= \frac{2l-1 \pm \sqrt{4l^2+1}}{2} = \frac{(2l-1) \pm (2l+1)}{2}$$

(Pozn: $l^2 \wedge l(l+1) = \mu_{\min}(\mu_{\min}-1)$ plyne $\mu_{\min} = \begin{cases} l+1 & \text{nebo} \\ -l \end{cases}$)

$$\Rightarrow l \in \mathbb{N} \cup \{0\}, \mu \equiv m \in \{-l, \dots, l\}$$

normalizace

$$\langle l, m | \hat{L}_+ \hat{L}_- | l, m \rangle = \| \hat{L}_- | l, m \rangle \|^2$$

$$\Rightarrow \hat{L}_- | l, m \rangle = \frac{\alpha^{(-)}(l, m)}{\sqrt{\alpha^{(-)}(l, m)}} | l, m-1 \rangle$$

$$\hat{L}_+ | l, m \rangle = \frac{\alpha^{(+)}(l, m)}{\sqrt{\alpha^{(+)}(l, m)}} | l, m+1 \rangle$$

2) Zhládání 2 momentů hybnosti

$$\hat{L}_{(1)} \dots | l_1, m_1 \rangle$$

$$\hat{L}_{(2)} \dots | l_2, m_2 \rangle$$

$$\hat{L} = \hat{L}_{(1)} + \hat{L}_{(2)}, \quad [\hat{L}_{(1)j}, \hat{L}_{(2)k}] = 0$$

$$\hat{L}^2 = (\hat{L}_{(1)} + \hat{L}_{(2)})^2 = \hat{L}_{(1)}^2 + \hat{L}_{(2)}^2 + 2 \hat{L}_{(1)} \cdot \hat{L}_{(2)} = \hat{L}_{(1)}^2 + \hat{L}_{(2)}^2 + 2 \hat{L}_{(1)3} \hat{L}_{(2)3}$$

$$+ 2 \cdot \frac{1}{2} \left((\hat{L}_{(1)+} + \hat{L}_{(1)-}) (\hat{L}_{(2)+} + \hat{L}_{(2)-}) - (\hat{L}_{(1)+} - \hat{L}_{(1)-}) (\hat{L}_{(2)+} - \hat{L}_{(2)-}) \right)$$

$$= \hat{L}_{(1)}^2 + \hat{L}_{(2)}^2 + 2 \hat{L}_{(1)3} \hat{L}_{(2)3} + \hat{L}_{(1)+} \hat{L}_{(2)-} + \hat{L}_{(1)-} \hat{L}_{(2)+}$$

$$\Rightarrow [\hat{L}^2, \hat{L}_{(1)k}^2] = 0 \quad \text{ale} \quad [\hat{L}^2, \hat{L}_{(1)k}] \neq 0$$

$$\text{pouze} \quad [\hat{L}^2, \hat{L}_{(1)3} + \hat{L}_{(2)3}] = 0$$

2 vlastné volby systému komutujících operátorů

a) $\hat{L}_{(1)}^2, \hat{L}_{(1)3}, \hat{L}_{(2)}^2, \hat{L}_{(2)3} \dots$ odp. vlastní vektory $| l_1, m_1 \rangle | l_2, m_2 \rangle$

b) $\hat{L}_{(1)}^2, \hat{L}_{(2)}^2, \hat{L}_3, \hat{L}_3 \dots$ " " " " $| l_1, l_2; l, m \rangle$

pro dané $l_1, l_2 \in \mathbb{N} \cup \{0\}$ tvoří $\{ | l_1, m_1 \rangle | l_2, m_2 \rangle \}$ bázi $(2l_1+1)(2l_2+1)$ -dimensionálního podprostoru $\mathcal{H}_{l_1, l_2} \subset \mathcal{H}$. Ukážeme, jakých hodnot mohou pro dané l_1, l_2 nabývat l, m , tj. $| l_1, l_2; l, m \rangle$ tvoří bázi \mathcal{H}_{l_1, l_2} a jak lze najít transformaci převádějící jednu bázi na druhou.

Pozn: \mathcal{H}_{l_1, l_2} je určen: $\hat{L}_{(1)}^2 |\psi\rangle = l_1(l_1+1) |\psi\rangle, \hat{L}_{(2)}^2 |\psi\rangle = l_2(l_2+1) |\psi\rangle$

$$\Rightarrow | l_1, m_1 \rangle | l_2, m_2 \rangle \in \mathcal{H}_{l_1, l_2}, \quad | l_1, l_2; l, m \rangle \in \mathcal{H}_{l_1, l_2}$$

Začneme s vektorem $|l_1, l_1\rangle |l_2, l_2\rangle$

$$\Rightarrow \hat{L}^2 |l_1, l_1\rangle |l_2, l_2\rangle = (l_1(l_1+1) + l_2(l_2+1) + 2l_1l_2) |l_1, l_1\rangle |l_2, l_2\rangle$$

$$= (l_1 + l_2)(l_1 + l_2 + 1) |l_1, l_1\rangle |l_2, l_2\rangle$$

$$\hat{L}_3 |l_1, l_1\rangle |l_2, l_2\rangle = (l_1 + l_2) |l_1, l_1\rangle |l_2, l_2\rangle$$

$$\Rightarrow \boxed{|l_1, l_2; l_1 + l_2, l_1 + l_2\rangle = |l_1, l_1\rangle |l_2, l_2\rangle}$$

Opakováním aplikace \hat{L}_- na $|l_1, l_2; l_1 + l_2, l_1 + l_2\rangle$ dostáváme celkem $2(l_1 + l_2) + 1$ stavů... s. vektorů vůči $l = l_1 + l_2$, $m \in \{-l_1 - l_2, \dots, l_1 + l_2\}$

např.

$$|l_1, l_2; l_1 + l_2, l_1 + l_2 - 1\rangle = \frac{1}{\sqrt{(l_1 + l_2)(l_1 + l_2 + 1) - (l_1 + l_2)(l_1 + l_2 - 1)}} \left(\sqrt{2l_1} \sqrt{l_1(l_1 + 1) - l_1(l_1 - 1)} |l_1, l_1 - 1\rangle |l_2, l_2\rangle \right.$$

$$\left. + \sqrt{l_2(l_2 + 1) - l_2(l_2 - 1)} |l_1, l_1\rangle |l_2, l_2 - 1\rangle \right) =$$

$$= \sqrt{\frac{l_1}{l_1 + l_2}} |l_1, l_1 - 1\rangle |l_2, l_2\rangle + \sqrt{\frac{l_2}{l_1 + l_2}} |l_1, l_1\rangle |l_2, l_2 - 1\rangle$$

Omáčíme-li $\langle l_1, l_2; l, m | l_1, m_1 \rangle |l_2, m_2\rangle = (l_1, l_2, m_1, m_2 | l, m)$

sou Clebschovy - Gordanovy koeficienty

pak vidíme, že

$$(l_1, l_2, l_1, l_2 | l_1 + l_2, l_1 + l_2) = 1$$

$$(l_1, l_2, l_1 - 1, l_2 | l_1 + l_2, l_1 + l_2 - 1) = \sqrt{\frac{l_1}{l_1 + l_2}}$$

$$(l_1, l_2, l_1, l_2 - 1 | l_1 + l_2, l_1 + l_2 - 1) = \sqrt{\frac{l_2}{l_1 + l_2}}$$

Pro další postup je vhodné si poznamenat, že $\hat{L}_3 |l_1, m_1\rangle |l_2, m_2\rangle = (m_1 + m_2) |l_1, m_1\rangle |l_2, m_2\rangle$

Je vzhledem k ON stavových vektorů bude s. vektor $|l_1, l_2, l, m\rangle$ lineární kombinací vektorů $|l_1, m_1\rangle |l_2, m_2\rangle$ vyhovujících podmínce $\boxed{m = m_1 + m_2}$

Některé vektory pro dané $l_1, l_2, l_1 + l_2, m \neq \{k \in \mathbb{Z} \mid |l_1 + l_2 - m - k| \leq l_1, |k| \leq l_2\}$

BŮVO pp. $l_2 \leq l_1 \Rightarrow -l_1 \leq l_1 + l_2 - m - k \leq l_1, -l_2 \leq k \leq l_2$

$$\Rightarrow k \in \{-\min(l_2, m - l_2), \dots, l_2 - \max(0, m - 2l_1)\}$$

$$m \leq 2l_2 \Rightarrow k \in \{-m + l_2, \dots, l_2\} \Rightarrow \#\{k\} = m + 1$$

$$(2l_1)^{l_1 + l_2} \geq m \geq 2l_2 \Rightarrow k \in \{-l_2, \dots, l_2\} \Rightarrow \#\{k\} = 2l_2 + 1$$

$$\text{celkem } \#\{k\} = 1 + \min(m, 2l_1, 2l_2)$$

Je tedy vidět, že $\exists |l_1, l_2; l_1+l_2-1, l_1+l_2-1\rangle$ měnící podmínkou

$$\langle l_1, l_2; l_1+l_2, l_1+l_2-1 | l_1, l_2; l_1+l_2-1, l_1+l_2-1 \rangle = 0 \text{ a normalizaci}$$

4)

$$|l_1, l_2; l_1+l_2-1, l_1+l_2-1\rangle = \sqrt{\frac{l_2}{l_1+l_2}} |l_1, l_1-1\rangle |l_2, l_2\rangle - \sqrt{\frac{l_1}{l_1+l_2}} |l_1, l_1\rangle |l_2, l_2-1\rangle$$

$$\Rightarrow (l_1, l_2, l_1-1, l_2 | l_1+l_2-1, l_1+l_2-1) = \sqrt{\frac{l_2}{l_1+l_2}}$$

$$(l_1, l_2, l_1, l_2-1 | l_1+l_2-1, l_1+l_2-1) = -\sqrt{\frac{l_1}{l_1+l_2}}$$

další baričkové vektory se konstruují obdobně, v každém kroku přibude vektor

$|l_1, l_2; l, m\rangle$ až do $l = |l_1 - l_2|$ a vektory tohoto tvaru vždy

generují po opakováních operací \hat{L}_- $(2l+1)$ -rozměrný podprostor

Kontrola počtu baričkových vektorů $\sum_{l=|l_1-l_2|}^{l_1+l_2} 2l+1 = 2 \sum_l l + (l_1+l_2-l_1+l_2+1) =$

$$= \frac{1}{2} (l_1+l_2-l_1+l_2+1)(l_1+l_2+l_1+l_2) + (2l_2+1) = \underline{\underline{(2l_2+1)(2l_1+1)}}$$

Je vhodné si uvědomit obecné vlastnosti CG koeficientů

1) CG koeficienty lze vybrat reálné

$$2) \sum_{l_1, m_1} (l_1, l_2, m_1, m_2 | l, m) (l_1, l_2, \tilde{m}_1, \tilde{m}_2 | l, m) = \delta_{m_1, \tilde{m}_1} \delta_{m_2, \tilde{m}_2}$$

$$3) \sum_{m_1, m_2} (l_1, l_2, m_1, m_2 | l, m) (l_1, l_2, m_1, m_2 | \tilde{l}, \tilde{m}) = \delta_{l, \tilde{l}} \delta_{m, \tilde{m}} \text{ pokud } l, \tilde{l} \in \{ |l_1-l_2|, \dots, l_1+l_2 \} \\ = 0 \text{ jinak}$$

$$4) (l_1, l_2, m_1, m_2 | l, m) = 0 \text{ pokud } m \neq m_1+m_2 \\ \text{nebo } l \notin \{ |l_1-l_2|, \dots, l_1+l_2 \}$$

$$5) \alpha^{(+)}(l, m) (l_1, l_2, m_1, m_2 | l, m-1) = \alpha^{(+)}(l_1, m_1+1) (l_1, l_2, m_1+1, m_2 | l, m) + \alpha^{(+)}(l_2, m_2+1) (l_1, l_2, m_1, m_2+1 | l, m) \\ \alpha^{(+)}(l, m) (l_1, l_2, m_1, m_2 | l, m+1) = \alpha^{(+)}(l_1, m_1-1) (l_1, l_2, m_1-1, m_2 | l, m) + \alpha^{(+)}(l_2, m_2-1) (l_1, l_2, m_1, m_2-1 | l, m)$$

Obecný tvar CG koeficientů je s klasickým l čím dál složitější
 např.:

$$(l_1 l_2 \quad l_1 - 2 \quad l_2 \mid l_1 + l_2, l_1 + l_2 - 2) = \sqrt{\frac{l_1(2l_1 - 1)}{(l_1 + l_2)(2(l_1 + l_2) - 1)}}$$

$$(l_1 l_2 \quad l_1 - 1 \quad l_2 - 1 \mid l_1 + l_2, l_1 + l_2 - 2) = 2 \sqrt{\frac{l_1 l_2}{(l_1 + l_2)(2(l_1 + l_2) - 1)}}$$

Př: $l_1 = l_2 = \frac{1}{2}$

$$\left(\frac{1}{2} \quad \frac{1}{2} \quad \frac{1}{2} \quad \frac{1}{2} \mid 1 \quad 1\right) = 1$$

$$\left(\frac{1}{2} \quad \frac{1}{2} \quad -\frac{1}{2} \quad \frac{1}{2} \mid 1 \quad 0\right) = \frac{1}{\sqrt{2}}$$

$$\left(\frac{1}{2} \quad \frac{1}{2} \quad -\frac{1}{2} \quad \frac{1}{2} \mid 0 \quad 0\right) = \frac{1}{\sqrt{2}}$$

$$\left(\frac{1}{2} \quad \frac{1}{2} \quad \frac{1}{2} \quad -\frac{1}{2} \mid 1 \quad 0\right) = \frac{1}{\sqrt{2}}$$

$$\left(\frac{1}{2} \quad \frac{1}{2} \quad \frac{1}{2} \quad -\frac{1}{2} \mid 0 \quad 0\right) = -\frac{1}{\sqrt{2}}$$

$$\left(\frac{1}{2} \quad \frac{1}{2} \quad -\frac{1}{2} \quad -\frac{1}{2} \mid 1 \quad -1\right) = 1$$

Př: $l_1 = 1 \quad l_2 = \frac{1}{2}$

$$\left(1 \quad \frac{1}{2} \quad 1 \quad \frac{1}{2} \mid \frac{3}{2} \quad \frac{3}{2}\right) = 1$$

$$\left(1 \quad \frac{1}{2} \quad 0 \quad \frac{1}{2} \mid \frac{3}{2} \quad \frac{1}{2}\right) = \sqrt{\frac{2}{3}}$$

$$\left(1 \quad \frac{1}{2} \quad 0 \quad \frac{1}{2} \mid \frac{1}{2} \quad \frac{1}{2}\right) = \sqrt{\frac{1}{3}}$$

$$\left(1 \quad \frac{1}{2} \quad 1 \quad -\frac{1}{2} \mid \frac{3}{2} \quad \frac{1}{2}\right) = \sqrt{\frac{1}{3}}$$

$$\left(1 \quad \frac{1}{2} \quad 1 \quad -\frac{1}{2} \mid \frac{1}{2} \quad \frac{1}{2}\right) = -\sqrt{\frac{2}{3}}$$

doplnějte!

Než lze v literatuře najít Wignerovy $3j$ -symboly

$$\begin{pmatrix} j_1 & j_2 & j_3 \\ m_1 & m_2 & m_3 \end{pmatrix} = (-1)^{j_1 - j_2 - m_3} \frac{(j_1 j_2 m_1 m_2 \mid j_3 - m_3)}{(2j_3 + 1)^{\frac{1}{2}}}$$

výběr... větší symetrie

Y komutačních relací momentu hybnosti a 4 pravidel pro jejich skládání lze odvodit řadu vlastností skalárních součinů vhodných vektorů a maticových elementů

Máme nějakou ÚMP trojčinnou $\hat{A}, \hat{L}_1, \hat{L}_2$, pak definujeme $\vec{L}_{m_1, m_2} \rightarrow (l) = \langle a, l_1, m_1 | \hat{L} | a, l_2, m_2 \rangle$
 (evidentně nesouvisí na a, proč?)

Máme-li nastaveny dvě sady vektorů $\{ |a, l_1, m_1\rangle \}_{m_1=-l_1}^{l_1}$, $\{ |b, l_2, m_2\rangle \}_{m_2=-l_2}^{l_2}$
 vyhovující $\hat{L} |a, l_1, m_1\rangle = \sum_{m=m_1}^{l_1} \vec{L}_{m, m_1}^{(l_1)} |a, l_1, m\rangle$, $\hat{L} |b, l_2, m_2\rangle = \sum_{m=m_2}^{l_2} \vec{L}_{m, m_2}^{(l_2)} |b, l_2, m\rangle$
 pak platí

$$\langle a, l_1, m_1 | b, l_2, m_2 \rangle = \delta_{m_1, m_2} \delta_{l_1, l_2} F(l_1, l_2, a, b)$$

Dk: u předpokladů vyplývá, že

$$\hat{L}_\pm |a, l_1, m_1\rangle = \sqrt{l_1(l_1+1) - m_1(m_1 \pm 1)} |a, l_1, m_1 \pm 1\rangle, \hat{L}_\pm = \hat{L}_1 \pm i \hat{L}_2$$

$$\hat{L}_- \hat{L}_+ = \hat{L}^2 - \hat{L}_3^2 - \hat{L}_3$$

$$\Rightarrow \langle a, l_1, m_1 | \hat{L}_- \hat{L}_+ | b, l_2, m_2 \rangle = a) (l_2(l_2+1) - m_2(m_2+1)) \langle a, l_1, m_1 | b, l_2, m_2 \rangle$$

$$= b) (l_1(l_1+1) - m_1(m_1+1)) \langle a, l_1, m_1 | b, l_2, m_2 \rangle$$

$$= c) \sqrt{l_1(l_1+1) - m_1(m_1+1)} \sqrt{l_2(l_2+1) - m_2(m_2+1)} \langle a, l_1, m_1+1 | b, l_2, m_2+1 \rangle$$

$$a) = b) \quad \forall m_1, m_2 \Rightarrow 0 = [l_1(l_1+1) - m_1(m_1+1) - (l_2(l_2+1) - m_2(m_2+1))] \langle a, l_1, m_1 | b, l_2, m_2 \rangle$$

$$\Rightarrow a) = c) \text{ implikuje } \langle a, l_1, m_1 | b, l_2, m_2 \rangle = \langle a, l_1, m_1+1 | b, l_2, m_2+1 \rangle \text{ pokud } m_1 \in \{-l_1, l_1\}, m_2 \in \{-l_2, l_2\}$$

$$\Rightarrow \text{protože platí } \forall l_2, m_2, l_1, m_1 \Rightarrow \langle a, l_1, m_1 | b, l_2, m_2 \rangle = 0 \quad \forall l_1 \neq l_2 \quad \forall m_1 \neq m_2 \Rightarrow \text{QED}$$

Tensorové operátory a Wigner - Eckartův teorém

irreducibilní tenzorový operátor l-tého řádu ... $\hat{T}(l)$... $(2l+1)$ operátory $\hat{T}(l, m)$ takových, že

$$1) [\hat{L}_3, \hat{T}(l, m)] = m \hat{T}(l, m) \quad 2) [\hat{L}_\pm, \hat{T}(l, m)] = \alpha^{(\pm)}(l, m) \hat{T}(l, m \pm 1)$$

1) a 2) lze ekvivalentně přepsat

$$[\vec{L}, \hat{T}(l, m)] = \sum_{m'=-l}^l \vec{L}_{m, m'}^{(l)} \hat{T}(l, m')$$

Cílem je vyjádřit vlastnosti \vec{L} ke zjednodušenému vyjádření tvaru

$$\langle a, L, M | \hat{T}(k, q) | b, l, m \rangle$$

$$\text{kde } \hat{A} |a, l, m\rangle = a |a, l, m\rangle, \hat{L}^2 |a, l, m\rangle = L(L+1) |a, l, m\rangle, \hat{L}_3 |a, l, m\rangle = M |a, l, m\rangle, [\hat{A}, \vec{L}] = 0$$

$$\hat{B} |b, l, m\rangle = b |b, l, m\rangle, \hat{L}^2 |b, l, m\rangle = l(l+1) |b, l, m\rangle, \hat{L}_3 |b, l, m\rangle = m |b, l, m\rangle, [\hat{B}, \vec{L}] = 0$$

z komutačních relací vyplývá, že

$$\begin{aligned} \hat{L}^{\rightarrow}(\hat{T}(k, g) |b, l, m\rangle) &= \sum_{g'=-k}^k \vec{L}_{g'}^{(k)} \hat{T}(k, g') |b, l, m\rangle + \hat{T}(k, g) \hat{L}^{\rightarrow} |b, l, m\rangle = \\ &= \sum_{g'=-k}^k \vec{L}_{g'}^{(k)} \hat{T}(k, g') |b, l, m\rangle + \sum_{m=-l}^l \vec{L}_{mm}^{(k)} \hat{T}(k, g) |b, l, m\rangle \end{aligned}$$

=> nápadně připomíná vztahy pro celkový moment hybnosti soustavy 2 částic

$$\hat{L}^{\rightarrow}(|k, g\rangle |l, m\rangle) = \sum_{g'=-k}^k \vec{L}_{g'}^{(k)} |k, g'\rangle |l, m\rangle + \sum_{m=-l}^l \vec{L}_{mm}^{(k)} |k, g\rangle |l, m\rangle$$

=> spl. vlastní vektor \hat{L}^2, \hat{L}_z s danými k, l má tvar

$$|b(kl), L'M'\rangle = \sum_{g, m} (klg, m | L'M') \hat{T}(k, g) |b, l, m\rangle$$

od C-6. def. => naopak $\hat{T}(k, g) |b, l, m\rangle = \sum_{L'=|l-k|}^{l+k} \sum_{M'=-L'}^{L'} (klg, m | L'M') |b(kl), L'M'\rangle$

úspěšně odvozen => $\langle a, L, M | \hat{T}(k, g) |b, l, m\rangle = (klg, m | LM) \langle a, L, M | b(kl), L, M \rangle$
 W-E koef. nerovně na M , viz předch. odvození

=> máme-li $\langle a, L, M | \hat{T}(k, g) |b, l, m\rangle$ pro jednu hodnotu M, g, m , máme ho díky výše uvedenému i pro libov. jiné hodnoty, tj. místo $(2L+1)(2L+1)(2k+1)$ výpočtu stačí provést jediný

Obvyklý způsob najít Wigner-Eckartova koef. pomocí redukovaných maticových elementů $(a, L || \hat{T}(k) || b, l)$

$$\begin{aligned} \langle a, L, M | \hat{T}(k, g) |b, l, m\rangle &= (-1)^{L+k-l} \frac{(klg, m | LM)}{(2L+1)^{\frac{1}{2}}} (a, L || \hat{T}(k) || b, l) \\ &= (-1)^{L-M} \begin{pmatrix} L & k & l \\ -M & g & m \end{pmatrix} (a, L || \hat{T}(k) || b, l) \end{aligned}$$

Pozn: redukovaný maticový element je určen levou stranou pro nějakou volbu M, g, m , nemá jiný fyzikální smysl

Př: vektorový operátor \hat{V} : $[\hat{V}_j, \hat{L}_k] = i \epsilon_{jke} \hat{V}_e$
 ozn. $\hat{V}(1, 1) = -\frac{\hat{V}_1 + i\hat{V}_2}{\sqrt{2}}$, $\hat{V}(1, 0) = \hat{V}_3$, $\hat{V}(1, -1) = \frac{\hat{V}_1 - i\hat{V}_2}{\sqrt{2}}$

=> $\hat{V}(1, m)$ jsou složky ind. tensorového operátoru 1. řádu

=> $\langle \beta, 0, 0 | \hat{V} | \alpha, 0, 0 \rangle = 0$ ($\leftarrow (100|100) = 0$)

$$\langle \beta, L, m | \hat{V}_i | \alpha, l, m \rangle = 0, \quad i=1,2 \quad (\Leftrightarrow \langle 1l \pm 1m | Lm \rangle = 0)$$

lze odvodit i složitější vztahy, např. $\langle \beta, l, m' | \hat{V} | \alpha, l, m \rangle = \langle \beta, l, m' | \frac{\hat{L} \cdot (\hat{L} \cdot \hat{V})}{\hat{L}^2} | \alpha, l, m \rangle$

Příklad pářek: systém 2 částic ^{rotujícími} připravený ve vlastním stavu kvadrátu a třech komponentách celkového momentu hybnosti, chcete mít střední hodnotu měření 3. komponenty 1. částice

$$\langle \alpha, l_1, l_2, l, m | \hat{L}_3^{(1)} | \alpha, l_1, l_2, l, m \rangle = \langle \alpha, l_1, l_2, l, m | \frac{\hat{L}_3 \cdot (\hat{L} \cdot \hat{L}^{(1)})}{\hat{L}^2} | \alpha, l_1, l_2, l, m \rangle$$

$$\hat{L} \cdot \hat{L}^{(1)} = \frac{1}{2} (\hat{L}^2 + \hat{L}^{(1)2} - (\vec{L} - \vec{L}^{(1)})^2) = \frac{1}{2} (\vec{L}^2 + \vec{L}^{(1)2} - \vec{L}^{(2)2})$$

$$\Rightarrow \langle \alpha, l_1, l_2, l, m | \hat{L}_3^{(1)} | \alpha, l_1, l_2, l, m \rangle = \frac{m}{2l(l+1)} (l(l+1) + l_1(l_1+1) - l_2(l_2+1))$$

Jiné ekvivalentní způsoby výpisu kvantové mechaniky
nebo jiné reprezentace QM

a) jiný výběr báze Hilbertova prostoru \mathcal{H}

pro jednoduchost předpokládejme, že se jedná o bezspinovou částici v \mathbb{R}^3 , resp. \mathbb{R} zobecněná na částice se spinem, resp. systémy více částic budou řešena

vnovou funkcí $\psi(\vec{x})$ lze psát $\psi(\vec{x}) = \int \delta^{(3)}(\vec{y} - \vec{x}) \psi(\vec{y}) d^3\vec{y} = \langle \vec{x} | \psi \rangle$

a chápat ji jako skalární součin abstraktního vektoru $|\psi\rangle$ a zobecněného vlastního vektoru polohy $|\vec{x}\rangle : \hat{X}|\vec{x}\rangle = \vec{x}|\vec{x}\rangle$. Obvyklý zápis QM

je tedy možno chápat jako zápis v "bázi \mathcal{H} " tvořené zobecněnými vlastními vektory $|\vec{x}\rangle$.
 Lze si představit, že je možné pracovat i v jiných bázích. Lze se setkat s

- 1) bází tvořenou vl. vektory hybnosti $|\vec{p}\rangle : \hat{P}|\vec{p}\rangle = \vec{p}|\vec{p}\rangle, \langle \vec{x} | \vec{p} \rangle = \frac{1}{(2\pi\hbar)^{3/2}} e^{+i\vec{p}\vec{x}/\hbar}$
- 2) bází tvořenou vl. vektory ÚMP dráhující hamiltonián \hat{H} , pp. \hat{H} nezávislá explicitně na čase

od 1) tzv. hybnostní reprezentace, stavu $|\psi\rangle$ přiřadíme vnovou funkci v hybnostní reprezentaci $\psi(\vec{p}) = \langle \vec{p} | \psi \rangle$

vztah mezi $\psi(\vec{p})$ a $\psi(\vec{x})$: $\psi(\vec{p}) = \langle \vec{p} | \psi \rangle = \int \langle \vec{p} | \vec{x} \rangle \langle \vec{x} | \psi \rangle d^3x = \frac{1}{(2\pi\hbar)^{3/2}} \int e^{-i\vec{p}\vec{x}/\hbar} \psi(\vec{x}) d^3x$
 naopak $\psi(\vec{x}) = \frac{1}{(2\pi\hbar)^{3/2}} \int e^{i\vec{p}\vec{x}/\hbar} \psi(\vec{p}) d^3p$, jedná se tedy o přímou a inverzní Fourierovu transformaci.

V nové bázi je třeba psát též operátory: $\langle \psi | \hat{A} | \varphi \rangle = \int d^3x \int d^3y \langle \psi | \vec{x} \rangle \langle \vec{x} | \hat{A} | \vec{y} \rangle \langle \vec{y} | \varphi \rangle$
 $= \int d^3x \int d^3y \psi^*(\vec{x}) \langle \vec{x} | \hat{A} | \vec{y} \rangle \varphi(\vec{y})$

resp. $\langle \psi | \hat{A} | \varphi \rangle = \int d^3p \int d^3q \psi^*(\vec{p}) \langle \vec{p} | \hat{A} | \vec{q} \rangle \varphi(\vec{q})$

např. $\langle \psi | \hat{X}_i | \varphi \rangle = \int d^3p \int d^3q \psi^*(\vec{p}) \left(\int d^3x \frac{1}{(2\pi\hbar)^3} e^{-i\vec{p}\vec{x}/\hbar} x_i e^{i\vec{q}\vec{x}/\hbar} \right) \varphi(\vec{q}) =$

$= \int d^3p \int d^3q \psi^*(\vec{p}) (-i\hbar) \frac{\partial}{\partial q_i} \cdot (\delta^{(3)}(\vec{p} - \vec{q})) \varphi(\vec{q}) = i\hbar \int d^3p \int d^3q \psi^*(\vec{p}) \delta^{(3)}(\vec{p} - \vec{q}) \frac{\partial \varphi(\vec{q})}{\partial q_i}$

$= \int d^3p \psi^*(\vec{p}) (i\hbar \frac{\partial}{\partial p_i}) \varphi(\vec{p}) \Rightarrow$ operátor polohy v hybnostní reprezentaci je $\hat{X}_i = i\hbar \frac{\partial}{\partial p_i}$

podobně $\hat{P}_j = p_j$, $\hat{H} = \underbrace{\sum_{j=1}^n \frac{p_j^2}{2m}} + V\left(ik \frac{\partial}{\partial p_j}\right)$

⇓
 většinou (kromě velmi jednoduchých potenciálů) je výhodnější souřadnicová či x -repräsentace

Pr: Čeká se, že v p -repräsentaci platí kanonické komutační relace $[\hat{X}_j, \hat{P}_k] = ik \delta_{jk}$

ad 2) kv. energetická repräsentace ... báze $\{|m, \alpha\rangle\}$ $\hat{H}|m, \alpha\rangle = E_m |m, \alpha\rangle$
 pokud \hat{H} je operátor s čistě bodovým spektrém, je $\{|m, \alpha\rangle\}$ báze i z matematického hlediska. Za předpokladu, že definiční obor všech fyzikálně zajímavých operátorů obsahuje $\{|m, \alpha\rangle\}$, lze místo operátoru \hat{A} počítat s příslušnou ∞ -rozměrnou maticí $\langle m, \beta | \hat{A} | m, \alpha \rangle$, sledování operátorů je pak možné sapsat jako násobení matic apod.

Výhoda ... snadný popis časového vývoje $|m, \alpha, (t)\rangle = e^{-\frac{i}{\hbar} E_m (t-t_0)} |m, \alpha, (t_0)\rangle$

Nevýhoda ... matematická tvorba operátorů $\hat{P}, \hat{X} \Rightarrow$ složitější konstrukce fyzikálně interpretovatelných pozorovatelných

Pr: 1D harmonický oscilátor $\{|m\rangle\}_{m=0}^{\infty}$, $H = \frac{\hbar \omega}{2}$

$\hat{H} \longleftrightarrow \langle m | \hat{H} | m \rangle = \hbar \omega (m + \frac{1}{2}) \delta_{mm}$

$\hat{a}^+ \longleftrightarrow \langle m | \hat{a}^+ | m \rangle = \sqrt{m+1} \langle m | m+1 \rangle = \sqrt{m+1} \delta_{m, m+1}$

$\hat{a} \longleftrightarrow \langle m | \hat{a} | m \rangle = \sqrt{m} \delta_{m, m-1}$

$(\Rightarrow) \hat{H} = \hbar \omega (\hat{a}^+ \hat{a} + \frac{1}{2}) \longleftrightarrow \langle m | \hat{H} | m \rangle = \hbar \omega \sum_{k=0}^{\infty} \langle m | \hat{a}^+ | k \rangle \langle k | \hat{a} | m \rangle + \langle m | \frac{1}{2} | m \rangle =$

$= \hbar \omega \left(\sum_k \sqrt{m} \delta_{m, k+1} \cdot \sqrt{m} \delta_{k+1, m} + \frac{1}{2} \delta_{mm} \right) = \hbar \omega (m + \frac{1}{2}) \delta_{mm}$

$\hat{X} = \frac{\hat{a}^+ - \hat{a}}{i\sqrt{2}} \longleftrightarrow \langle m | \hat{X} | m \rangle = \frac{1}{i\sqrt{2}} (\sqrt{m} \delta_{m, m+1} - \sqrt{m} \delta_{m+1, m})$

$\hat{P} = \frac{\hat{a}^+ + \hat{a}}{\sqrt{2}} \longleftrightarrow \langle m | \hat{P} | m \rangle = \frac{1}{\sqrt{2}} (\sqrt{m} \delta_{m, m+1} + \sqrt{m} \delta_{m+1, m})$

Pozn: podmínka samosherovnosti pro matici je $\langle m | A | m \rangle = \overline{\langle m | A | m \rangle}$, což $\hat{X}, \hat{P}, \hat{H}$ splňují

časový vývoj bázických vektorů je triviální $|m, (t)\rangle = e^{-\frac{i}{\hbar} E_m (t-t_0)} |m, (t_0)\rangle$

Uj. v energetické repräsentaci je časový vývoj libov. stavu ihned viditelný

$$\langle m, \alpha | \psi(t) \rangle = \sum_{m', \beta} \langle m, \alpha | m', \beta, (t) \rangle \langle m', \beta, (t) | \psi(t) \rangle = e^{-\frac{i}{\hbar} E_m (t-t_0)} \langle m, \alpha | \psi(t_0) \rangle$$

b) jiný popis časového vývoje

Schrödingerova rovnice \Rightarrow s časem se stavý systému mění, operátory přivázané pozorovatelným se nemění, pokud pozorovaná veličina není závislá explicitně na čase

Pro další zobecnění je výhodné zavést evoluční operátor $\hat{U}(t_1, t_0)$:

$$\hat{U}(t_1, t_0) |\psi\rangle = |\psi(t_1)\rangle, \text{ kde } \psi(t) : i\hbar \frac{d}{dt} |\psi(t)\rangle = \hat{H} |\psi(t)\rangle, |\psi(t_0)\rangle = |\psi\rangle$$

Takto lze definovat \hat{U} pro \hat{H} závislé na čase, \hat{U} je unitární (pro dané t_1, t_0)

$$\begin{aligned} \frac{d}{dt_1} \langle \varphi | \hat{U}^\dagger(t_1, t_0) \hat{U}(t_1, t_0) | \psi \rangle &= \frac{d}{dt_1} \langle \varphi(t_1) | \psi(t_1) \rangle = \left(\frac{d}{dt_1} \langle \varphi(t_1) | \right) |\psi(t_1)\rangle + \langle \varphi(t_1) | \frac{d}{dt_1} |\psi(t_1)\rangle = \\ &= -\frac{i}{\hbar} \langle \varphi(t_1) | \hat{H} | \psi(t_1) \rangle + \frac{i}{\hbar} \langle \varphi(t_1) | \hat{H} | \psi(t_1) \rangle = 0, \text{ poč. podm. } \hat{U}(t_0, t_0) = \mathbb{1} \\ &\qquad \qquad \qquad \hat{H}^\dagger \qquad \qquad \qquad \Rightarrow \hat{U}^\dagger(t_1, t_0) \hat{U}(t_1, t_0) = \mathbb{1} \end{aligned}$$

Ze své definice plyne, že $\hat{U}(t_1, t_2) \hat{U}(t_2, t_3) = \hat{U}(t_1, t_3)$, $\hat{U}^{-1}(t_1, t_0) = \hat{U}^\dagger(t_1, t_0) = \hat{U}(t_0, t_1)$

Pokud \hat{H} nezávisí na čase, platí $\hat{U}(t_1 + T, t_0 + T) = \hat{U}(t_1, t_0) \Rightarrow \hat{U}(t_1, t_0) = \hat{U}(t_1 - t_0, 0) \equiv \hat{U}(t)$

a pro $\hat{U}(t)$ lze najít explicitní vyjádření

$$\hat{U}(t) = \exp\left(-\frac{i}{\hbar} \hat{H} t\right)$$

Pozn: exp lze definovat např. pro \hat{H} a ústí bodovým spektrům jako $\exp\left(-\frac{i}{\hbar} \hat{H} t\right) |E, \alpha\rangle = \exp\left(-\frac{i}{\hbar} E t\right) |E, \alpha\rangle$
obecně pomocí spektrálního rozkladu $\hat{A} = \int \lambda dE_\lambda \Rightarrow \exp(i\hat{A}) = \int e^{i\lambda} dE_\lambda$

Ověření: $|\psi(t)\rangle = \hat{U}(t) |\psi\rangle = \exp\left(-\frac{i}{\hbar} \hat{H} t\right) |\psi\rangle \Rightarrow i\hbar \frac{d}{dt} |\psi(t)\rangle = \hat{H} \exp\left(-\frac{i}{\hbar} \hat{H} t\right) |\psi\rangle = \hat{H} |\psi(t)\rangle$

Proces $\hat{U}(t)$ lze přejít k Heisenbergově reprezentaci:

pp, že v čase $t=0$ máme dány stav $|\psi_0\rangle$. Časovým vývojem tohoto stavu v čase t získáme stav $|\psi_S(t)\rangle = \hat{U}(t) |\psi_0\rangle$. Měřitelé jsou ovšem pouze výrazný stav

$$\langle \varphi | \hat{A} | \psi \rangle$$

v němž se stavý nemění $|\psi_H(t)\rangle = |\psi_0\rangle = \hat{U}^\dagger(t) |\psi_S(t)\rangle$, ale vhodným způsobem se mění operátory. Časovou změnu operátorů uvádíme s podmínkou, aby $\langle \varphi | \hat{A} | \psi \rangle$ na vyřbeném popisu nezáviselo.

$$\begin{aligned} \langle \varphi(t) | \hat{A}(t) | \psi(t) \rangle &= \langle \varphi_S(t) | \hat{A}_S | \psi_S(t) \rangle = \langle \varphi_0 | \hat{U}^\dagger \hat{A}_S \hat{U} | \psi_0 \rangle \\ &= \langle \varphi_H^{(0)} | \hat{A}_H(t) | \psi_H^{(0)} \rangle = \langle \varphi_0 | \hat{A}_H(t) | \psi_0 \rangle \end{aligned}$$

$$\Rightarrow \hat{A}_H(t) = \hat{U}^\dagger(t) \hat{A}_S \hat{U}(t) \quad (\text{pokud } \hat{A}_S \text{ nezávisí explicitně na čase, obecně } = \hat{U}^\dagger(t) \hat{A}_S(t) \hat{U}(t))$$

Pro časový vývoj $\hat{A}_H(t)$ lze najít dif. rovnici: $\frac{d}{dt} \hat{A}_H(t) = \left(\frac{d}{dt} U^\dagger(t)\right) \hat{A}_S(t) U(t) + U^\dagger(t) \frac{d}{dt} \hat{A}_S(t) U(t) + U^\dagger(t) \hat{A}_S(t) \dot{U}(t)$
 $\Rightarrow \frac{d}{dt} \hat{A}_H(t) = +\frac{i}{\hbar} \hat{H} \hat{A}_H(t) - \frac{i}{\hbar} \hat{A}_H(t) \hat{H} + U^\dagger(t) \frac{d}{dt} \hat{A}_S(t) U(t) \Rightarrow$ pokud \hat{A}_S není závislé na čase
 $\frac{d}{dt} \hat{A}_H(t) = \frac{1}{i\hbar} [\hat{A}_H(t), \hat{H}]$. Pokud \hat{H} závisí na čase, $U(t) = e^{-\frac{i}{\hbar} \int_{t_0}^t \hat{H}(t') dt'}$, je výsledek složitější.
 Obecně platí $\frac{d}{dt} \hat{A}_H(t) = \frac{1}{i\hbar} [\hat{A}_H(t), \hat{H}(t)]$, ale je obtížné najít $\hat{H}(t)$ (pokud $\hat{H}_S(t)$ je závislé na čase).

Tato rovnice je přímo obdobou časového vývoje pozorovatelné a v klasické mechanice $\dot{a} = \{a, H\}$,
 pokud chápeme $\frac{1}{i\hbar} [,]$ jako kvantový analog klasické Poissonovy závorky $\{ , \}$
 $\ddot{r} = \hat{H}_H(t) = ?$

Výhody Heisenbergovy reprezentace: a) přímá analogie s klasickou mechanikou
 b) někdy výhodné pro popis rozptylu, např. v kvantové teorii pole
 Nevýhody: ————— : obvykle složitější řešení rovnice časového vývoje než v Schrödingerově repr.

ozn: původní Heisenbergova verze maticové mechaniky \equiv QM v energetické Heisenbergově reprezentaci

Diracova reprezentace ... "mís" Schröd. a Heisenberg. reprezentace, vhodná pro některé časové závislé
 pomuchové výpočty

$\hat{H} = \hat{H}_0 + \hat{V}(t)$, $\hat{U}_0(t) = \exp(-\frac{i}{\hbar} \hat{H}_0 t)$ $\hat{A}_D = \hat{U}_0^\dagger(t) \hat{A}_S \hat{U}_0(t)$, nadále budeme pod operátory
 bez indexu chápat op. ve Schröd. repr.

$|\psi_D(t)\rangle = \hat{U}_0^\dagger(t) |\psi_S(t)\rangle = \hat{U}_0^\dagger(t) \hat{U}(t, t_0) |\psi_0\rangle$
 $i\hbar \frac{d}{dt} |\psi_D(t)\rangle = i\hbar \hat{U}_0^\dagger(t) \left(\frac{i}{\hbar} \hat{H}_0 - \frac{i}{\hbar} \hat{H} \right) \hat{U}(t, t_0) |\psi_0\rangle = \hat{U}_0^\dagger(t) (-\hat{H}_0 + \hat{H}_0 + \hat{V}(t)) \hat{U}_0(t) \hat{U}_0^\dagger(t) |\psi_S(t)\rangle$

$\Rightarrow \boxed{i\hbar \frac{d}{dt} |\psi_D(t)\rangle = \hat{V}_D(t) |\psi_D(t)\rangle, \hat{V}_D(t) = \exp(\frac{i}{\hbar} \hat{H}_0 t) \hat{V}(t) \exp(-\frac{i}{\hbar} \hat{H}_0 t)}$

Tato reprezentace je výhodná, pokud umíme najít evoluční operátor přísl. \hat{H}_0 (např. harmonický oscilátor nebo volná částice) a dále pomuchovým výpočtem zjistit, jaký je časový vývoj v případě započtení časově závislého potenciálu $\hat{V}(t)$. Konkrétní příklad ukážeme podíjí.

Matice hustoty

Ve fyzice se setkáváme se situacemi, kdy nelze získat experimentálně úplnou informaci o stavu systému v daný okamžik (např. s divnou příliš velkou počtu částic, nedostatečné kvality aparatury či s nemožností dostatečně rychle zpracovat získaná data). V takovém případě upříváme statistický popis. Ten lze interpretovat tak, že ve fázovém prostoru přiřadíme každému bodu pravděpodobnost (resp. její hustota), že se systém v daný časový okamžik nalhá v daném stavu ρ .

Z normalizace dostáváme $\int d^N p d^N x \rho = 1$ (celková pravděp. nalezení systému někde je 1)

V analogii s hydrodynamikou lze odvodit lokální verzi zachování pravděpodobnosti tj. rovnici kontinuity

$$\frac{\partial \rho}{\partial t} = - \sum_k \left(\frac{\partial}{\partial x_k} \left(\rho \frac{dx_k}{dt} \right) + \frac{\partial}{\partial p_k} \left(\rho \frac{dp_k}{dt} \right) \right) = - \sum_k \left(\frac{\partial \rho}{\partial x_k} \frac{dx_k}{dt} + \frac{\partial \rho}{\partial p_k} \frac{dp_k}{dt} \right) - \sum_k \rho \left(\frac{\partial}{\partial x_k} \frac{dx_k}{dt} + \frac{\partial}{\partial p_k} \frac{dp_k}{dt} \right)$$

a použitím Hamiltonových rovnic $\frac{dx_k}{dt} = \frac{\partial H}{\partial p_k}$, $\frac{dp_k}{dt} = -\frac{\partial H}{\partial x_k}$ dostáváme

$$\frac{\partial \rho}{\partial t} = - \sum_k \frac{\partial \rho}{\partial x_k} \frac{\partial H}{\partial p_k} - \frac{\partial \rho}{\partial p_k} \frac{\partial H}{\partial x_k} = - \{ \rho, H \}$$

tj.

$$\boxed{\frac{\partial \rho}{\partial t} = \{ H, \rho \}}$$

Pozn: opacně znaménko má v časovém vývoji pozorovatelná

střední hodnota pozorovatelné a při měření na systému popsaném hustotou pravděpodobnosti ρ

$$\langle a \rangle = \int d^N p d^N x a(p, x) \rho(p, x)$$

Pro obdobné účely chceme najít QM analog hustoty pravděp. ρ

nejprve přepišme výraz pro střední hodnotu $\langle \psi | \hat{A} | \psi \rangle = \text{Tr}(\hat{A} |\psi\rangle \langle \psi|)$

$$\boxed{\text{Tr} = \text{Sp} = \text{stopa}} \quad \forall |\psi_i\rangle_{i=1}^{\dim \mathcal{H}} \text{ ON báze } \mathcal{H} : \text{Tr}(\hat{B}) = \sum_{i=1}^{\dim \mathcal{H}} \langle \psi_i | \hat{B} | \psi_i \rangle, \text{ nezávisle na volbě báze}$$

$|\psi\rangle \langle \psi|$ je projektor na stav $|\psi\rangle$

Udohdne, že v QM bude $\int d^N p d^N x$ nahrazen Tr , pozorovatelná přísl. operátorem a a ρ

operátorem, který bude vázaným součtem projektorů, tj. jedliže s pravděpodobností P_m

máme systém ve stavu $|\psi_m\rangle$, bude příslušný projektor \hat{P}_m , kv. operátore matice hustoty (J. von Neumann)

$$\boxed{\hat{\rho} = \sum_m P_m |\psi_m\rangle \langle \psi_m|}$$

Pozn: $\dim \mathcal{H} = m$, $\langle \psi_m | \psi_m \rangle = \delta_{mm}$
 rozhodl $\hat{\rho}$ do $\mathbb{Z} \times 1$ není mien jednoznačné, lze vybrat i jiné báze $|\psi_k\rangle$

$$\text{Celková pravděp.} = 1 \Leftrightarrow \sum_m P_m = 1 \Leftrightarrow \sum_{m,n} \langle \psi_m | P_m | \psi_m \rangle \langle \psi_n | \psi_n \rangle = \text{Tr} \hat{\rho} = 1$$

Učtovú hodnotu lístov pozorovateľa A : $\langle A \rangle = \sum_m P_m \langle \psi_m | \hat{A} | \psi_m \rangle = \text{Tr} \left(\sum_m \hat{A} P_m | \psi_m \rangle \langle \psi_m | \right)$
 $= \text{Tr} (\hat{A} \hat{\rho})$ Pozn: $\text{Tr}(\hat{A}\hat{B}) = \text{Tr}(\hat{B}\hat{A})$ d.k.D.U.

Pozn: vlastné čísla $\hat{\rho}$: $\hat{\rho} | \psi \rangle = \rho | \psi \rangle \Rightarrow \sum_m P_m | \psi_m \rangle \langle \psi_m | \psi \rangle = \rho | \psi \rangle, \langle \psi | \cdot \Rightarrow \sum_m P_m | \langle \psi_m | \psi \rangle|^2 = \rho \langle \psi | \psi \rangle \Rightarrow \rho \geq 0$

Bežná definícia: Matice hustoty ... $\hat{\rho}$ množobýňový operátor na \mathcal{H} , pozitívny ($\langle \psi | \hat{\rho} | \psi \rangle \geq 0, \forall | \psi \rangle \in \mathcal{H}$),
 s jednotkovou stopou $\text{Tr} \hat{\rho} = \sum_m \langle \psi_m | \hat{\rho} | \psi_m \rangle = 1$, \forall ON báze $\{ | \psi_m \rangle \}$

Čistý výraz $\hat{\rho}$: prípad má tvar $\hat{\rho} = \sum_m P_m | \psi_m \rangle \langle \psi_m |$, P_m netriviálna na čase (op. je stacionárny) môže stať je daná vlastnosť
 stacionárne zmeny s časom) \Rightarrow i.t. $\frac{d\hat{\rho}}{dt} = \sum_m P_m \hat{H} | \psi_m \rangle \langle \psi_m | - \sum_m P_m | \psi_m \rangle \langle \psi_m | \hat{H} = [\hat{H}, \hat{\rho}]$... ďalšie klas. rovnice

Obecné postulujeme

$$\text{i.t. } \frac{d}{dt} \hat{\rho} = [\hat{H}, \hat{\rho}]$$

Pozn: stacionárny matice hustoty $\Leftrightarrow [\hat{H}, \hat{\rho}] = 0$
 $\hat{\rho}$ je integrál pohybu

Učtovú hodnotu pozorovateľa \hat{A} v stave popísaném $\hat{\rho}$

$$\langle \hat{A} \rangle_{\rho} = \text{Tr}(\hat{\rho} \hat{A}) = \text{Tr}(\hat{A} \hat{\rho})$$

Terminologie: čisté stavy ... popísané stacionárnou funkciou neboli projektorom na 1-norový podpriestor
smiešané stavy ... popísané matice hustoty, ktoré nie sú

Independenciu numerických vlastných hodnôt a pozorovateľ \hat{A} na stave popísaném matice hustoty $\hat{\rho}$

pp $| a, k \rangle$ ON báze vlastného podpriestoru $\hat{A} | a, k \rangle = a | a, k \rangle$

$$\Rightarrow W_{\hat{A}=a, S} = \sum_{m, k} P_m | \langle \psi_m | a, k \rangle |^2 = \sum_{m, k} P_m \langle \psi_m | a, k \rangle \langle a, k | \psi_m \rangle = \sum_{m, k} P_m \langle \psi_m | a, k \rangle \langle a, k | \psi_m \rangle \langle j | \psi_m \rangle \langle \psi_m | j \rangle$$

$\hat{\rho} \{ | j \rangle \}$ ON báze \mathcal{H}

$$= \sum_j | \langle j | \left(\sum_m P_m | \psi_m \rangle \langle \psi_m | \right) \left(\sum_k | a, k \rangle \langle a, k | \right) | j \rangle | = \text{Tr}(\hat{\rho} \hat{P}_{\hat{A}=a})$$

$\hat{P}_{\hat{A}=a}$ projektor na vlastný podpriestor $A=a$

obecné def $W_{\hat{A}=a, S} = \text{Tr}(\hat{\rho} \hat{P}_{\hat{A}=a})$

Príklad: praxovné opakovanie merení A na čistom stave $| \psi \rangle$, dostaneme (pre počet merení $\rightarrow \infty$) smiešaný stav

$$\hat{\rho} = \sum_{a, k} | a, k \rangle | \langle a, k | \psi \rangle |^2 \langle a, k | = \sum_{a, k} | a, k \rangle \langle a, k | \psi \rangle \langle \psi | a, k \rangle \langle a, k | = \sum_a \hat{P}_{\hat{A}=a} | \psi \rangle \langle \psi | \hat{P}_{\hat{A}=a}$$

Prírodným zobecněním vzhľadom na smiešané stavy po provedení merení pozorovateľ A

$$\hat{\rho} \rightarrow \sum_a \hat{P}_a \hat{\rho} \hat{P}_a$$

(plati pouze prípad praxovné ľahké merení a systémový vývoj izolácia rozptýlením poľte výsledkami)

2 hlačovný systém ... na viacerých

Gibbova rozdelení $g = c e^{-\frac{H(p,q)}{kT}} \rightarrow \hat{\rho} = c e^{-\frac{\hat{H}}{kT}}$ príklad existuje (Pr: 1D harm. oscilátor na viacerých) (a má ľahčiny Tr)

príklad $T \rightarrow \infty \Rightarrow W_{\hat{A}=a, S} \approx W_{\hat{A}=b, S}$ príklad rank $\hat{P}_{\hat{A}=a} = \text{rank} \hat{P}_{\hat{A}=b}$... všetky distribúcie stavy stávajú pravdepodobne pri vysokých teplotách

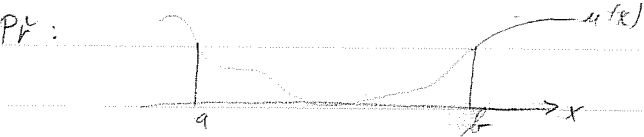
hledáme aproximaci do 2. řádu v ξ $g(x) = g_0(x) - \xi g_1(x) + \xi^2 g_2(x)$, dostáváme
 $\frac{dg_0}{dx} = -2g_0 g_1 \Rightarrow g_1 = -\frac{1}{2} \frac{d}{dx} \ln |g_0(x)| = -\frac{1}{2} \frac{d}{dx} \ln |p(x)|$ g_1 - 1. kvantová hodnota
 $\frac{dg_1}{dx} = -2g_0 g_2 - g_1^2 \Rightarrow g_2 = \frac{-\frac{dg_1}{dx} - g_1^2}{2g_0} = \dots$ g_2 - 2. " "

aby odhad byl použitelný, musí být $|g_0| \gg \xi |g_1| \dots$ není splněno pro $x_k: p(x_k) = 0 \dots E = u(x_k)$.
 body obrátu v klasické mechanice - hlavoč body bude nutné řešit jinak

$g(x) = g_0 - \xi g_1 \Rightarrow \psi(x) = \exp\left(\frac{i}{\hbar} \int_0^x g_0(\bar{x}) d\bar{x}\right) \exp\left(\int_0^x g_1(\bar{x}) d\bar{x}\right)$
 $\exp\left(\pm \frac{1}{2} (\ln |p(x)|) \Big|_a^x\right) = \frac{A}{\sqrt{|p(x)|}}$ $A = \sqrt{\frac{\hbar}{m\omega}}$
 $\Rightarrow \psi^\pm(x) = \frac{1}{\sqrt{|p(x)|}} e^{\pm \frac{i}{\hbar} \int_a^x p(x) dx}$

Propojíme přes body obrátu - odvození se provádí analýzou původ. dif. rovnice v komplexní obrově,

tj. "dejich" x_k komplexní rovinou
 výsledek: $\psi(x) = \frac{1}{|n(x)|^{1/4}} e^{-\int_x^{x_k} \sqrt{-n(\bar{x})} d\bar{x}}$ \longleftrightarrow $\frac{2}{|n(x)|^{1/4}} \cos\left(\int_{x_k}^x \sqrt{n(\bar{x})} d\bar{x} - \frac{\pi}{4}\right)$
 $\psi(x) = \frac{\sin(\phi + \frac{\pi}{4})}{|n(x)|^{1/4}} e^{+\int_x^{x_k} \sqrt{-n(\bar{x})} d\bar{x}}$ \longleftrightarrow $\frac{1}{|n(x)|^{1/4}} \cos\left(\int_{x_k}^x \sqrt{n(\bar{x})} d\bar{x} + \phi\right), \phi \neq -\frac{\pi}{4}$



$n(x) = \frac{2m}{\hbar^2} (E - u(x))$
 > 0 $a < x < b$
 < 0 $x > b \vee x < a$

v něm kvadr. integrální $\Rightarrow v \pm \infty$ ubývající exp., a propojovací formule pak vyplývá, že v (a, b)

$\psi(x) = \frac{A}{|E-u|^{1/4}} \cos\left(\int_a^x \sqrt{\frac{2m}{\hbar^2} (E-u)} d\bar{x} - \frac{\pi}{4}\right)$ \wedge $\psi(x) = -\frac{B}{|E-u|^{1/4}} \cos\left(\int_x^b \sqrt{\frac{2m}{\hbar^2} (E-u)} d\bar{x} - \frac{\pi}{4}\right)$

\Rightarrow protože tyto funkce musí být rovné $\forall x \in (a, b) \Rightarrow \cos\left(\int_a^x \sqrt{\frac{2m}{\hbar^2} (E-u)} d\bar{x} - \frac{\pi}{4}\right) = \pm \cos\left(\int_x^b \sqrt{\frac{2m}{\hbar^2} (E-u)} d\bar{x} - \frac{\pi}{4}\right)$

(vzájemně cos nezávislé $\Rightarrow A, B$ mají stejnou kompl. fázi, a rovnost množných hodnot $|A|=|B| \Rightarrow A = \pm B$)

dále stanovíme $\cos(\dots) + \cos(\dots) = 0$, použijeme paramétr. bve analogicky $\cos A + \cos B = 2 \cos \frac{A+B}{2} \cos \frac{A-B}{2}$

$\Rightarrow 2 \cos \frac{1}{2} \left(\int_a^b \sqrt{\frac{2m}{\hbar^2} (E-u)} dx - \frac{2\pi}{4}\right) \cos \frac{1}{2} \left(\int_a^b \sqrt{\frac{2m}{\hbar^2} (E-u)} dx\right) = 0$

$\Rightarrow \int_a^b \sqrt{\frac{2m}{\hbar^2} |E-u(x)|} dx = 2\left(\frac{m}{2} \pi\right) + \frac{1}{2} \pi = (m + \frac{1}{2}) \pi$, m liché
 není konst. v x \Rightarrow nulový musí být první člen

obdobně pro $\cos(\dots) - \cos(\dots) = 0 \Rightarrow 2 \sin(\dots) \sin(\dots) = 0 \Rightarrow \int_a^b \sqrt{\frac{2m}{\hbar^2} |E-u(x)|} dx = (m + \frac{1}{2}) \pi$, m sudé

$\Rightarrow \int_a^b \sqrt{2m(E-u(x))} dx = (m + \frac{1}{2}) \pi \hbar$, $m \in \mathbb{N} \cup \{0\}$ připomíná Bohr-Sommerfeldova kvantovací podmínka $\int p dq = (m + \frac{1}{2}) \pi \hbar$

Použítí JWKB metody pro studium rozptylu:



Hledáme řešení škr Schröd. rovnice s vhodnou asymptotikou

pro $x > b$ volíme $\psi(x) = \frac{C}{\sqrt{|p(x)|}} e^{\frac{i}{\hbar} \int_b^x p(\tilde{x}) d\tilde{x}}$ ~ proudící vlna

pomocí propojovacího vzorce pak nalezneme řešení v intervalu (a, b) (na $(V,)$)

a pak v intervalu $(-\infty, a)$

$$x < a \quad \psi(x) = \frac{C}{A \sqrt{|p(x)|}} \cdot \left(\underbrace{\left(-1 + \frac{A^2}{4}\right) e^{\frac{i}{\hbar} \int_x^a p(\tilde{x}) d\tilde{x}}}_{\sim \text{odrážející vlna}} + \underbrace{\left(1 + \frac{A^2}{4}\right) e^{-\frac{i}{\hbar} \int_x^a p(\tilde{x}) d\tilde{x}}}_{\sim \text{dopadající vlna}} - \frac{i\hbar}{2} \right)$$

(pro x v blízkosti a je $\int_x^a \sim -px$)

kde $A = e^{-\frac{1}{\hbar} \int_a^b |p(x)| dx}$

\Rightarrow koeficient průchodu $T = \left(\frac{4A}{4 + A^2} \right)^2$

JWKB používáme pro široké a vysoké bariéry (aby byly stratené a jejich složky nebyly příliš velkou rolí)

$\Rightarrow A \ll 1 \quad \Rightarrow T \approx A^2$

$\Rightarrow T = \exp\left(-\frac{2}{\hbar} \int_a^b \sqrt{2m(E - u(x))} dx\right)$

Variční metoda

- zjistit hodnotu energie základního stavu a nejnižších excitovaných stavů
- často vede ke lepšímu výsledkům než perturb. výpočet, lze použít i pokud nemáme vhodné rozdělení \hat{H} na \hat{H}_0 a \hat{V}

vycházíme na $E_0 \leq \frac{\langle \psi | \hat{H} | \psi \rangle}{\langle \psi | \psi \rangle} \quad \forall |\psi\rangle \neq 0$ E_0 ... energie základního stavu

Důl: obecně vez FA, pro operátor s čisté bodovými vlničkami $E_m |\psi_m\rangle = \hat{H} |\psi_m\rangle$

$$|\psi\rangle = \sum_m |\psi_m\rangle \langle \psi_m | \psi \rangle \Rightarrow \langle \psi | \hat{H} | \psi \rangle = \sum_{m,n} \langle \psi | \psi_m \rangle \langle \psi_m | E_m | \psi_n \rangle \langle \psi_n | \psi \rangle = \sum_m E_m |\langle \psi | \psi_m \rangle|^2$$

$E_m \geq E_0 \Rightarrow \langle \psi | \hat{H} | \psi \rangle \geq \sum_m E_0 |\langle \psi | \psi_m \rangle|^2 = E_0 \sum_m |\langle \psi | \psi_m \rangle|^2 = E_0 \langle \psi | \psi \rangle$ Q.E.D.

výbereme třídu vektorů $|\psi(\alpha_1, \beta_1, \dots)\rangle \in \mathcal{R}$ a provádíme minimalizaci

$\inf_{\alpha_1, \beta_1, \dots} \frac{\langle \psi(\alpha_1, \beta_1, \dots) | \hat{H} | \psi(\alpha_1, \beta_1, \dots) \rangle}{\langle \psi(\alpha_1, \beta_1, \dots) | \psi(\alpha_1, \beta_1, \dots) \rangle} = E_{min}$ (výpočet: $\frac{\partial}{\partial \alpha_i, \beta_i} (-) = 0$)

$\Rightarrow E_{min} \geq E_0$ E_{min} považujeme za energii základ. stavu v určované aproximaci

odpovídající vektor $|\psi(\alpha_1, \beta_1, \dots)\rangle$ na aproximaci odpov. základního vektoru $|\psi_0\rangle$

chceme-li určit energii 1. excitovaného stavu, řešíme stejnou variační úlohu a nastou $\langle \psi(\alpha, \beta, \dots) | \psi(\alpha_0, \beta_0, \dots) \rangle = 0$
 obdobně postupujeme při hledání vyšších hladin.

zn: často vybíráme $|\psi(\alpha_1, \dots, \alpha_N)\rangle = \alpha_1 |\varphi_1\rangle + \alpha_2 |\varphi_2\rangle + \dots + \alpha_N |\varphi_N\rangle$, $[\langle \varphi_1 |, \dots, \langle \varphi_N |]_{\lambda} = \tilde{\mathcal{H}}$
 \Rightarrow výše popsaným postupem hledáme vlastní čísla operátoru $\hat{P}_{\tilde{\mathcal{H}}} \hat{H} \hat{P}_{\tilde{\mathcal{H}}}$, kde $\hat{P}_{\tilde{\mathcal{H}}}$ je
 projektor na $\tilde{\mathcal{H}}$

Označíme-li vlastní čísla $\hat{P}_{\tilde{\mathcal{H}}} \hat{H} \hat{P}_{\tilde{\mathcal{H}}}$ $e_0 \leq e_1 \leq \dots \leq e_{N-1} \Rightarrow \inf \frac{\langle \hat{H} | \rangle}{\langle 1 | } = e_0$, $e_0 \geq E_0$
 lze odvodit obecnější výsledky $\forall k < N: e_k \geq E_k$ (každá energie spočítaná podle počtu násobků)
 \Rightarrow prvních N energ. hladin lze odhadnout jako řešení rovnice
 $\det(\langle \varphi_i | \hat{H} | \varphi_j \rangle - \lambda \langle \varphi_i | \varphi_j \rangle) = 0$

zn: odhad chyby variačních výpočtů je v praxi obtížný
 dokonce energie kvázi odhadnutky lépe než skutečné hodnoty

heliový atom

$$\varphi(\vec{x}_1, \vec{x}_2, \alpha) = \frac{\alpha^3}{\pi} \exp(-\alpha(r_1 + r_2)) \quad (\alpha = \frac{Z}{a} \Rightarrow \text{rovená pro maximální } \frac{\tilde{e}^2}{\hbar^2})$$

A poruchové výpočty v ZS rovnou nastavíme námi $\frac{Z}{a} \rightarrow \alpha$

$$\langle \varphi(\alpha) | \hat{H} | \varphi(\alpha) \rangle = \frac{5}{8} \tilde{e}^2 \alpha$$

$$\hat{H}_0 = \hat{T} + \hat{V}(Z) = \hat{T} + \frac{Z}{a\alpha} \hat{V}(\alpha a) \Rightarrow \hat{T} + \hat{V}(\alpha a) | \varphi(\alpha) \rangle = -\tilde{e}^2 \alpha^2 a | \varphi(\alpha) \rangle$$

kin. energie Coulomb. potenciál

\wedge platí viriálový theorem $2 \langle \varphi(\alpha) | \hat{T} | \varphi(\alpha) \rangle = - \langle \varphi(\alpha) | \hat{V}(\alpha a) | \varphi(\alpha) \rangle$

$$\Rightarrow \langle \varphi(\alpha) | \hat{T} | \varphi(\alpha) \rangle = \tilde{e}^2 \alpha a, \quad \langle \varphi(\alpha) | \hat{V}(\alpha a) | \varphi(\alpha) \rangle = -2\tilde{e}^2 \alpha^2 a$$

$$\Rightarrow \langle \varphi(\alpha) | \hat{H}_0 | \varphi(\alpha) \rangle = \tilde{e}^2 \alpha^2 a \left(1 - \frac{2Z}{\alpha a}\right)$$

\Rightarrow

$$E(\alpha) = \tilde{e}^2 \alpha \left[\alpha a - 2Z + \frac{5}{8} \right], \quad \frac{\partial}{\partial \alpha} E(\alpha) = 0 \Rightarrow \alpha_0 = \frac{Z - \frac{5}{16}}{a} \Rightarrow E(\alpha_0) = -\frac{\tilde{e}^2}{a} \left(Z - \frac{5}{12} \right)$$

\rightarrow pro helium

$$\boxed{E(\alpha_0) = -77,5 \text{ eV}}$$

lepší shoda s experimentem než pro poruchový výpočet

zn: Viriálový theorem $\hat{H} = \frac{\vec{p}^2}{2m} + V(\vec{x})$, $\hat{T} = \frac{\vec{p}^2}{2m} \Rightarrow \boxed{2 \langle \hat{T} \rangle_{\psi} = \langle \vec{x} \cdot \text{grad } V \rangle_{\psi}}$, \forall stacionární ψ

Dk: ve stacionárním stavu se s úsměrem mění jen fáze, ve střední hodnotě se vyruší \rightarrow \forall parametrizovanému ψ možno na čas

$$\frac{d}{dt} \langle \hat{A} \rangle_{\psi} = 0 \Rightarrow 0 = \frac{d}{dt} \langle \vec{x} \cdot \vec{p} \rangle_{\psi} = \frac{i}{\hbar} \langle [\hat{H}, \vec{x} \cdot \vec{p}] \rangle_{\psi} = \frac{i}{\hbar} \langle \vec{x} \cdot [\hat{H}, \vec{p}] + [\hat{H}, \vec{x}] \cdot \vec{p} \rangle_{\psi}$$

$$= - \langle \vec{x} \cdot \text{grad } V \rangle_{\psi} + 2 \langle \frac{\vec{p}^2}{2m} \rangle_{\psi} \Rightarrow 2 \langle \hat{T} \rangle_{\psi} = \langle \vec{x} \cdot \text{grad } V \rangle_{\psi} \quad \text{QED}$$

```
[ > restart;
[ > assume(M>0); assume(E, real); assume(omega>0);
```

Castice v nekonecne hluboke potencialove jame v WKB aproximaci

```
[ > int(sqrt(2*M*E), x=-a..a) = (n+1/2)*Pi*h;
```

$$2\sqrt{2}\sqrt{ME}a = \left(n + \frac{1}{2}\right)\pi h$$

```
[ > E=solve(%, E);
```

$$E = \frac{1}{32} \frac{\pi^2 h^2 (4n^2 + 4n + 1)}{Ma^2}$$

[zatimco spravny vysledek je

```
[ > E = 1/8*Pi^2*h^2*(n^2)/(M*a^2);
```

$$E = \frac{1}{8} \frac{\pi^2 h^2 n^2}{Ma^2}$$

Harmonicky oscilator v WKB aproximaci

```
[ > solve(E=1/2*M*omega^2*a^2, a);
```

$$\frac{\sqrt{2}\sqrt{ME}}{M\omega}, -\frac{\sqrt{2}\sqrt{ME}}{M\omega}$$

```
[ > a:=sqrt(2)*sqrt(M*E)/(M*omega);
```

$$a := \frac{\sqrt{2}\sqrt{ME}}{M\omega}$$

```
[ > simplify(int(sqrt(2*M*(E-1/2*M*omega^2*x^2)), x=-a..a)) = (n+1/2)*Pi*h;
```

$$\frac{E\pi}{\omega} = \left(n + \frac{1}{2}\right)\pi h$$

```
[ > E=solve(%, E);
```

$$E = h\omega n + \frac{1}{2}h\omega$$

[to vychazi spravne

Koeficient pruchodu obdelnikovou jamou (V>E)

```
[ > T=simplify(exp(-2/h*int(sqrt(2*M*(V-E)), x=-a..a)));
```

$$T = e^{-4 \frac{\sqrt{2}\sqrt{M}\sqrt{-E+V}a}{h}}$$

[souhlasi se vztahem $T = \exp(-4\kappa a)$, kde $\kappa = \sqrt{2M(V-E)}/h$, který je limitou v ZS odvozeného výrazu pro $\kappa a \gg 1$

```
[ >
```

Neustacionární perturbativní teorie

pp. $\hat{H} = \hat{H}_0 + \epsilon \hat{V}(t)$ pp. \hat{H}_0 na časě nemění

obvyklá úloha: v nějakém počátečním čase t_0 je systém ve stavu $|\psi_0\rangle$ (často $\hat{H}_0|\psi_0\rangle = E^0|\psi_0\rangle$)

v nějakém náhodném čase bude měřen v čase $t_1 > t_0$

pp. se umíme vyřešit časový vývoj v případě $\epsilon = 0 \Rightarrow$ evoluční operátor $\hat{U}_0(t-t_0)$ a nyní hledáme vztah rozvoje v ϵ

úlohu budeme řešit v Diracově reprezentaci i.e. $\frac{d}{dt}|\psi_D(t)\rangle = \epsilon \hat{V}_D(t)|\psi_D(t)\rangle$, $\hat{V}_D(t) = e^{\frac{i}{\hbar}H_0(t-t_0)} \hat{V}(t) e^{-\frac{i}{\hbar}H_0(t-t_0)}$

uvědomíme evoluční operátor v Diracově reprezentaci

$\hat{U}_D(t, t_0) : |\psi_D(t)\rangle = \hat{U}_D(t, t_0)|\psi_D(t_0)\rangle = \hat{U}_D(t, t_0)|\psi_0\rangle \Rightarrow$ i.e. $\frac{d}{dt}\hat{U}_D(t, t_0) = \epsilon \hat{V}_D(t) \hat{U}_D(t, t_0)$

přímou z definice je vidět, že $\epsilon = 0 \Rightarrow \hat{U}_D(t, t_0) = \mathbb{1} \Rightarrow$ pp. tvar $\hat{U}_D(t, t_0)$ jako powerový rozvoj

$\hat{U}_D(t, t_0) = \mathbb{1} + \epsilon \hat{U}_D^{(1)}(t, t_0) + \epsilon^2 \hat{U}_D^{(2)}(t, t_0) + \dots$

\Rightarrow dorazením do i.e. $\frac{d}{dt}\hat{U}_D(t, t_0) = \epsilon \hat{V}_D(t) \hat{U}_D(t, t_0)$ dostáváme

i.e. $\frac{d}{dt}\hat{U}_D^{(1)}(t, t_0) = \hat{V}_D(t)$
 i.e. $\frac{d}{dt}\hat{U}_D^{(k)}(t, t_0) = \hat{V}_D(t) \hat{U}_D^{(k-1)}(t, t_0), k > 1$

$\Rightarrow \hat{U}_D^{(1)}(t, t_0) = -\frac{i}{\hbar} \int_{t_0}^t \hat{V}_D(\tilde{t}) d\tilde{t}, \hat{U}_D^{(2)}(t, t_0) = -\frac{i}{\hbar^2} \int_{t_0}^t \hat{V}_D(\tilde{t}) d\tilde{t} \int_{t_0}^{\tilde{t}} \hat{V}_D(\tilde{\tilde{t}}) d\tilde{\tilde{t}}, \dots$

obvykle hledáme pravděpodobnost nalezení systému v nějakém stavu $|\psi_1\rangle$ (obvykle $\hat{H}_0|\psi_1\rangle = E^1|\psi_1\rangle$)

\Rightarrow v nejkratším příkladě (pp. $\epsilon = 1$)

$|\langle \psi_1 | \psi(t) \rangle|^2 = |\langle \psi_1 | e^{-\frac{i}{\hbar}H_0(t-t_0)} |\psi_0\rangle|^2 = |\langle \psi_1 | e^{-\frac{i}{\hbar}H_0(t-t_0)} \hat{U}_D(t, t_0) |\psi_0\rangle|^2$
 (do jiné formy)
 $= |\langle \psi_1 | \hat{U}_D(t, t_0) |\psi_0\rangle|^2$

Pozn: v této aproximaci
 $|\langle \psi_1 | \hat{U}_D |\psi_0\rangle| = |\langle \psi_0 | \hat{U}_D^\dagger |\psi_1\rangle|$
 přechody děláme jen v jednom směru
 pravděpodobně

\Rightarrow a) $\langle \psi_1 | \psi_0 \rangle = 0 : |\langle \psi_1 | \psi(t) \rangle|^2 \approx \frac{1}{\hbar^2} \left| \int_{t_0}^{t_1} \langle \psi_1 | \hat{V}_D(t) |\psi_0\rangle dt \right|^2$

b) $|\psi_1\rangle = |\psi_0\rangle : |\langle \psi_0 | \psi(t) \rangle|^2 \approx \left| 1 - \frac{i}{\hbar} \int_{t_0}^{t_1} \langle \psi_0 | \hat{V}_D(t) |\psi_0\rangle dt \right|^2$
 $= 1 + O(\epsilon^2)$, pokud chceme $O(\epsilon^2)$ hodnota, musíme jít i do 2. řádu a rovnat $O(\epsilon^3)$

Pokud je $|\langle \psi_1 | \psi(t) \rangle|^2$ malá ve srovnání s ostatními příklady, je pro výpočet některých jevů třeba raknout i 2. řád perturb. teorie. Op. je $|\psi_0\rangle, |\psi_1\rangle$ doplníme na ON bázi $\{|\psi_k\rangle\}$ $\hat{H}_0|\psi_k\rangle = E^{(k)}|\psi_k\rangle \Rightarrow$

$|\langle \psi_1 | \psi(t) \rangle|^2 \approx \frac{1}{\hbar^2} \left| \int_{t_0}^{t_1} \langle \psi_1 | \hat{V}_D(t) |\psi_0\rangle dt - \frac{i}{\hbar} \int_{t_0}^{t_1} \langle \psi_1 | \hat{V}_D(t) |\psi_k\rangle dt \int_{t_0}^t \langle \psi_k | \hat{V}_D(\tilde{t}) |\psi_0\rangle d\tilde{t} \right|^2$
 první předpoklad $\int_{t_0}^{t_1} \langle \psi_1 | \hat{V}_D(t) |\psi_0\rangle dt$ malá ve srovnání s některými jinými

Pozn: indukce: $\hat{V}_D(t)$ přechody mezi stavy, je nejjednodušší hodnota výpočtu raději bereme do úvahy možnost, že systém přijde do určitého mezistavu a znovu přejde do finálního stavu. Tyto procesy nejsou schopeni

rozdílet, proto řešíme amplitudy pravděpodobnosti a tím pádem může docházet k interferenci.

Pr: interakce vlnění s látkou

pp. vlnění popisáno klasicky pomocí intenzity el. pole (pp. dlouhé vlnové délky dopadajícího vlnění ve provazném a velikosti atomů \rightarrow lze pro el. pole použít klasický popis), samedobně magnet. pole

$$\Rightarrow V = \vec{E} \cdot \vec{D} \quad \vec{D} \text{ elektrický dipólový moment atomu} \quad \sum_j e^{(j)} \vec{x}_j, \text{ j. vlnění částice}$$

\vec{E} ... pp. lineárně polarizovaná EM vlna, vybereme vhodné souřadnice souvňadkou $\Rightarrow V = E(t) \cdot D$

$$\Rightarrow \langle \psi_1 | \hat{V} | \psi_0 \rangle = \langle \psi_1 | \hat{D} | \psi_0 \rangle E(t) \quad \uparrow \text{Dve směry } E(t)$$

$$\langle \psi_1 | \hat{V}_0^{(H)} | \psi_0 \rangle = \langle \psi_1 | \hat{D} | \psi_0 \rangle e^{i(E^1 - E^0)(t - t_0)} \cdot E(t)$$

$$\Rightarrow W_{\psi_0 \rightarrow \psi_1} \approx \frac{1}{\hbar^2} |\langle \psi_1 | \hat{D} | \psi_0 \rangle|^2 \left| \int_{t_0}^{t_1} e^{i \frac{1}{\hbar} (E^1 - E^0)(t - t_0)} E(t) dt \right|^2$$

dopadající vlnu rozložíme do Fourierových složek \Rightarrow energie dopadající na jednotku plochy na jednotku vlnové frekvence kolem ν je dle klasické elektrodynamiky

$$E_\nu = \frac{c}{2\pi} \left| \int_{t_0}^{t_1} e^{2\pi i \nu (t - t_0)} E(t) dt \right|^2$$

$$\Rightarrow W_{\psi_0 \rightarrow \psi_1} = 2\pi \frac{1}{c \hbar^2} |\langle \psi_1 | \hat{D} | \psi_0 \rangle|^2 E_\nu, \quad \nu = \frac{|E^1 - E^0|}{\hbar}$$

\Rightarrow pravděpodobnost míří pouze na energii vlnění o frekvenci blízké $\frac{1}{\hbar}$ rozdíl energií obou stavů \Rightarrow Bohrůva frekvenční podmínka (ve "staré QM")

výsledky lze interpretovat jako pravděpodobnost stimulované absorpce a emise. Vidíme, že v první aproxiaci jsou pravděpodobnosti stimulované emise a absorpce stejné
 V druhé aproxiaci nelze popsat spontánní, nestimulovanou emisi.

čmedené vztahy pro $\hat{U}_D^{(H)}(t, t_0)$ lze též připsat po uvedení explicitního časového uspořádání T :

$$T(\hat{A}(t_1) \hat{B}(t_2)) = \hat{A}(t_1) \hat{B}(t_2), \quad t_1 > t_2 \\ = \hat{B}(t_2) \hat{A}(t_1), \quad t_2 > t_1$$

přepíšeme $\int_{t_0}^t dt_1 \int_{t_0}^{t_1} dt_2 \dots \int_{t_0}^{t_{N-1}} \hat{A}(t_1) \hat{A}(t_2) \dots \hat{A}(t_N) = \frac{1}{N!} \int_{t_0}^t dt_1 \dots \int_{t_0}^t dt_N T(\hat{A}(t_1) \dots \hat{A}(t_N))$

zde ani není nutné $T(\cdot)$, pouze zaměněno pořadí integrace, dále přejmemej $t_1 \leftrightarrow t_2$ v integracích a použijeme $T(\cdot)$

$$\Rightarrow \int_{t_0}^t dt_1 \int_{t_0}^{t_1} dt_2 T(\hat{A}(t_1) \hat{A}(t_2)) = \frac{1}{2} \int_{t_0}^t dt_1 \int_{t_0}^t dt_2 T(\hat{A}(t_1) \hat{A}(t_2))$$

\Rightarrow lze formálně uvést $T \exp \left(\int_{t_0}^t d\tilde{t} \hat{A}(\tilde{t}) \right)$

$$T \exp \left(\int_{t_0}^t d\tilde{t} \hat{A}(\tilde{t}) \right) = \mathbb{1} + \int_{t_0}^t dt_1 \hat{A}(t_1) + \frac{1}{2!} \int_{t_0}^t dt_1 \int_{t_0}^{t_1} dt_2 T(\hat{A}(t_1) \hat{A}(t_2)) + \dots + \frac{1}{n!} \int_{t_0}^t dt_1 \dots dt_n T(\hat{A}(t_1) \dots \hat{A}(t_n))$$

a má $\hat{U}_D(t, t_0) = T \exp \left(-\frac{i}{\hbar} \int_{t_0}^t \hat{V}_D(\tilde{t}) d\tilde{t} \right)$

Pozn: Všimněte si, že obecně $[\hat{V}_D(t_1), \hat{V}_D(t_2)] \neq 0$ pro $t_1 \neq t_2$, proto bylo nutné uvést $T(\dots)$

Formálně lze též dosadit $\hat{H}_0 = 0 \Rightarrow$ máme vzorec pro evoluční operátor

$$\hat{U}(t, t_0) = T \exp \left(-\frac{i}{\hbar} \int_{t_0}^t \hat{H}(\tilde{t}) d\tilde{t} \right)$$

Pokud $\hat{H}(\tilde{t}) = \hat{H}, \forall \tilde{t} \Rightarrow$ lze vyjmout na T a \hat{H} vytknout před $\Rightarrow \hat{U}(t, t_0) = e^{-\frac{i}{\hbar} \hat{H}(t-t_0)}$
na druhé

Pozn: Pokud V nezávisí explicitně na čase $\Rightarrow \langle \psi_1 | \hat{V}_D(t) | \psi_0 \rangle = e^{\frac{i}{\hbar} \epsilon (E_1 - E_0)} \langle \psi_1 | \hat{V} | \psi_0 \rangle$

$$\begin{aligned} \Rightarrow |\langle \psi_1 | \psi(t) \rangle|^2 &\approx \frac{1}{\hbar^2} \left| \int_{t_0}^{t_1} e^{\frac{i}{\hbar} (E_1 - E_0) \epsilon} d\epsilon \langle \psi_1 | \hat{V} | \psi_0 \rangle \right|^2 = \\ &= \frac{1}{\hbar^2} |\langle \psi_1 | \hat{V} | \psi_0 \rangle|^2 \cdot \left| \frac{e^{i(E_1 - E_0)(t_1 - t_0)/\hbar} - 1}{i(E_1 - E_0)/\hbar} \right|^2 \\ &= 2 |\langle \psi_1 | \hat{V} | \psi_0 \rangle|^2 \frac{1 - \cos((E_1 - E_0) \frac{t_1 - t_0}{\hbar})}{(E_1 - E_0)^2} \end{aligned}$$

\Rightarrow pravděpodobnost přechodu do stavu ψ_1 mává v prvním řádu poměrně malé omezení slova konstantou $4 |\langle \psi_1 | \hat{V} | \psi_0 \rangle|^2 \frac{1}{(E_1 - E_0)^2}$

\Rightarrow pravděpodobnost přechodu do stavu s výrazně odlišnou energií je malá

Pr: malá částice v kvantě s normálními axbrc

v čase $t=0$ vyjme elektr. pole ve směru osy x $V = -e E \cdot x$, v čase $t=T$ jej vyjme.

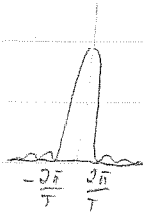
V čase $t < 0$ je systém ve stacionárním stavu

$$\phi_{qrs}(\vec{x}) = \left(\frac{8}{abc} \right)^{1/2} \sin \frac{q\pi x}{a} \sin \frac{n\pi y}{b} \sin \frac{s\pi z}{c}, \quad q, n, s \in \mathbb{Z}_+$$

(číslice normalizaci)

Ujistou pravděpodobností bude systém v čase $t > T$ ve stavu ϕ_{QRS} ?

Řešení: $W_{g_{nA} \rightarrow QRS} = \frac{1}{\hbar^2} \left| \int_0^T dt' (\phi_{QRS} - eE \times \phi_{g_{nA}}) e^{i(E_{QRS} - E_{g_{nA}})t'/\hbar} \right|^2$
 $= \frac{e^2 E^2}{\hbar^2} |I(\omega)|^2 (\phi_{QRS}, \chi \phi_{g_{nA}}), \omega = \frac{E_{QRS} - E_{g_{nA}}}{\hbar}$

kte $I(\omega) = \frac{4}{\omega^2} \sin^2 \frac{1}{2} \omega T \quad (= \frac{4}{\omega^2} (1 - \cos \omega T))$ $I(\omega) \approx$ 

$(\phi_{QRS}, \chi \phi_{g_{nA}}) = \int_{R_A} \int_{S_A} \cdot \int_0^a \left(\frac{2}{a}\right) \chi \sin \frac{Q\pi x}{a} \sin \frac{q\pi x}{a} dx$, součtové ústrojí, per partes
 $= \int_{R_A} \int_{S_A} \cdot \frac{-2a Qq}{\pi^2 (Q^2 - q^2)^2}$ pokud $Q \neq q$ je liché
 $= 0$ $Q = q$ sudé

\Rightarrow systém může dle časově proměnné poruchy přejít do stavu s Q kvantem se o liché číslo nebo místem v převodním stavu (viz O. řád)

Pozn: pokud T je velké, je $I(\omega)$ neodborné pouze v malé oblasti kolem 0
 \Rightarrow energie se prakticky rozmění, pokud T je malé $\Rightarrow I(\omega)$ je dost široké, tj. neodborné pro velký počet možných energií. Jde o mozné chápat jako projevo „principu naručitelnosti energie“: Při měření kvantickým čas T jsme schopni měřit energii s přesností maximálně řádu \hbar/T .
 \Rightarrow naručitelnost v měření hodnoty (hlídové energie) nestabilitních částic
 \Rightarrow možnost kvantového jevu

1.1. malá změna hamiltoniánu: v čase $t < t_0$ systém popsaný m čas nezávislým H_0 a stavu Φ_i
 $t > t_0$ H_0' a stavu Φ_i'

Abnormálně časový vývoj se stavu Φ_i v čase $t_1 < t_0$, v čase $t_2 > t_0$ chceme vědět, s jakou pravděp. naručímne E_j'
 $\Psi(t) = \begin{cases} \Phi_i e^{-i \frac{E_i t}{\hbar}}, & t < t_0 \\ \sum_j b_j e^{-i \frac{E_j (t-t_0)}{\hbar}}, & \text{v čase mluví být } \Psi \text{ spojitá (jako } \frac{\partial}{\partial t} \Psi \sim \delta(t), \text{ která se rovná} \\ & \text{s čím komparovat)} \Rightarrow b_j = (\Phi_j', \Phi_i) e^{-i \frac{E_j t_0}{\hbar}} \end{cases}$

$\Rightarrow W_{E < E_j'} = |b_j|^2 = |(\Phi_j', \Phi_i)|^2$

1.2. částice v ∞ -hluboké potenciálové jámě, malé naručitelné úroveň jámy. S jakou pravděp.

systém, který byl na počátku ve stavu s nejmenší energií, v něm zůstane? $\Phi_0 = \sqrt{\frac{2}{a}} \sin \frac{\pi x}{a}, \Phi_0' = \sqrt{\frac{1}{a}} \sin \frac{\pi x}{2a}, W = \frac{32}{9\pi^2}$

rozpad jadra: ${}^3\text{H} \rightarrow {}^3\text{He} + e^- + \nu$, vlnová a dost energie $\Rightarrow e^-$ odleh, obdrže iont ${}^3\text{He}^+$, s jakou pravděp. zůstane jeho e^- v malé

částici: malé naručitelné vázové jádra $\Rightarrow \Phi_0(\vec{x}) = \frac{1}{\sqrt{\pi}} \frac{1}{\sqrt{a_0}} e^{-\frac{1}{a_0}}$, $\Phi_0'(\vec{x}) = \frac{1}{\sqrt{10}} \frac{1}{\sqrt{(\frac{a_0}{2})^3}} e^{-\frac{2x}{a_0}}$, $W = \frac{512}{729} \approx \frac{3}{4}$

rozpad e^- (j. an $\frac{1}{4}$ př. jadra) naručímne vracejí do mal. stavu $\Rightarrow {}^3\text{H}$ vln

Propagátor, Greenova funkce, dvojný integrál

Propagátor - maticový element evolučního operátoru

$$K(\vec{x}_1, t_1; \vec{x}_0, t_0) \equiv \langle \vec{x}_1, t_1 | \vec{x}_0, t_0 \rangle = \langle \vec{x}_1 | \hat{U}(t_1, t_0) | \vec{x}_0 \rangle$$

\Rightarrow chceme-li najít řešení $\psi(\vec{x}, t)$ Schrödingerovy rovnice s počáteční podmínkou $\psi_0(\vec{x}, t_0)$ při znalosti propagátoru, dostáváme

$$\begin{aligned} \psi(\vec{x}, t) &= \langle \vec{x} | \hat{U}(t, t_0) | \psi_0 \rangle = \int d^3y \langle \vec{x} | \hat{U}(t, t_0) | \vec{y} \rangle \langle \vec{y} | \psi_0 \rangle = \\ &= \int d^3y K(\vec{x}, t; \vec{y}, t_0) \psi_0(\vec{y}, t_0) \end{aligned}$$

Propagátor splňuje též Schröd. rovnici s jistou počáteční podmínkou:

$$\begin{aligned} i\hbar \frac{d}{dt} K(\vec{x}, t; \vec{x}_0, t_0) &= \langle \vec{x} | i\hbar \frac{d}{dt} \hat{U}(t, t_0) | \vec{x}_0 \rangle = \langle \vec{x} | \hat{H} \hat{U}(t, t_0) | \vec{x}_0 \rangle = \\ &= \int d^3y \langle \vec{x} | \hat{H} | \vec{y} \rangle \langle \vec{y} | \hat{U}(t, t_0) | \vec{x}_0 \rangle \end{aligned}$$

$$= \int d^3y \langle \vec{x} | \hat{H} | \vec{y} \rangle K(\vec{y}, t; \vec{x}_0, t_0)$$

$$\text{je-li } \hat{H} = -\frac{\hbar^2}{2m} \Delta + V(\vec{x})$$

$$\Rightarrow \langle \vec{x} | \hat{H} | \vec{y} \rangle = -\frac{\hbar^2}{2m} \Delta (\delta^{(3)}(\vec{x} - \vec{y})) + V(\vec{x}) \delta^{(3)}(\vec{x} - \vec{y})$$

Nj. je počáteční derivace $\delta^{(3)}(\cdot)$ má $K(\cdot; \cdot)$ dostáváme

$$i\hbar \frac{d}{dt} K(\vec{x}, t; \vec{x}_0, t_0) = \int d^3y \delta^{(3)}(\vec{x} - \vec{y}) \left(-\frac{\hbar^2}{2m} \Delta_y K(\vec{y}, t; \vec{x}_0, t_0) \right.$$

$$\left. + \int d^3y V(\vec{x}) \delta^{(3)}(\vec{x} - \vec{y}) K(\vec{y}, t; \vec{x}_0, t_0) \right)$$

\Rightarrow

$$i\hbar \frac{d}{dt} K(\vec{x}, t; \vec{x}_0, t_0) = -\frac{\hbar^2}{2m} \Delta K(\vec{x}, t; \vec{x}_0, t_0) + V(\vec{x}, t) K(\vec{x}, t; \vec{x}_0, t_0)$$

$K(\vec{x}, t; \vec{x}_0, t_0)$ je řešením Schrödingerovy rovnice s počáteční podmínkou

$$K(\vec{x}, t_0; \vec{x}_0, t_0) = \delta^{(3)}(\vec{x} - \vec{x}_0) \quad \forall \vec{x}_0 \in \mathbb{R}^3$$

Často je vhodné uvádět propagátory resp. kvantující kavoraliku, tj. nulové pro $t_0 > t_1$, resp. $t_1 > t_0$

Pozn: $\Theta(t) = 1, \forall t > 0$ $\Theta(t) = 0, \forall t < 0$

Retardovaný propagátor $K^{(+)}(\vec{x}_1, t_1; \vec{x}_0, t_0) = \Theta(t_1 - t_0) K(\vec{x}_1, t_1; \vec{x}_0, t_0)$

Advancovaný " — " $K^{(-)}(\vec{x}_1, t_1; \vec{x}_0, t_0) = \Theta(t_0 - t_1) K(\vec{x}_1, t_1; \vec{x}_0, t_0)$

Retardovaný, resp. advancovaný propagátor jsou Greenovyimi funkcemi Schrödingerovy rovnice

$$i\hbar \frac{d}{dt} K^{(\pm)}(\vec{x}, t; \vec{x}_0, t_0) = \pm i\hbar \delta(t - t_0) K^{(\pm)}(\vec{x}, t; \vec{x}_0, t_0) - \frac{\hbar^2}{2m} \Delta K^{(\pm)} - V(\vec{x}, t) K^{(\pm)}$$

$$\pm i\hbar \delta(t - t_0) K(\vec{x}, t_0; \vec{x}_0, t_0) = \pm i\hbar \delta(t - t_0) \delta^{(3)}(\vec{x} - \vec{x}_0)$$

$$\Rightarrow \left(i\hbar \frac{d}{dt} - \hat{H} \right) K^{(\pm)}(\vec{x}, t; \vec{x}_0, t_0) = \pm i\hbar \delta(t - t_0) \delta^{(3)}(\vec{x} - \vec{x}_0)$$

vlnná částice $\hat{H} = \frac{\vec{p}^2}{2m}$

$K_{\text{hyb}}(\vec{p}, t; \vec{p}_0, t_0) \equiv \langle \vec{p}, t | \vec{p}_0, t_0 \rangle \Rightarrow i\hbar \frac{d}{dt} K_{\text{hyb}}(\vec{p}, t; \vec{p}_0, t_0) = \frac{\vec{p}^2}{2m} K_{\text{hyb}}(\dots)$

$$\Rightarrow K_{\text{hyb}}(\vec{p}, t; \vec{p}_0, t_0) = e^{-\frac{i}{\hbar} \frac{\vec{p}^2}{2m} (t - t_0)} \delta^{(3)}(\vec{p} - \vec{p}_0)$$

$$K_{\text{hyb}}^{(\pm)}(\vec{p}, t; \vec{p}_0, t_0) = \Theta(\pm(t - t_0)) \delta^{(3)}(\vec{p} - \vec{p}_0) e^{-\frac{i}{\hbar} \frac{\vec{p}^2}{2m} (t - t_0)}$$

$\langle \vec{x} | \vec{p} \rangle = \frac{1}{(2\pi\hbar)^{3/2}} e^{i \frac{\vec{p} \cdot \vec{x}}{\hbar}}$, $K^{(\pm)}(\vec{x}, t; \vec{x}_0, t_0) = \int \langle \vec{x} | \vec{p} \rangle K_{\text{hyb}}^{(\pm)}(\vec{p}, t; \vec{p}_0, t_0) \langle \vec{p}_0 | \vec{x}_0 \rangle d^3 p d^3 p_0$

$$\Rightarrow K^{(\pm)}(\vec{x}, t; \vec{x}_0, t_0) = \Theta(\pm(t - t_0)) \frac{1}{(2\pi\hbar)^3} \int d^3 p d^3 p_0 \delta^{(3)}(\vec{p} - \vec{p}_0) e^{i \frac{\vec{p} \cdot \vec{x}}{\hbar}} e^{-\frac{i}{\hbar} \frac{\vec{p}^2}{2m} (t - t_0)} e^{-i \frac{\vec{p}_0 \cdot \vec{x}_0}{\hbar}}$$

$$= \Theta(\pm(t - t_0)) \int \frac{d^3 p}{(2\pi\hbar)^3} e^{\frac{i}{\hbar} (\vec{x} - \vec{x}_0) \cdot \vec{p}} e^{-\frac{i}{\hbar} \frac{\vec{p}^2}{2m} (t - t_0)}$$

Tento integrál nekoneguje, což ale není překvapivé - i na levé straně máme zobecněnou funkci

Výpočet integrálu je možné

Ⓐ pracovat ve smyslu zobecněných funkcí - upravit testovací funkci a integrovat přes \vec{x}, \vec{x}_0

Ⓑ regularizovat přidáním malého parametru do exponentu $\frac{1}{2m} \rightarrow \frac{1}{2m} \mp i\epsilon$ (známé jako $\Theta(\pm(t - t_0))$)

\Rightarrow integrál je konvergentní (Gaussovy typ) $\int dx e^{-ax^2 + bx} = e^{\frac{b^2}{4a}} \sqrt{\frac{\pi}{a}}$, $\text{Re } a > 0$,

načeme ve výsledku je možné provést limitu $\epsilon \rightarrow 0$

$$\Rightarrow K^{(\pm)}(\vec{x}, t; \vec{x}_0, t_0) = \lim_{\epsilon \rightarrow 0} \frac{\Theta(\pm(t - t_0))}{(2\pi\hbar)^3} \left(\sqrt{\frac{\pi}{\frac{1}{2m} \pm i\epsilon}} \right)^3 e^{-\frac{(\vec{x} - \vec{x}_0)^2}{4\hbar^2 \cdot (\frac{1}{2m} \pm i\epsilon)(t - t_0)}}$$

$$K^{(\pm)}(\vec{x}, t; \vec{x}_0, t_0) = \Theta(\pm(t - t_0)) \left(\frac{m}{2\pi\hbar i (t - t_0)} \right)^{3/2} e^{\frac{i m (\vec{x} - \vec{x}_0)^2}{2\hbar (t - t_0)}}$$

na cíleci rozpívání vlnové balíku v 4-D (vizuál viz R von Unge)

Drahový integrál

Při výpočtu propagátoru je možno postupovat v obecném případě následovně:

$$\langle \vec{x}_f, t_f | \vec{x}_0, t_0 \rangle = \langle \vec{x}_f | \hat{U}(t_f, t_0) | \vec{x}_0 \rangle, \text{ interval } (t_0, t_f) \text{ rozdělené na } N+1 \text{ podintervalů}$$

$$\Delta t = \frac{t_f - t_0}{N+1}, \quad t_k = t_0 + k \Delta t \quad \text{a vložíme } \mathbb{1} = \int d^3 \vec{x} |\vec{x}\rangle \langle \vec{x}|$$

v úsech t_k

$$= \int d^3 x_1 \dots d^3 x_N \langle \vec{x} | U(t_f, t_N) | \vec{x}_N \rangle \langle \vec{x}_N | U(t_N, t_{N-1}) | \vec{x}_{N-1} \rangle \dots$$

$$\dots \langle \vec{x}_2 | U(t_2, t_1) | \vec{x}_1 \rangle \langle \vec{x}_1 | U(t_1, t_0) | \vec{x}_0 \rangle$$

pokud Δt je velice malý, lze aproximovat

$$U(t_k, t_{k-1}) \approx \mathbb{1} - \frac{i}{\hbar} \Delta t \hat{H}(t_k)$$

za předpokladu, že $\hat{H} = \frac{\vec{p}^2}{2m} + V(\vec{x}, t)$ dostáváme

$$\langle \vec{x}_k | U(t_k, t_{k-1}) | \vec{x}_{k-1} \rangle \approx \delta^{(3)}(\vec{x}_k - \vec{x}_{k-1}) - \frac{i}{\hbar} \Delta t \langle \vec{x}_k | \hat{V}(t_k) | \vec{x}_{k-1} \rangle$$

$$- \frac{i}{\hbar} \Delta t \int d^3 \vec{p} \langle \vec{x}_k | \vec{p} \rangle \frac{\vec{p}^2}{2m} \langle \vec{p} | \vec{x}_{k-1} \rangle d^3 \vec{p}$$

$$= -\frac{i}{\hbar} \Delta t \int \frac{d^3 \vec{p}}{(2\pi\hbar)^3} e^{i \frac{(\vec{x}_k - \vec{x}_{k-1}) \vec{p}}{\hbar}} \frac{d^3 \vec{p}}{(2\pi\hbar)^3}$$

použijeme integrální vyjádření δ -funkce $\delta^{(3)}(\vec{x} - \vec{y}) = \int \frac{d^3 \vec{p}}{(2\pi\hbar)^3} e^{i \frac{(\vec{x} - \vec{y}) \vec{p}}{\hbar}}$

\Rightarrow

$$\langle \vec{x}_k | U(t_k, t_{k-1}) | \vec{x}_{k-1} \rangle = \int \frac{d^3 \vec{p}}{(2\pi\hbar)^3} e^{i \frac{(\vec{x}_k - \vec{x}_{k-1}) \vec{p}}{\hbar}} \left(1 - \frac{i}{\hbar} \Delta t \left(V(\vec{x}_k, t_k) + \frac{\vec{p}^2}{2m} \right) \right)$$

použijeme opět odhad $e^{+a} \approx 1 + a, |a| \ll 1$

$$= \int \frac{d^3 \vec{p}_k}{(2\pi\hbar)^3} e^{i \frac{(\vec{x}_k - \vec{x}_{k-1}) \vec{p}_k}{\hbar}} e^{-\frac{i}{\hbar} \Delta t H(\vec{p}_k, \vec{x}_k)}, \text{ kde } H(\vec{p}_k, \vec{x}_k) \dots \text{ klasický hamiltonián,}$$

nikoliv operátor! ∇

\Rightarrow

$$\langle \vec{x}_f, t_f | \vec{x}_0, t_0 \rangle \approx \int \frac{d^3 \vec{p}_{N+1}}{(2\pi\hbar)^3} d^3 x_N \frac{d^3 \vec{p}_N}{(2\pi\hbar)^3} \dots d^3 x_1 \frac{d^3 \vec{p}_1}{(2\pi\hbar)^3} e^{i \sum_{k=1}^{N+1} (\vec{x}_k - \vec{x}_{k-1}) \vec{p}_k - \frac{i}{\hbar} \Delta t \sum_{k=1}^{N+1} H(\vec{p}_k, \vec{x}_k)}$$

kde jsou uvedli označení $\vec{x}_f \equiv \vec{x}_{N+1}$

Použití odhadů jsou tím přesnější, čím je Δt menší \Rightarrow pokud existuje limita

$\Delta t \rightarrow 0, N \rightarrow \infty$, bude platit rovnost

$$\langle \vec{x}_f, t_f | \vec{x}_0, t_0 \rangle = \lim_{N \rightarrow \infty} \left(\prod_{k=1}^{N+1} \frac{d^3 \vec{p}_k}{(2\pi\hbar)^3} \prod_{k=1}^N d^3 x_k \right) e^{i \sum_{k=1}^{N+1} \left(\frac{(\vec{x}_k - \vec{x}_{k-1}) \vec{p}_k}{\Delta t} - H(\vec{p}_k, \vec{x}_k) \right) \Delta t}$$

$$\text{kde } \Delta t = \frac{t_f - t_0}{N+1}$$

Tento integrál lze interpretovat v lim jako integrál přes všechny možné trajektorie ve $N \rightarrow \infty$ fázovém prostoru spojující počáteční a koncovou konfiguraci. Problém, zda limita existuje a zda rezaví na případném jíněm, nekompaktním rozdělací intervalu (t_0, t_f) se obvykle ve fyzice handlovává. Zavádí se označení

$$\mathcal{D}\vec{p} \mathcal{D}\vec{x} = \lim_{N \rightarrow \infty} \prod_{k=1}^{N+1} \frac{d^3 p_k}{(2\pi\hbar)^3} \prod_{k=1}^N d^3 x_k$$

a v výpočtu je Riemannova suma nekrajně integrálem: $\frac{\vec{x}_k - \vec{x}_{k-1}}{\Delta t} \rightarrow \dot{\vec{x}}$

$$\sum_{k=1}^N \left(\frac{\vec{x}_k - \vec{x}_{k-1}}{\Delta t} \cdot \vec{p}_k - H(\vec{p}_k, \vec{x}_k) \right) \Delta t \rightarrow \int_{\vec{x}(t_0)}^{\vec{x}(t_f)} \vec{p}(t) \dot{\vec{x}}(t) - H(\vec{p}(t), \vec{x}(t)) dt$$

$$\Rightarrow \boxed{\langle \vec{x}_f, t_f | \vec{x}_0, t_0 \rangle = \int \mathcal{D}\vec{p} \mathcal{D}\vec{x} e^{\frac{i}{\hbar} \int_{t_0}^{t_f} \vec{p} \dot{\vec{x}} - H(\vec{p}, \vec{x}) dt}}$$

Tento výraz lze stejným postupem odvodit, pokud má H tvar $H = f(\vec{p}) + g(\vec{x})$.

Pokud v H máme výraz tvaru $\vec{x} \cdot \vec{p}$ apod., lépe v operátorovém formalismu vedou na problém spočítání, je nutno dávat pozor na indexy (např. $p_x x_k$ vs. $p_{x_{k+1}} x_k$ apod.).

Pokud H je kvadratické vs \vec{p} , tj. $H = \frac{\vec{p}^2}{2m} + V(\vec{x})$, lze provést Gaussovké integrace přes $\prod_{k=1}^{N+1} \frac{d^3 p_k}{(2\pi\hbar)^3}$. Integrály je třeba, podobně jako při výpočtu propagátoru, regularizovat $\vec{p}^2/2m \rightarrow (\vec{p}^2/2m - i\epsilon)$, dostáváme Gaussovké integrály

$$\int \frac{d^3 p_k}{(2\pi\hbar)^3} e^{\frac{i}{\hbar} \left(\frac{\vec{x}_k - \vec{x}_{k-1}}{\Delta t} \cdot \vec{p}_k - \left(\frac{1}{2m} - i\epsilon \right) \vec{p}_k^2 \right) \Delta t} = \left(\frac{2m\pi\hbar}{i\Delta t} \right)^{3/2} \frac{1}{(2\pi\hbar)^3} e^{\frac{2im(\vec{x}_k - \vec{x}_{k-1})^2}{4\hbar\Delta t}}$$

$$= \left(\frac{m}{2\pi\hbar i \Delta t} \right)^{3/2} e^{\frac{im(x_k - x_{k-1})^2}{2\hbar\Delta t}} \Rightarrow$$

$$\langle \vec{x}_f, t_f | \vec{x}_0, t_0 \rangle = \lim_{N \rightarrow \infty} \left(\prod_{k=1}^N \int d^3 x_k \right) \left(\frac{m}{2\pi\hbar i \Delta t} \right)^{3(N+1)} e^{\frac{i}{\hbar} \sum_{k=1}^{N+1} \left(\frac{m}{2} \left(\frac{x_k - x_{k-1}}{\Delta t} \right)^2 - V(x_k) \right) \Delta t}$$

ozn. $\int \mathcal{D}\vec{x}$ (někdy $\lim_{N \rightarrow \infty}$) $^{3(N+1)}$ ozn. N a pokud mimo $\int \mathcal{D}\vec{x}$

$$= \int \mathcal{D}\vec{x} e^{\frac{i}{\hbar} \int_{t_0}^{t_f} S(\vec{x}, \dot{\vec{x}}) dt} = \int \mathcal{D}\vec{x} e^{\frac{i}{\hbar} S[\vec{x}]}$$

$\int \mathcal{D}\vec{x}$ interpretujeme jako integrál přes všechny možné trajektorie spojující počáteční bod \vec{x}_0 v čase t_0 a koncový bod \vec{x} v čase t_f v konfiguračním prostoru, $S[\vec{x}]$

Výhody a nevýhody dráhového integrálu

- Zápis pomocí dráhového integrálu umožňuje celkem snadno konstruovat poměrně rozsoj pro propagátor nadaného fyzikálního systému a výsledky (maticové elementy evolučního operátoru) rozkládá s výsledky nikanými technikami (operátorovým přístupem).
- Není však ve fyzikálně zajímavých případech obdiváno, že $\mathcal{D}\vec{x}$ je míra v matematickém slova smyslu \Rightarrow z matematického hlediska jsou výpočty pomocí dráhových integrálů nekorektní.

- Obdobná tvrzení platí i v kvantové teorii pole: Co lze kvantově kvariálně (operátorovým) přístupem, lze popsat i pomocí dráhového (funkcionálního) integrálu a fyzikálně měřitelné výsledky dříve postupu jsou stejné. Ve většině případů je ale postup pomocí dráhového integrálu podstatně mární (saji kalibrační teorie ve stand. modelu) a řadu rychlosti fyzikové jinak než pomocí funkcionálního integrálu popsat neumí. Proto se funkcionální integrál v QFT všeobecně považuje navedlouy problémům s matk. rigórositou. Lze jen doufat, že v budoucnu bude nalezena matematicky korektní formulace.

Klasická limita

Pro většinu trajektorií existujících z makroskopického hlediska nepatrně odlišná trajektorie nekova, že $S_1 - S_2 = \pi k$, tj. odpovídající příspěvky $\langle \vec{x}_1, t_1 | \vec{x}_2, t_2 \rangle$ se ruší ($e^{i\pi} = -1$). Z makroskopického hlediska k dráhovému integrálu proto přispívají hlavně trajektorie blízké extrémům $x_{cl}(t)$ určeným $\delta S[x_{cl}(t)] = 0$ (trajektorie blízké x_{cl} mají díky $\delta S[x_{cl}(t)] = 0$ hodnoty akce velmi blízké $S[x_{cl}(t)] \Rightarrow$ jejich příspěvky se nemají s čím oděist). Proto lze předst, že v klasické situaci plyb probíhá po trajektoriích velmi blízkých extrémům akce.

Volná částice

Pozn:
$$\int_{-\infty}^{\infty} e^{-\lambda [(x_1 - a)^2 + (x_2 - x_1)^2 + \dots + (x - x_m)^2]} dx_1 \dots dx_m = \sqrt{\frac{\pi^m}{(m+1)\lambda^m}} e^{-\frac{\lambda}{m+1} (t-a)^2}$$

Dk indukci'

$$1) m=1 \int_{-\infty}^{\infty} e^{-\lambda[(x_1-a)^2+(b-x_1)^2]} dx_1 = \int_{-\infty}^{\infty} e^{-\lambda(a^2+b^2+2x_1^2-2(a+b)x_1)} dx_1 = e^{-\lambda(a^2+b^2)} e^{\lambda \frac{(a+b)^2}{2}} \sqrt{\frac{\pi}{2\lambda}} = \sqrt{\frac{\pi}{2\lambda}} e^{-\lambda \frac{(a-b)^2}{2}}$$

$$2) m \rightarrow m+1 \int_{-\infty}^{\infty} e^{-\lambda[(x_1-a)^2+(x_2-x_1)^2+\dots+(b-x_{m+1})^2]} dx_1 \dots dx_{m+1} \stackrel{\text{ind.}}{\neq} \sqrt{\frac{\pi^m}{(m+1)\lambda^m}} \int_{-\infty}^{\infty} e^{-\frac{\lambda}{m+1}(x_{m+1}-a)^2 - \lambda(b-x_{m+1})^2} dx_{m+1}$$

$$= \sqrt{\frac{\pi^m}{(m+1)\lambda^m}} \int_{-\infty}^{\infty} e^{-\lambda \frac{m+2}{m+1} x_{m+1}^2 - \frac{\lambda}{m+1} a^2 - \lambda b^2 + 2x_{m+1}(\frac{\lambda}{m+1} a + \lambda b)} dx_{m+1}$$

$$= \sqrt{\frac{\pi^m}{(m+1)\lambda^m}} \sqrt{\frac{\pi(b+a)}{(m+2)\lambda}} e^{-\frac{\lambda}{m+1} a^2 - \lambda b^2 + (\frac{\lambda}{m+1} a + \lambda b)^2 \frac{m+1}{(m+2)\lambda}}$$

$$= \sqrt{\frac{\pi^{m+1}}{(m+2)\lambda^{m+1}}} e^{-\frac{\lambda}{m+2} (a-b)^2} \quad \text{O.K. Q.E.D.}$$

$$K_{\text{rel}}(\vec{x}_f, t_f; \vec{x}_0, t_0) = \lim_{N \rightarrow \infty} \int_{k=1}^N d^3 x_k \left(\frac{m}{2\pi i \hbar \Delta t} \right)^{3(N+1)/2} e^{\frac{i}{\hbar} \sum_{k=1}^{N+1} \frac{m}{2\Delta t} (\vec{x}_k - \vec{x}_{k-1})^2}$$

regularizujeme $m \rightarrow m+i\epsilon \Rightarrow$ ve výsledku $\lambda = \frac{-i(m+i\epsilon)}{2\hbar \Delta t} \Big|_{\epsilon=0} = -\frac{i m}{2\hbar \Delta t} \Rightarrow$

$$K_{\text{rel}}(\vec{x}_f, t_f; \vec{x}_0, t_0) = \lim_{N \rightarrow \infty} \left(\frac{m}{2\pi i \hbar \Delta t} \right)^{3(N+1)/2} \left(\frac{i^N \pi^N}{(N+1) \frac{m^N}{2^N \hbar^N (\Delta t)^N}} \right)^{3/2} e^{\frac{i m (\vec{x}_f - \vec{x}_0)^2}{2\hbar \Delta t (N+1) t_f - t_0}}$$

$$= \lim_{N \rightarrow \infty} \left(\frac{m}{2\pi i \hbar (N+1) \Delta t} \right)^{3/2} e^{\frac{i m (\vec{x}_f - \vec{x}_0)^2}{2\hbar (t_f - t_0)}} = \left(\frac{m}{2\pi i \hbar (t_f - t_0)} \right)^{3/2} e^{\frac{i m (\vec{x}_f - \vec{x}_0)^2}{2\hbar (t_f - t_0)}}$$

ve výsledku a dřívejším výpočtem v operátorovém formalismu

případě, že $H = \frac{\vec{p}^2}{2m} + V(\vec{x})$, lze V chápat jako poruchu ϵV a rozvinout

$$K(\vec{x}_f, t_f; \vec{x}_0, t_0) = K_{\text{rel}}(\vec{x}_f, t_f; \vec{x}_0, t_0) + \epsilon K_1(\vec{x}_f, t_f; \vec{x}_0, t_0) + \epsilon^2 K_2(\vec{x}_f, t_f; \vec{x}_0, t_0) + \dots$$

zároveň $\mathcal{K} = \left(\frac{m}{2\pi i \hbar \Delta t} \right)^{3/2}$ a rozvineme $\exp\left(-\frac{i}{\hbar} \sum_k V(x_k) \Delta t\right)$ do Taylorovy řady

$$\exp\left(-\frac{i}{\hbar} \sum_k V(x_k) \Delta t\right) = 1 - \frac{i}{\hbar} \sum_k V(x_k) \Delta t - \frac{1}{2\hbar^2} \sum_{j \neq k} V(x_j) V(x_k) (\Delta t)^2 + \dots$$

Dokážeme

$$K_1 = \dots$$

$$K_2 = \dots$$

Odvození propagatoru 1D harmonického oscilátoru z drahového integrálu

$$L = \frac{1}{2} m \cdot \text{diff}(x, t)^2 - \frac{1}{2} m \cdot \omega^2 x^2$$

Nejprve rozdělíme popis trajektorie na "klasickou část"-řešení klasických pohyb. rovnic s danými okrajov. podmínkami, a kovant. korekci:

$$x(t) = x_{cl}(t) + y(t).$$

Po dosažení do akce a roznásobení kvadratu díky pohybovým rovnicím vypadne člen obsahující součin x_{cl} a $x(t)$ ($x_{cl}(t)$ je extremalou) → S se rozpadá na součet dvou částí, $\exp(i/\hbar \cdot S_{cl})$ vytkneme před drahový integrál (nezavíší na $x(t)$), v drahovém integrálu integrujeme přes trajektorie začínající v $y(t_0)=0$ a končící v $y(t_1)=0$. drahový integrál je již funkce jen času, z invariancí L vůči čas. translacím = $F(t_1-t_0)$. Dale určíme hodnotu akce na klasické trajektorii a $F(t_1-t_0)$.

```
[ > restart;
[ > interface (showassumed=0) ;
[ > assume (x1, real) ; assume (x0, real) ; assume (t1, real) ; assume (t0, real) ;
  assume (omega, real) ; assume (hbar, real) ; assume (m, real) ; assume (x0t, r
  eal) ;
```

Akce podél klasické trajektorie

```
[ > x:=t->a*sin(omega*t)+b*cos(omega*t) ;
                                     x := t -> a sin(omega t) + b cos(omega t)
[ > x(t1)=x1, x(t0)=x0 ;
                                     a sin(omega t1) + b cos(omega t1) = x1, a sin(omega t0) + b cos(omega t0) = x0
[ > solve ({x(t1)=x1, x(t0)=x0}, {a, b}) ;
{b = (sin(omega t1) x0 - x1 sin(omega t0)) / (sin(omega t1) cos(omega t0) - cos(omega t1) sin(omega t0)), a = (cos(omega t0) x1 - x0 cos(omega t1)) / (sin(omega t1) cos(omega t0) - cos(omega t1) sin(omega t0)) }
[ > subs (% , a*sin(omega*t)+b*cos(omega*t)) ;
      (cos(omega t0) x1 - x0 cos(omega t1)) sin(omega t) / (sin(omega t1) cos(omega t0) - cos(omega t1) sin(omega t0)) + (sin(omega t1) x0 - x1 sin(omega t0)) cos(omega t) / (sin(omega t1) cos(omega t0) - cos(omega t1) sin(omega t0))
[ > x:=t->(cos(omega*t0)*x1-x0*cos(omega*t1))*sin(omega*t)/(sin(omeg
a*t1)*cos(omega*t0)-cos(omega*t1)*sin(omega*t0))-(-sin(omega*t1)
*x0+x1*sin(omega*t0))*cos(omega*t)/(sin(omega*t1)*cos(omega*t0)-
cos(omega*t1)*sin(omega*t0)) ;
x := t -> (cos(omega t0) x1 - x0 cos(omega t1)) sin(omega t) / (sin(omega t1) cos(omega t0) - cos(omega t1) sin(omega t0)) - (-sin(omega t1) x0 + x1 sin(omega t0)) cos(omega t) / (sin(omega t1) cos(omega t0) - cos(omega t1) sin(omega t0))
[ Kontrola okrajových podmínek
[ > simplify ({x(t1)-x1, x(t0)-x0}) ;
{0}
```

Lagrangian podél skutečné trajektorie

```
[ > L:=t->1/2*m*diff(x(t),t)^2-1/2*m*omega^2*x(t)^2 ;
```

$$L := t \rightarrow \frac{1}{2} m \text{diff}(x(t), t)^2 - \frac{1}{2} m \omega^2 x(t)^2$$

```
[ Akce podél skutečné trajektorie
```

> S_cl:=simplify(convert(int(L(t), t=t0..t1), exp));

$$S_{cl} := \frac{\frac{1}{2} I (e^{(2I\omega t)} x_0^2 + e^{(2I\omega t)} x_1^2 - 4 x_0 x_1 e^{(I\omega(t_0+t_1))} + e^{(2I\omega t_0)} x_0^2 + e^{(2I\omega t_1)} x_1^2) \omega m}{-e^{(2I\omega t_0)} + e^{(2I\omega t_1)}}$$

[Jeste upravime

> S_cl:=simplify(numer(S_cl)/exp(I*omega*(t0+t1)))/simplify(denom(S_cl)/exp(I*omega*(t0+t1)));

$$S_{cl} := \frac{\frac{1}{2} \omega m (\cos(\omega(t_1-t_0)) x_0^2 + \cos(\omega(t_1-t_0)) x_1^2 - 2 x_0 x_1)}{\sin(\omega(t_1-t_0))}$$

> S_cl:=(x1, x0)->m*omega/2/sin(omega*(t1-t0))*(x1^2+x0^2)*cos(omega*(t1-t0))-2*x0*x1);

$$S_{cl} := (x_1, x_0) \rightarrow \frac{\frac{1}{2} m \omega ((x_1^2 + x_0^2) \cos(\omega(t_1-t_0)) - 2 x_0 x_1)}{\sin(\omega(t_1-t_0))}$$

[Dale napiseme tvar propagatoru

(neuvadim explicitne casy v K(..), spravne ma byt K(x1,t1;x0,t0))

> K:=(x1, x0)->exp(I/hbar*S_cl(x1, x0))*F(t1-t0);

$$K := (x_1, x_0) \rightarrow e^{\left(\frac{I S_{cl}(x_1, x_0)}{\hbar} \right)} F(t_1 - t_0)$$

[|F(t1=t0)| urcime z podminky unitarity, tj. casovy vyvoj nemeni normu ->

int(psi(x1,t1)*conjugate(psi(x1,t1),x1) = int(K(x1,x0)*conjugate(K(x1,x0t)))*psi(x0,t0)*conjugate(psi(x0t,t0), x0,x0t,x1) =>

int(K(x1,x0)*conjugate(K(x1,x0t),x1)=delta(x0-x0t)

> simplify(K(x1, x0)*conjugate(K(x1, x0t)));

$$e^{\left(\frac{1/2 I m \omega (x_0 - x_0 t) (\cos(\omega(t_1-t_0)) x_0 - 2 x_1 + \cos(\omega(t_1-t_0)) x_0 t)}{\hbar \sin(\omega(t_1-t_0))} \right)} |F(t_1-t_0)|^2$$

[presubstituji z=x1*m*omega/hbar/sin(...)->dx1=(m*omega/hbar/sin(...))⁻¹ dz, v integralu pak mam 2*Pi*integralni reprezentace delta funkce ->

> 1=2*Pi*abs(F(t1-t0))^2*(m*omega/hbar/sin(omega*(t1-t0)))⁻¹;

$$1 = 2 \frac{\pi |F(t_1-t_0)|^2 \hbar \sin(\omega(t_1-t_0))}{m \omega}$$

> abs(F(t1-t0))=sqrt(m*omega/(2*Pi*hbar*sin(omega*(t1-t0))));

$$|F(t_1-t_0)| = \frac{1}{2} \sqrt{2} \sqrt{\frac{m \omega}{\pi \hbar \sin(\omega(t_1-t_0))}}$$

[Provedenim limity omega->0 a porovnanim s volnou castici dostavame I do jmenovatele pod odmocninu

> F(t1-t0) :=

1/2*sqrt(2)*sqrt(m*omega/(I*Pi*hbar*sin(omega*(t1-t0))));

$$F(t_1-t_0) := \frac{1}{2} \sqrt{2} \sqrt{\frac{-I m \omega}{\pi \hbar \sin(\omega(t_1-t_0))}}$$

> 'K(x1, x0)'=K(x1, x0);

$$K(x_1, x_0) = \frac{1}{2} e^{\left(\frac{1/2 I m \omega ((x_0^2 + x_1^2) \cos(\omega(t_1-t_0)) - 2 x_0 x_1)}{\hbar \sin(\omega(t_1-t_0))} \right)} \sqrt{2} \sqrt{\frac{-I m \omega}{\pi \hbar \sin(\omega(t_1-t_0))}}$$

>

pohled V nřviri explicitně na čase

$$K_1 = -\frac{i}{\hbar} \lim_{N \rightarrow \infty} \mathcal{N}^{N+1} \sum_{k=1}^N \Delta t \int e^{\frac{i m}{\hbar \Delta t} \sum_{j=1}^{N+1} (x_j - x_{j-1})^2} V(\vec{x}_k, t_k) d^3x_1 \dots d^3x_N$$

$$= -\frac{i}{\hbar} \lim_{N \rightarrow \infty} \sum_{k=1}^N \Delta t \int d^3x_k \left(\mathcal{N}^{N-k+1} \int e^{\frac{i m}{\hbar \Delta t} \sum_{j=k+1}^{N+1} (x_j - x_{j-1})^2} d^3x_{k+1} \dots d^3x_N \right) V(\vec{x}_k, t_k) \left(\mathcal{N}^k \int e^{\frac{i m}{\hbar \Delta t} \sum_{j=1}^k (x_j - x_{j-1})^2} d^3x_1 \dots d^3x_{k-1} \right)$$

$\rightarrow K_{\text{vol}}(\vec{x}, t_f; \vec{x}_k, t_k)$ $\rightarrow K_{\text{vol}}(\vec{x}_k, t_k; \vec{x}_0, t_0)$

$$\sum_{k=1}^N \Delta t \int d^3x_k \rightarrow \int_{t_0}^{t_f} dt \int d^3x$$

$$\Rightarrow K_1(\vec{x}, t_f; \vec{x}_0, t_0) = -\frac{i}{\hbar} \int d^3x_1 \int_{t_0}^{t_f} dt_1 K_{\text{vol}}(\vec{x}, t_f; \vec{x}_1, t_1) V(\vec{x}_1, t_1) K_{\text{vol}}(\vec{x}_1, t_1; \vec{x}_0, t_0)$$

obdobně

$$K_2 = -\frac{1}{2\hbar^2} \int d^3x_1 \int_{t_0}^{t_f} dt_1 \int d^3x_2 \int_{t_0}^{t_f} dt_2 K_{\text{vol}}(\vec{x}, t_f; \vec{x}_2, t_2) V(\vec{x}_2, t_2) K_{\text{vol}}(\vec{x}_2, t_2; \vec{x}_1, t_1) \cdot V(\vec{x}_1, t_1) K_{\text{vol}}(\vec{x}_1, t_1; \vec{x}_0, t_0)$$

Indukcí dostáváme

$$K_N = \frac{(-i)^N}{N! \hbar^N} \left(\prod_{k=1}^N \int d^3x_k \int_{t_0}^{t_f} dt_k \right) K_{\text{vol}}(\vec{x}, t_f; \vec{x}_N, t_N) V(\vec{x}_N, t_N) K_{\text{vol}}(\vec{x}_N, t_N; \vec{x}_{N-1}, t_{N-1}) \cdot V(\vec{x}_{N-1}, t_{N-1}) \dots \cdot V(\vec{x}_1, t_1) K_{\text{vol}}(\vec{x}_1, t_1; \vec{x}_0, t_0)$$

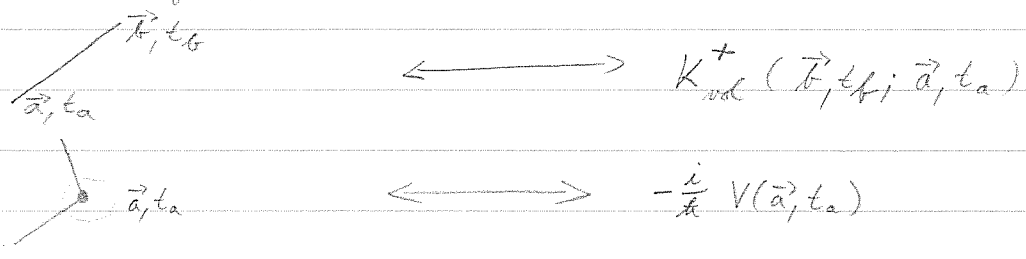
Je vhodné si poznamenat, že $K_2 = -\frac{1}{2\hbar^2} \int \dots \int dt_1 dt_2 \{ \theta(t_1 - t_2) [\dots] + \theta(t_2 - t_1) [\dots] \}$

\Rightarrow po přejmenování integru proměnných máme $K_2 = -\frac{1}{2\hbar^2} \int_{t_0}^{t_f} dt_1 \int_{t_1}^{t_f} dt_2 \int d^3x_1 \int d^3x_2 [\dots]$

Obecně obdržíme faktor $\frac{1}{N!}$ uspořádáním $t_0 \leq t_1 \leq t_2 \leq \dots \leq t_N \leq t_f$. Toto uspořádání je zaručeno automaticky při použití retardovaných propagátorů \Rightarrow

$$K_N^{(+)}(\vec{x}, t_f; \vec{x}_0, t_0) = \frac{(-i)^N}{\hbar^N} \left(\prod_{k=1}^N \int d^3x_k \int_{t_0}^{t_f} dt_k \right) K_{\text{vol}}^{(+)}(\vec{x}, t_f; \vec{x}_N, t_N) V(\vec{x}_N, t_N) K_{\text{vol}}^{(+)}(\vec{x}_N, t_N; \vec{x}_{N-1}, t_{N-1}) \cdot V(\vec{x}_{N-1}, t_{N-1}) \dots \cdot V(\vec{x}_1, t_1) K_{\text{vol}}^{(+)}(\vec{x}_1, t_1; \vec{x}_0, t_0)$$

Feynmanovy diagramy



$K_N^{(+)}$ lze napsat tak, že nahradíme kromenou čarou $\rightarrow N$ vlniček, na konci připsané \vec{x}_0, t_0 resp. \vec{x}, t_f k vlničce \vec{x}_N, t_N , provedeme výše uvedené přeuspořádání výrazů K_{vol}^+ , $-\frac{i}{\hbar} V$ a integrujeme přes všechny

světelné přivržené vlnění.

in: v QFT je situace nejzávažnější, mohou zde interagovat různé druhy částic \Rightarrow různé druhy paček, dle konkrétního potenciálu různé počty paček u vlnění \Rightarrow pro dané N může existovat několik (často velmi mnoho) různých diagramů. Diagramy pak slouží jako užitečná pomůcka pro nakerení všech příspěvků do propagátoru.

Použití dvakrátých integrálů pro popis rozptylu

Udpokládáme, že počáteční podmínkou pro popis rozptylu je stav s průměrnou rychlostí a energií, tj. rovinná vlna

$$\psi_{in}(\vec{x}, t_{in}) = \frac{1}{(2\pi k)^{3/2}} e^{i \frac{\vec{p}_0 \cdot \vec{x}}{\hbar} - \frac{i}{\hbar} E_{in} t_{in}}$$

Udpokládáme, že částice je v počátečním stavu dostatečně daleko od oblasti interakce, takže vliv potenciálu na ni lze zanedbat. Rovinná vlna je však zcela delokalizovaná, proto, abychom se nedostali do rozporu, předpokládáme adiabatickou hypotézu

$$V(\vec{x}, t) \rightarrow 0 \quad \text{pro} \quad t \rightarrow \pm \infty$$

ozn: tento a další předpoklady plynou z použití idealizovaných stavů, pokud by ψ_{in} byl složený balík, řada problémů by nevznikala. Nadrůkem stavu by bylo podstatně důležitější mít konkrétní předpovědi porovnatelné s experimenty.

Udpokládáme dříve uvedeného stavu pro časový vývoj vlnové funkce nalezneme

$$\begin{aligned} \psi^{(+)}(\vec{x}_f, t_f) &= \int K^{(+)}(\vec{x}_f, t_f; \vec{x}_{in}, t_{in}) \psi_{in}(\vec{x}_{in}, t_{in}) d^3x_{in} = \\ &= \int K_{vol}^{(+)}(\dots) \psi_{in}(\dots) d^3x_{in} - \frac{i}{\hbar} \int K_0^{(+)}(\vec{x}_f, t_f; \vec{x}_i, t_i) V(\vec{x}_i, t_i) K_0^{(+)}(\vec{x}_i, t_i; \vec{x}_0, t_0) \psi_{in}(\vec{x}_0, t_0) d^3x_0 \\ &\quad + \dots \end{aligned}$$

pro Bornovské aproximace či Bornovská řada

Udpokládáme nás nejvíce pravděpodobně nakerení částice s danou rychlostí \vec{p}_f v čase $t_f \rightarrow \infty$

$$\psi_{out}(\vec{x}_f, t_f) = \frac{1}{(2\pi k)^{3/2}} e^{i \frac{\vec{p}_f \cdot \vec{x}}{\hbar} - \frac{i}{\hbar} E_{out} t_f}$$

Matice rozptylu, též S-matice (ve Schrödingerově repr.)

$$\hat{S} = \lim_{\substack{t_0 \rightarrow -\infty \\ t_f \rightarrow \infty}} \hat{U}(t_f, t_0)$$

maticový element S-matice, amplituda rozptylu

$$\langle \vec{p}_f | \hat{S} | \vec{p}_0 \rangle = S_{\vec{p}_f \vec{p}_0} = \lim_{t_f \rightarrow \infty} \int \psi_{out}^*(\vec{x}_f, t_f) \psi^{(+)}(\vec{x}_f, t_f) d^3x_f$$

Evidentně $\langle \vec{p}_f | \hat{S} | \vec{p}_0 \rangle$ nemá dobré def. fázi! $\langle p_f, t_f + \Delta t | = e^{i \frac{\hbar}{2m} \frac{p_f^2}{\hbar^2} \Delta t} \cdot \langle p_f, t_f |$,
 pokud by byla počítána tato fáze krát do úvahy, stačí např. do lim dojit $e^{-i \frac{\hbar}{2m} \frac{p_f^2}{\hbar^2} \Delta t} \dots e^{+i \frac{\hbar}{2m} \frac{p_f^2}{\hbar^2} \Delta t}$.
 Je to však jedno, protože měřitelné předpovědi jsou určeny $|\langle \vec{p}_f | \hat{S} | \vec{p}_0 \rangle|^2$ a fáze nestávirajícím.

Povšimhně Bornovské řady dostáváme

$$S_{\vec{p}_f \vec{p}_0} = \lim_{\substack{t_0 \rightarrow -\infty \\ t_f \rightarrow \infty}} \left(\psi_{out}^*(\vec{x}_f, t_f) K_0^{(+)}(\vec{x}_f, t_f; \vec{x}_0, t_0) \psi_{in}(\vec{x}_0, t_0) d^3x_f d^3x_0 \right. \\
 - \frac{i}{\hbar} \int \psi_{out}^*(\vec{x}_f, t_f) K_0^{(+)}(\vec{x}_f, t_f; \vec{x}_1, t_1) V(\vec{x}_1, t_1) K_0^{(+)}(\vec{x}_1, t_1; \vec{x}_0, t_0) \psi_{in}(\vec{x}_0, t_0) \\
 \cdot d^3x_f d^3x_1 d^3x_0 dt_1 \\
 + \dots$$

první člen pro danou $K_0^{(+)}$ je evidentně rovná konst. $e^{-i \frac{\hbar}{2m} \frac{p_0^2}{\hbar^2} (t_f - t_0)} \delta^{(3)}(\vec{p}_f - \vec{p}_0)$, odpovídá situaci, kdy částice prošla bez interakce a není pro další úvahy zajímavý (ve směru dopadajícího směru částice obvykle z důvodu velkého toku redistribuována).

Je vidět, že Feynmanova pravidla lze pro výpočet amplitud rozptylu modifikovat tak, že koncem trajekcí "pacle" přičtáme vyprázdňující ačizymní funkce ψ_{in} , resp. ψ_{out}^* a vyintegrujeme přes jejich prostorové souřadnice.

Jež je vhodné, se výpočty se zjednoduší provedením Fourierovy transformace (přechodem do p -reprezentace):

$$\psi_{in}(\vec{p}, t_0) = \delta^{(3)}(\vec{p} - \vec{p}_0) e^{-i \frac{\hbar}{2m} \frac{p_0^2}{\hbar^2} t_0}, \quad \psi_{out}(\vec{p}, t_f) = \delta^{(2)}(\vec{p} - \vec{p}_f) e^{-i \frac{\hbar}{2m} \frac{p_f^2}{\hbar^2} t_f}$$

$$K_{ret}^{(+)}(\vec{p}_1, t_1; \vec{p}_0, t_0) = \theta(t_1 - t_0) \delta^{(3)}(\vec{p}_1 - \vec{p}_0) e^{-i \frac{\hbar}{2m} \frac{p_0^2}{\hbar^2} (t_1 - t_0)}$$

$$\Rightarrow S_{\vec{p}_0} = \theta(t_f - t_i) e^{-\frac{i}{\hbar} \frac{\vec{p}_0^2}{2m} (t_f - t_0)} \int^{(3)} (\vec{p}_f - \vec{p}_0) - \frac{i}{\hbar} dt e^{-\frac{i}{\hbar} \frac{\vec{p}_f^2}{2m} (t_f - t)} \tilde{V}(\vec{p}_f - \vec{p}_0, t) \cdot e^{-\frac{i}{\hbar} \frac{\vec{p}_f^2}{2m} (t - t_0)} + \dots \text{ je složitější p-integrace}$$

hde $\tilde{V}(\vec{p}, t) = \int \frac{d^3x}{(2\pi\hbar)^3} V(x, t) e^{-\frac{i}{\hbar} \vec{p} \cdot \vec{x}}$ (při této volbě normalizace \tilde{V} mámo správný fyz. rozměr $S_{\vec{p}_1, \vec{p}_2}$)

Dále je možné provést též Fourierovu transformaci času (bývá klíčové v QFT)

$$K_{\text{vol}}^{(4)}(\vec{p}_1, E_1; \vec{p}_0, E_0) = \int \frac{e^{\frac{i}{\hbar} E_1 t_1}}{1} K_{\text{vol}}^{(4)}(\vec{p}_1, t_1; \vec{p}_0, t_0) \frac{e^{-\frac{i}{\hbar} E_0 t_0}}{1} dt_0 dt_1$$

$$= \int^{(3)} (\vec{p}_1 - \vec{p}_0) \int \frac{e^{\frac{i}{\hbar} (E_1 - E_0) t_1}}{1} e^{\frac{i}{\hbar} (-\frac{\vec{p}_0^2}{2m} + E_0)(t_1 - t_0)} \theta(t_1 - t_0) dt_0 dt_1$$

$$= \int^{(3)} (\vec{p}_1 - \vec{p}_0) \delta(E_1 - E_0) \int e^{\frac{i}{\hbar} (E_0 - \frac{\vec{p}_0^2}{2m}) t} \theta(t) dt \text{ (viz t)}$$

regularizace $E_0 - \frac{\vec{p}_0^2}{2m} + i\epsilon$

$$\underline{\underline{= \text{viz t} \delta^{(3)}(\vec{p}_1 - \vec{p}_0) \delta(E_1 - E_0) \frac{i t_1}{E_1 - \frac{\vec{p}_1^2}{2m} + i\epsilon}}}$$

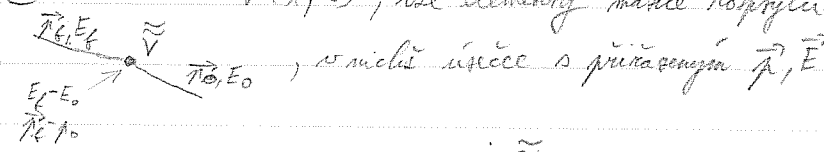
Pozn: výpočet integrálu $\int_{-\infty}^{\infty} e^{i(\omega + i\epsilon)t} \theta(t) dt = \int_0^{\infty} e^{i(\omega + i\epsilon)t} dt = \frac{1}{i(\omega + i\epsilon)} [e^{i(\omega + i\epsilon)t}]_0^{\infty} = -\frac{1}{i(\omega + i\epsilon)} = \frac{1}{\omega + i\epsilon}$

ne i konkrétněji $e^{i(\omega + i\epsilon)t} = e^{-\epsilon t} \cos \omega t + i e^{-\epsilon t} \sin \omega t$

$$\int_0^{\infty} e^{-\epsilon t} \cos \omega t dt = -\frac{1}{\epsilon} [e^{-\epsilon t} \cos \omega t]_0^{\infty} - \frac{\omega}{\epsilon} \int_0^{\infty} e^{-\epsilon t} \sin \omega t dt = \frac{1}{\epsilon} + \frac{\omega}{\epsilon^2} [e^{-\epsilon t} \sin \omega t]_0^{\infty} - \frac{\omega^2}{\epsilon^2} \int_0^{\infty} e^{-\epsilon t} \cos \omega t dt$$

$$\Rightarrow \int_0^{\infty} e^{-\epsilon t} \cos \omega t dt = \frac{1}{\epsilon(1 + \frac{\omega^2}{\epsilon^2})} = \frac{\epsilon}{\omega^2 + \epsilon^2} = \text{Re} \frac{i\omega - i^2\epsilon}{(\omega + i\epsilon)(\omega - i\epsilon)} = \text{Re} \frac{i}{\omega + i\epsilon}, \text{ podobně pro } \sin(\omega t) e^{-\epsilon t}$$

uvědomme-li $\tilde{V}(\vec{p}, E) = \int \frac{d^3x dt}{(2\pi\hbar)^4} e^{\frac{i}{\hbar} (Et - \vec{p} \cdot \vec{x})} V(\vec{x}, t)$, tak elementy matice rozptylu $S_{\vec{p}_1, \vec{p}_0}$ dáváme vyjádřit pomocí diagramů, např.



odpovídá propagátor $\frac{i\hbar}{E - \frac{\vec{p}^2}{2m} + i\epsilon}$, každému vrcholu odpovídá $-\frac{i}{\hbar} \tilde{V}(\vec{p}, E)$, kde \vec{p} je rozdíl hybností (energií) vystupující a vstupující úsečky, integrujeme přes vnější hybnosti a energie pro off-shell, tj. není žádný vztah mezi E a \vec{p} na dané vnější pance. Například dovedeme $E_f = \frac{\vec{p}_f^2}{2m}$, $E_0 = \frac{\vec{p}_0^2}{2m}$. Po provedení integrálů vyjdou ϵ nutně k obkázání pólu (které lze při přidání $i\epsilon$ na reálné energetické ose). Integrace dvojité vyjádření reziduovou větu.

• fyzikální rozměry $[V_p] = [\hbar]^{-3/2}$, $[S_{\vec{p}_1, \vec{p}_0}] = \frac{[X]^3}{[p]^3} = [p]^{-3}$, $[K(x, \dots)] = m^{-2}$, a tedy $[S_{\vec{p}_1, \vec{p}_0}] = [\hbar]^{-k} \frac{[V_p]^k}{[X]^3} \cdot m^2 = [p]^{-3}$

• p-rych: $[\delta^{(3)}(\vec{p})] = [p]^3$, $[S_{\vec{p}_1, \vec{p}_2}] = \frac{1}{[X]^k} \frac{[V_p]^k}{[X]^3} [X]^{-3k} [p]^{2k-3} = [p]^{-3}$ O.K.

$\psi = \int \delta(\dots) + d^3p$

Př: Coulombův napětí $V = \frac{Ze^2}{4\pi\epsilon_0 r}$

$$\tilde{V}(\vec{r}, t) = \frac{Ze^2}{4\pi\epsilon_0} \int \frac{e^{-i\vec{k}\cdot\vec{r}}}{(2\pi k)^3} \frac{1}{r} d^3x \stackrel{\text{replacování}}{\cdot e^{-i\vec{k}\cdot\vec{r} - a r}} \frac{Ze^2}{4\pi\epsilon_0} \int \frac{e^{-i\vec{k}\cdot\vec{r} - a r}}{(2\pi k)^3} \frac{1}{r} d^3x$$

1/er. souřadnice v směru \vec{r} $\frac{Ze^2}{4\pi\epsilon_0} \frac{1}{(2\pi k)^3} \int e^{-i\frac{1}{k} r \cos\theta - a r} \frac{1}{r} r^2 \sin\theta d\theta dr d\varphi =$

$$= \frac{2\pi Ze^2}{4\pi (2\pi k)^3 \epsilon_0} \left(\int_0^\pi \left[\int_0^\infty e^{(-\frac{1}{k} r \cos\theta - a) r} dr \right] \sin\theta d\theta \right)_{a=0}$$

$$= \frac{1}{2} \frac{Ze^2}{(2\pi k)^3 \epsilon_0} \int_0^\pi \frac{\sin\theta d\theta}{\left(\frac{1}{k}\right)^2 \cos^2\theta} = - \frac{Ze^2 k^2}{2\epsilon_0 (2\pi k)^3} \int_0^\pi \frac{-d(\cos\theta)}{\cos^2\theta} = \frac{Ze^2 k^2}{2\epsilon_0 (2\pi k)^3} \left[\frac{1}{\cos\theta} \right]_0^\pi$$

$$= \frac{Ze^2 k^2}{\epsilon_0 (2\pi k)^3} \frac{1}{k^2}$$

Do dosazení je tedy

$$\vec{A}(\vec{r}, t) = -\frac{i}{k} \frac{1}{(2\pi)^2} \frac{1}{k^3} \delta\left(\frac{\vec{r}_f}{2\pi k} - \frac{\vec{r}_0}{2\pi k}\right) e^{i\frac{\vec{r}_f}{2\pi m} (t_f - t_0)} \frac{Ze^2 k^2}{\epsilon_0 (\vec{r}_f - \vec{r}_0)^2} + \dots$$

2. úroveň integrace

$$\vec{A}(\vec{r}, t) = -i \frac{1}{(2\pi k)^2} \delta\left(\frac{\vec{r}_f}{2\pi k} - \frac{\vec{r}_0}{2\pi k}\right) e^{i\frac{\vec{r}_f}{2\pi m} (t_f - t_0)} \frac{Ze^2}{\epsilon_0 (\vec{r}_f - \vec{r}_0)^2} + \dots$$

Účinný proud

$$\sigma = \frac{\text{přítok nabitých částic na 10}}{\text{intenzita dopadajících částic}}, \quad [\sigma] = m^{-2}$$

podíváme se, jaké je množství \vec{p}_0 se nabitými částicemi do směru rychlosti \vec{p}_f je $|S_{\vec{p}_f \vec{p}_0}|^2$.

σ je pak integrál $\int |S| d^3p \cdot |\vec{p}_0| \cdot k^2$ (s rozměrovými důvody).

$|S_{\vec{p}_f \vec{p}_0}|^2$ však obsahuje $|\delta(\dots)|^2 \Rightarrow$ je nutno nějak regularizovat (opět daná na pozadí nenormalizovatelných oblastí stavů \vec{p} , při porušení kterých halibet bylo problémů nevyřešitelných). Po provedení regularizace

$$\sigma = \frac{m Ze^4}{4\pi^2 \epsilon_0^2} \int \frac{1}{|\vec{p}_0|} \frac{1}{|\vec{p}_f - \vec{p}_0|^4} \delta(E_f - E_0) d^3p_f, \quad E_f = \frac{\vec{p}_f^2}{2m}$$

$$\Rightarrow \sigma = \frac{m Z^2 e^4}{4\pi^2 \epsilon_0^2} \int \frac{1}{|\vec{p}_0|} \frac{1}{|\vec{p}_0 - \vec{p}_f|^4} |\vec{p}_f|^2 d|\vec{p}_f| \delta(E_f - E_0) d\Omega$$

$$E_f = \frac{\vec{p}_f^2}{2m} \Rightarrow dE_f = \frac{|\vec{p}_f| d|\vec{p}_f|}{m} \Rightarrow |\vec{p}_f|^2 d|\vec{p}_f| = m (2m E_f)^{3/2} dE_f$$

$$\Rightarrow \sigma = \frac{m^2 Z^2 e^4}{4\pi^2 \epsilon_0^2} \frac{m (2m E_0)^{3/2}}{(2m E_0)^{3/2}} \frac{d\Omega}{4\pi^4 m^2 \frac{\theta}{2}} \quad \text{pročítá } |\vec{p}_0 - \vec{p}_f|^2 = 4\vec{p}_0^2 \sin^2 \frac{\theta}{2}$$

$$\theta = \angle(\vec{p}_0, \vec{p}_f)$$

$$\text{ozn. } |\vec{p}_0| = m v \Rightarrow$$

$$\boxed{\frac{d\sigma}{d\Omega} = \frac{Z e^2}{(8\pi \epsilon_0 m v^2)^2} \frac{1}{\sin^4 \frac{\theta}{2}}}$$

Rutherfordova formule

Partiční suma

Jestliže \hat{H} není explicitně funkcí času, lze pátrat definici propagátoru

$$\begin{aligned} K(\vec{x}_1, t_1; \vec{x}_0, t_0) &= K(\vec{x}_1; \vec{x}_0; t_1 - t_0) = \langle \vec{x}_1, t_1 | \vec{x}_0, t_0 \rangle = \\ &= \sum_m \langle \vec{x}_1, t_1 | \psi_m \rangle \langle \psi_m | \vec{x}_0, t_0 \rangle = \\ &= \sum_m e^{-\frac{i}{\hbar} E_m (t_1 - t_0)} \psi_m(\vec{x}_1) \psi_m^*(\vec{x}_0) \end{aligned}$$

$\uparrow \hat{H} \psi_m = E_m \psi_m, \langle \psi_m | \psi_m \rangle = \delta_m$

obdobně -li formálně $t_1 - t_0 = -i\beta\hbar$

$$\Rightarrow \boxed{K(\vec{x}_1, \vec{x}_0; -i\beta\hbar) = \sum_m e^{-\beta E_m} \psi_m(\vec{x}_1) \psi_m^*(\vec{x}_0)}$$

matice hustoty Gibbsova
rozdělení v x -reprezentaci

\Rightarrow partiční suma systému σ termodyn. teplotě T ($\beta = \frac{1}{kT}$), lze psát

$$\boxed{Z(\beta) = \int d^3x K(\vec{x}, \vec{x}, -i\beta\hbar) = \sum_m e^{-\beta E_m}}$$

Pozn: znalost partiční sumy lze určit střední hodnotu energie, její střední kvadr. odchylku a další momenty:

$$\langle E \rangle = Z(\beta)^{-1} \cdot \sum_m E_m e^{-\beta E_m} = -Z(\beta)^{-1} \frac{d}{d\beta} Z(\beta) = -\frac{d}{d\beta} \ln Z(\beta)$$

$$\langle E^2 - \langle E \rangle^2 \rangle = \frac{d^2}{d\beta^2} \ln Z(\beta) \quad \text{atd.}$$

V kvantové mechanice či QFT je často nejpřehlednější vypočítat střední hodnoty pozorovatelných v vákuovém stavu systému, tzv. vakuum (vakuumové střední hodnoty, VEVy). K tomu lze využít následujícího triku:

$$\langle 0 | \hat{A} | 0 \rangle = \lim_{\beta \rightarrow \infty} \frac{\sum_m e^{-\beta E_m} \langle m | \hat{A} | m \rangle}{\sum_m e^{-\beta E_m}} \quad (\text{protože } e^{-\beta E_m}, m > 0 \text{ ubíhají rychleji než } e^{-\beta E_0})$$

na předpokladu, že A je funkcí pouze souřadnic, lze psát $\langle m | \hat{A} | m \rangle = \int \psi_m^*(\vec{x}) \psi_m(\vec{x}) A(\vec{x}) d^3x$

$$\Rightarrow \langle 0 | \hat{A} | 0 \rangle = \lim_{\beta \rightarrow \infty} \frac{1}{Z(\beta)} \int d^3x K(\vec{x}, \vec{x}, -i\beta\hbar) A(\vec{x}) = \lim_{\beta \rightarrow \infty} \frac{1}{Z(\beta)} \int d\vec{x} A(\vec{x}(0)) e^{\frac{i}{\hbar} \int_0^{\beta\hbar} \mathcal{L}_E(\vec{x}(\tau)) d\tau}$$

normované trajektorie

de integrace přes parametrizované trajektorie máme integraci přes $\vec{x}: \langle 0, \tau \rangle \rightarrow \mathbb{R}^3: \vec{x}(0) = \vec{x}(\tau)$,
 získáme $\mathcal{L}(x(t))$ tak, že nahradíme $t = -i\tau \Rightarrow \frac{d}{dt} = i \frac{d}{d\tau}, dt = -i d\tau$

pro výpočet podobných výrazů je vhodné zavést vyhovující funkcionál

$$Z[\vec{\eta}] = \int_{\text{kurva trajektorie}} \mathcal{L}\vec{x} e^{\frac{i}{\hbar} \int_0^{\tau/\beta} dt [\mathcal{L}_E(\vec{x}(t)) + \vec{\eta}(t) \dot{\vec{x}}(t)]}$$

a variální funkcionální derivaci $\frac{\delta}{\delta \eta(\tau)} F[\eta]$ v následujícím myšle:

$$\text{je-li } F[\eta] = \int G(\eta, \eta', \eta'', \dots, \tau) d\tau \Rightarrow \delta F[\eta(\tau)] = \int \frac{\delta F[\eta]}{\delta \eta(\tau)} \cdot \delta \eta(\tau) d\tau$$

Často lze psát

$$\frac{\delta}{\delta \eta(\tau)} F[\eta] = \lim_{\epsilon \rightarrow 0} \frac{F[\eta + \epsilon \delta(\tau)] - F[\eta]}{\epsilon}$$

Pro rozvinutí $A = \sum_{k_1, k_2, k_3} a_{\vec{k}} x_1^{k_1} x_2^{k_2} x_3^{k_3}$ lze psát

$$\begin{aligned} \langle 0 | \hat{A} | 0 \rangle &= \lim_{\beta \rightarrow \infty} Z^{-1}(\beta) \sum_{\text{uvnitř } A} a_{\vec{k}} \int \mathcal{D}\vec{x} x_1^{k_1}(0) x_2^{k_2}(0) x_3^{k_3}(0) e^{\frac{i}{\hbar} \int_0^{\tau/\beta} dt [\mathcal{L}_E + \vec{\eta} \dot{\vec{x}}]} \Big|_{\vec{\eta}=0} \\ &= \lim_{\beta \rightarrow \infty} Z^{-1}(\beta) \sum_{\text{uvnitř } A} a_{\vec{k}} \left(\mathcal{L} \frac{\delta}{\delta \eta_1(0)} \right)^{k_1} \dots \left(\mathcal{L} \frac{\delta}{\delta \eta_3(0)} \right)^{k_3} e^{\frac{i}{\hbar} \int_0^{\tau/\beta} dt [\mathcal{L}_E + \vec{\eta} \dot{\vec{x}}]} \Big|_{\vec{\eta}=0} \\ &= \lim_{\beta \rightarrow \infty} Z^{-1}(\beta) \sum_{\vec{k}} a_{\vec{k}} \left(\mathcal{L} \frac{\delta}{\delta \vec{\eta}(0)} \right) Z[\vec{\eta}] \Big|_{\vec{\eta}=0} \end{aligned}$$

$$\langle 0 | \hat{A} | 0 \rangle = \lim_{\beta \rightarrow \infty} (Z(\beta))^{-1} \left(A \left(\mathcal{L} \frac{\delta}{\delta \vec{\eta}(0)} \right) Z[\vec{\eta}] \right) \Big|_{\vec{\eta}=0}$$

Reprezentace vícečásticových stavů pomocí obarvených čísel, kreačních a anihilačních operátorů

Je nutné, že pro popis stavů mnohčásticových částic navíc udát které částice je v jakém stavu. K tomu účelu se používají tzv. obarvená čísla:

Necht' máme ÚMP, jejíž stavové vektory nějak uspořádáme a označíme $\psi_a(x)$
($a \in \mathbb{N}$ nebo $a \in \mathbb{R}$ apod., pro jednoduchost můžeme pp. $a \in \mathbb{N}$).

Pak můžeme problém n -částicových stavů můžeme napsat v podobě vektorů

$$|m_1, m_2, \dots\rangle, \quad m = \sum_{k=1}^{\infty} m_k, \quad m_k \geq 0 \text{ definovaných}$$

vrátem

$$|m_1, m_2, \dots\rangle = \frac{1}{a} (\psi_{a_1}(x_1) \otimes \psi_{a_2}(x_2) \otimes \dots \otimes \psi_{a_{m_1}}(x_{m_1}) \otimes \psi_{a_2}(x_{m_1+1}) \dots \otimes \psi_{a_2}(x_{m_1+m_2}) \otimes \dots)$$

kte ψ , resp. a , značí symmetrizaci, resp. antisymmetrizaci (pro bosony resp. fermiony)
Normou dělíme proto, aby $\| |m_1, m_2, \dots\rangle \| = 1$. Z definice je vidět, že pravá strana
obsahuje funkci n proměnných x_1, \dots, x_n , lze ji tedy interpretovat jako stavovou
funkci n bosonů, resp. fermionů. Pokud uvažujeme případ fermionů, pak je nutné,
že pokud $\exists k: m_k \geq 2 \Rightarrow$ po antisymmetrizaci $|m_1, m_2, \dots\rangle = \vec{0}$ Pauliho vylučovací
princip.

Chceme najít formalismus vhodný pro popis systémů, ve kterých je počet částic proměnlivý
(např. fotony interagující s látkou) \Rightarrow nejprve pokusíme vhodný prostor
stavů takového systému ... tzv. Fockův prostor

pp. pouze 1 druh částic, 1-částicový Hilbertův prostor \mathcal{H} ,

$$\Rightarrow \mathcal{F}(\mathcal{H}) = \underbrace{\mathbb{C}}_{\substack{\uparrow \\ \text{vakuum} \\ \text{-- stav neobsahující} \\ \text{žádné částice}}} \oplus \underbrace{\mathcal{H}}_{\substack{\uparrow \\ \text{1-částicové} \\ \text{stavy}}} \oplus \underbrace{\frac{1}{2!} (\mathcal{H} \otimes \mathcal{H})}_{\substack{\uparrow \\ \text{2-částicové} \\ \text{stavy bosonů} \\ \text{resp. fermionů}}} \oplus \dots \oplus \frac{1}{k!} (\mathcal{H}^{\otimes k}) \oplus \dots$$

$$\text{jj. } \mathcal{F}_B(\mathcal{H}) = \sum_{k=0}^{\infty} \frac{1}{k!} (\mathcal{H}^{\otimes k}) \quad \text{pro bosony}$$

$$\mathcal{F}_F(\mathcal{H}) = \sum_{k=0}^{\infty} \frac{1}{k!} (\mathcal{H}^{\otimes k}) \quad \text{pro fermiony}$$

ozn: pokud $\dim \mathcal{H} < +\infty \Rightarrow \dim F_B(\mathcal{H}) = +\infty, \dim F_F(\mathcal{H}) = 2^{\dim \mathcal{H}}$

ozn: je-li \mathcal{H} separabilní Hilbertov prostor, pak $F_{B,F}(\mathcal{H})$ jsou separabilní Hilbertovy prostory, skalární součin na $F(\mathcal{H})$ je určen:

$$k_1 \neq k_2 \quad |\psi\rangle \in \mathcal{H}^{\otimes k_1}, |\varphi\rangle \in \mathcal{H}^{\otimes k_2} \Rightarrow \langle \psi | \varphi \rangle = 0$$

$$|\psi_1\rangle, \dots, |\psi_k\rangle \in \mathcal{H}^{\otimes k_1}, |\varphi_1\rangle, \dots, |\varphi_k\rangle \in \mathcal{H}^{\otimes k_2} \Rightarrow (\langle \psi_1 | \otimes \dots \otimes \langle \psi_k |) (|\varphi_1\rangle \otimes \dots \otimes |\varphi_k\rangle) = \langle \psi_1 | \varphi_1 \rangle \dots \langle \psi_k | \varphi_k \rangle$$

Pro výpočty ve Fockově prostoru je vhodné zavést kreací a anihilací operátory

a) bosony

$$\hat{a}_j : F_B(\mathcal{H}) \rightarrow F_B(\mathcal{H}) \quad \forall k \in \mathbb{N}: \hat{a}_j : \mathcal{F}(\mathcal{H}^{\otimes k}) \rightarrow \mathcal{F}(\mathcal{H}^{\otimes (k-1)})$$

$$\hat{a}_j |m_1, \dots, m_j, \dots\rangle = \alpha_{m_j} |m_1, \dots, m_j-1, \dots\rangle \text{ resp. } 0 \text{ jeli-li } m_j = 0$$

$\sum_{i=1}^{\infty} m_i = k$

Konstantu α_k , která je závislá na k , můžeme zvolit tak, aby takto definované anihilací operátory měly vhodné vlastnosti.

$$\hat{a}_j^+ : \langle m_1, \dots, m_j, \dots | \hat{a}_j^+ | m_1, \dots, m_j, \dots \rangle = \langle m_1, \dots, m_j, \dots | \hat{a}_j | m_1, \dots, m_j, \dots \rangle$$

$$= \alpha_{m_j} \langle m_1, \dots, m_j | m_1, \dots, m_j-1, \dots \rangle = \alpha_{m_j}^* \delta_{m_1, m_1} \dots \delta_{m_j, m_j-1} \dots$$

$$= \alpha_{m_j+1}^* \langle m_1, \dots, m_j, \dots | m_1, \dots, m_j+1, \dots \rangle$$

aby mohlo být reálné, můžeme
být $\sum m_i = k = \sum m_i - 1 = k-1$
 $\Rightarrow \boxed{k = k+1}$

$$\Rightarrow \hat{a}_j^+ |m_1, \dots, m_j, \dots\rangle = \alpha_{m_j+1}^* |m_1, \dots, m_j+1, \dots\rangle$$

$\sum_{i=1}^{\infty} m_i = k$

kreací operátor

definice již můžeme počítat komutační relace kreací a anihilací operátory

$$\sum m_i = k: [\hat{a}_i^+, \hat{a}_j^+] |m_1, \dots, m_i, \dots, m_j, \dots\rangle \stackrel{i \neq j}{=} \alpha_{m_i+1}^* \alpha_{m_j+1}^* |m_1, \dots, m_i+1, \dots, m_j+1, \dots\rangle - \alpha_{m_j+1}^* \alpha_{m_i+1}^* |m_1, \dots, m_i+1, \dots, m_j+1, \dots\rangle$$

$$= 0, \text{ resp. } = (\alpha_{m_i+2}^* \alpha_{m_i+1}^* - \alpha_{m_i+1}^* \alpha_{m_i+2}^*) |m_1, \dots, m_i+2, \dots\rangle = 0 \text{ pro } i=j$$

$$\Rightarrow \boxed{[\hat{a}_i^+, \hat{a}_j^+] = 0}, \text{ obdobně ukážete, že } \boxed{[\hat{a}_i, \hat{a}_j] = 0}$$

$$[\hat{a}_i, \hat{a}_j^+] |m_1, \dots, m_i, \dots, m_j, \dots\rangle \stackrel{i \neq j}{=} \alpha_{m_i}^* \alpha_{m_j+1}^* |m_1, \dots, m_i-1, \dots, m_j+1, \dots\rangle - \alpha_{m_j+1}^* \alpha_{m_i}^* |m_1, \dots, m_i-1, \dots, m_j+1, \dots\rangle$$

$$[\hat{a}_i, \hat{a}_i^+] |m_1, \dots, m_i, \dots\rangle = \alpha_{m_i+1}^* \alpha_{m_i}^* |m_1, \dots, m_i, \dots\rangle - \alpha_{m_i}^* \alpha_{m_i+1}^* |m_1, \dots, m_i, \dots\rangle = (\alpha_{m_i+1}^* \alpha_{m_i}^* - \alpha_{m_i}^* \alpha_{m_i+1}^*) |m_1, \dots, m_i, \dots\rangle$$

je vhodné zavést kreací a anihilací operátory tak, aby $[\hat{a}_i, \hat{a}_j^+] = \delta_{ij} \cdot \mathbb{1}$ (viz harmon. oscilátor)

$$\Rightarrow \alpha_{m_i+1}^* \alpha_{m_i}^* = \alpha_{m_i}^* \alpha_{m_i+1}^* + 1 \Rightarrow \text{indukcí nalezneme řadu určenou až na fázi } (\alpha_{k+1}^* \alpha_{k+1}^* = k+1)$$

fáze napíšeme reálné $\Rightarrow \alpha_k = \sqrt{k}$

Takže pro bosony máme

$$\hat{a}_j |m_1, \dots, m_j, \dots\rangle = \begin{cases} \sqrt{m_j} |m_1, \dots, m_j - 1, \dots\rangle & m_j > 0 \\ 0 & m_j = 0 \end{cases}$$

$$\hat{a}_j^+ |m_1, \dots, m_j, \dots\rangle = \sqrt{m_j + 1} |m_1, \dots, m_j + 1, \dots\rangle$$

Vidíme, že lze psát

$$|m_1, m_2, \dots\rangle = \frac{(a_1^+)^{m_1}}{\sqrt{m_1!}} \frac{(a_2^+)^{m_2}}{\sqrt{m_2!}} \dots |0\rangle$$

celou konstantu mnoha členů vyznačíme od 1

kde stav $|0\rangle$, tzv. vakuum, vyhovuje (ve značení pomocí dvo. čísel $|0\rangle \equiv |0, 0, \dots\rangle$)

$$\hat{a}_j |0\rangle = 0, \quad \forall j$$

celý faktor prostou lze psát

$$F_B(x) = \exp \left\{ \frac{(a_1^+)^{m_1} (a_2^+)^{m_2}}{\sqrt{m_1!} \sqrt{m_2!}} \dots |0\rangle \mid \sum_{i=1}^{\infty} m_i < +\infty \right\}$$

Z komutačních relací $[a_i^+, a_j^+] = 0$ je vidět, že stavy jsou symetrické vůči výměně
 \Rightarrow jedná se skutečně o bosony, pro fermiony budeme muset mít jiné komut. relace.

Definujeme operátor počtu částic n j -tým stavem
a operátor celkového počtu částic

$$\hat{N}_j = a_j^+ a_j$$

$$\hat{N} = \sum_{j=1}^{\infty} a_j^+ a_j$$

Ověření

$$\hat{N}_j \frac{(a_1^+)^{m_1}}{\sqrt{m_1!}} \dots \frac{(a_j^+)^{m_j}}{\sqrt{m_j!}} \dots |0\rangle = \frac{(a_1^+)^{m_1}}{\sqrt{m_1!}} \dots \frac{1}{\sqrt{m_j!}} a_j^+ a_j (a_j^+)^{m_j} \dots |0\rangle =$$

$$= \frac{(a_1^+)^{m_1}}{\sqrt{m_1!}} \dots \frac{1}{\sqrt{m_j!}} a_j^+ (a_j^+ a_j (a_j^+)^{m_j-1} + 1 (a_j^+)^{m_j-1}) \dots |0\rangle =$$

$$= \dots = \frac{(a_1^+)^{m_1}}{\sqrt{m_1!}} \dots \frac{1}{\sqrt{m_j!}} a_j^+ ((a_j^+)^{m_j} a_j + m_j (a_j^+)^{m_j-1}) \dots |0\rangle$$

$$= 0 + m_j \frac{(a_1^+)^{m_1}}{\sqrt{m_1!}} \dots \frac{(a_j^+)^{m_j}}{\sqrt{m_j!}} \dots |0\rangle = m_j |m_1, \dots, m_j, \dots\rangle$$

znáči $\hat{N} |m_1, m_2, \dots\rangle = \left(\sum_{j=1}^{\infty} m_j \right) |m_1, m_2, \dots\rangle$

\Rightarrow vlastní vektory \hat{N} - stavů s přesně určeným počtem částic, spol. vlastní vektory \hat{N}_i - stavů

o vícenásobném počtu částic v jednotlivých 1-částicových stavcích. $\{N_i | i=1, \dots, +\infty\}$,
 evidentně tvoří ÚMP na $F_B(\mathcal{X})$.

Hamiltonián na $F_B(\mathcal{X})$: je nutné vrátit do úvahy experimentálně nalazený charakter interakce

Nejjednodušší případ: neminteragující částice $\Rightarrow \hat{H}$ na $\mathcal{Y}(\mathcal{X} \otimes \dots \otimes \mathcal{X})$ je součtem

$$1\text{-částicových hamiltoniánů } \hat{H}_0: \hat{H}|_{\mathcal{Y}(\mathcal{X} \otimes \dots \otimes \mathcal{X})} = \hat{H}_0 \otimes \mathbb{1} \otimes \dots \otimes \mathbb{1} + \mathbb{1} \otimes \hat{H}_0 \otimes \mathbb{1} \otimes \dots \otimes \mathbb{1} + \dots$$

Pokud původně uvažujeme ÚMP pro konstrukci kreací a anihilačních kvantů obstarává \hat{H}

ke 1. výhledu psát: $\hat{H} \psi_a = \epsilon_a \psi_a$

$$\Rightarrow \hat{H} |m_1, m_2, \dots\rangle = \sum_{k=1}^{\infty} \epsilon_k m_k |m_1, m_2, \dots\rangle = \sum_{k=1}^{\infty} \epsilon_k \hat{N}_k |m_1, m_2, \dots\rangle$$

protože tato rovnost platí $\forall |m_1, m_2, \dots\rangle \in F_B(\mathcal{X})$, platí i jako operátora identita

$$\boxed{\hat{H} = \sum_{k=1}^{\infty} \epsilon_k \hat{N}_k = \sum_{k=1}^{\infty} \epsilon_k a_k^+ a_k}$$

Pokud částice interagují, v \hat{H} se objeví navíc další členy, takže již nepochítáme pomocí kreací a anihilačních
 Pokud $[\hat{H}, \hat{N}] = 0 \rightarrow$ v tomto se zachovává celkový počet částic.

Jedliže využijeme jinou ÚMP, např. pro volnou částici se spinem 1 (P_x, P_y, P_z, S_z)

\Rightarrow smění se kocher smáčení, ale počítata zůstává stejná

$$[\hat{a}_{\vec{k}, \xi}, \hat{a}_{\vec{k}', \xi'}^+] = \delta_{\xi \xi'} \delta^3(\vec{k} - \vec{k}')$$

$$\psi_{\vec{k}, \xi}(\vec{x}) = \hat{a}_{\vec{k}, \xi}^+ |0\rangle$$

$$\psi_{\vec{k}, \xi}(\vec{x}) \psi_{\vec{k}', \xi'}(\vec{x}') = \frac{1}{\sqrt{\omega}} (a_{\vec{k}, \xi}^+)^2 |0\rangle \text{ apod.}$$

obecný vektor v $F_B(\mathcal{X})$:

$$\boxed{|\varphi\rangle = \sum_{k=0}^{\infty} \left(\prod_{j=1}^k \int d^3 p_j \sum_{\xi_j=1}^1 \right) \alpha \prod_{j=1}^k \hat{a}_{\vec{p}_j, \xi_j}^+ |0\rangle$$

Fermiony

Obdobnou konstrukci kreacních a anihilacních operátorů děláme právě teď pro fermiony. V místě kde rozdíl v dočasně bosonů a fermionů se budou vyjádřit vztahy podobné těm, uvedeme proto raději jiné označení operátorů

$$\hat{b}_j^+ \hat{b}_j^+ |m_1, m_2, \dots, m_j, \dots\rangle = \hat{b}_j^+ \frac{\alpha(\psi_1(x_1) \dots \psi_1(x_{m_j}) \psi_2(x_{m_j+1}) \dots)}{\| \dots \|} =$$

$$= \sqrt{m_j+1} \frac{\alpha(\psi_1(x_1) \psi_1(x_2) \dots \psi_1(x_{m_j+1}) \psi_2(x_{m_j+2}) \dots)}{\| \dots \|}$$

Je nutné si uvědomit, že v tomto případě je důležité pořadí 1-částicových vlnových funkcí v definici $|m_1, m_2, \dots\rangle$, protože provádíme antisymetrizaci.

$$\Rightarrow \hat{b}_j^+ |m_1, m_2, \dots, m_j, \dots\rangle = \sqrt{m_j+1} (-1)^{\sum_{i=1}^{j-1} m_i} |m_1, m_2, \dots, m_j+1, \dots\rangle \quad \text{kreací operátor}$$

$$\hat{b}_j |m_1, m_2, \dots, m_j, \dots\rangle = \sqrt{m_j} (-1)^{\sum_{i=1}^{j-1} m_i} |m_1, m_2, \dots, m_j-1, \dots\rangle, \quad m_j > 0$$

$$= 0 \quad m_j = 0$$

anihilacní operátor

Pro těchto uvedených \hat{b}_j, \hat{b}_j^+ platí

$$j < k \quad \hat{b}_j^+ \hat{b}_k^+ |m_1, \dots, m_j, \dots, m_k, \dots\rangle = \sqrt{m_j} \sqrt{m_k} (-1)^{\sum_{i=1}^{j-1} m_i} (-1)^{\sum_{i=1}^{k-1} m_i} |m_1, m_2, \dots, m_j+1, \dots, m_k+1, \dots\rangle$$

$$\hat{b}_k^+ \hat{b}_j^+ | \dots \rangle = \sqrt{m_k} \sqrt{m_j} (-1)^{\sum_{i=1}^{j-1} m_i+1} (-1)^{\sum_{i=1}^{k-1} m_i} |m_1, m_2, \dots, m_j+1, \dots, m_k+1, \dots\rangle$$

$$= (-1)^{\sum_{i=1}^{j-1} m_i+1} (-1)^{\sum_{i=1}^{k-1} m_i} \sqrt{m_k} \sqrt{m_j} | \dots \rangle$$

$$\Rightarrow \hat{b}_j^+ \hat{b}_k^+ | \dots \rangle = - \hat{b}_k^+ \hat{b}_j^+ | \dots \rangle \quad \forall | \dots \rangle \quad \text{tj. pro každé } \Rightarrow$$

$$\{\hat{b}_j^+, \hat{b}_k^+\} \equiv \hat{b}_j^+ \hat{b}_k^+ + \hat{b}_k^+ \hat{b}_j^+ = 0$$

(podobně lze odvodit i $j=k \Rightarrow$ platí $\forall j$)

\Rightarrow pro fermiony komutátory kreacních a obdobně anihilacních operátorů nahraujeme antikomutátory

$$\text{ovšem, že} \quad \{\hat{b}_j, \hat{b}_k\} = 0 \quad \{\hat{b}_j^+, \hat{b}_k^+\} = \delta_{jk} \mathbb{1}$$

⇒

$$|m_1, m_2, \dots\rangle = \frac{(b_1^+)^{m_1}}{\sqrt{m_1!}} \frac{(b_2^+)^{m_2}}{\sqrt{m_2!}} \dots |0\rangle$$

z antikomutacních relací lze vidět, že $(b_i^+)^2 = \frac{1}{2} \{b_i^+, b_i^+\} = 0$ takže, jako vyřazuje Pauliho vylučovací princip.

Dále uvádíme operátory počtu částic v k-tém stavu a operátor celkového počtu částic

$$\begin{aligned} \hat{N}_k &= b_k^+ b_k \\ \hat{N} &= \sum_{k=1}^{\infty} b_k^+ b_k \end{aligned}$$

Příklad máme neinteragující částice, $\hat{H}_0 \psi_k = \epsilon_k \psi_k$, \hat{H}_0 jednocásticový Hamiltonián ⇒ celkový Hamiltonián

$$\hat{H} = \sum_{k=1}^{\infty} \epsilon_k \hat{N}_k = \sum_{k=1}^{\infty} \epsilon_k b_k^+ b_k$$

Příklad potvrdíme kromě popisyjící více druhů částic, je odpovídající Fockův prostor soustavám souřadně Fockových prostorů jednotlivých druhů částic:

$$\mathcal{F} = \mathcal{F}_B(\mathcal{X}^1) \otimes \mathcal{F}_B(\mathcal{X}^2) \otimes \dots \otimes \mathcal{F}_B(\mathcal{X}^L) \otimes \mathcal{F}_F(\tilde{\mathcal{X}}^1) \otimes \dots \otimes \mathcal{F}_F(\tilde{\mathcal{X}}^E)$$

pro L druhů bosonů a Σ druhů fermionů. Obvyklé relace pak lze vyjádřit $(\alpha_2, \alpha_0$ spinový přísl. číslo)

$$|\varphi\rangle = \prod_{\lambda=1}^L \sum_{k_\lambda=0}^{\infty} \left(\prod_{j=1}^{k_\lambda} \int d^3 p_{j\lambda} \right) \sum_{\xi_{j\lambda}=-\alpha_2}^{\alpha_2} \prod_{j=1}^{k_\lambda} \hat{a}_{\vec{p}_{j\lambda}, \xi_{j\lambda}}^+ \cdot \prod_{\tilde{k}_\sigma=0}^{\infty} \left(\prod_{\tilde{j}_\sigma=1}^{\tilde{k}_\sigma} \int d^3 \tilde{p}_{\tilde{j}_\sigma} \right) \sum_{\tilde{\xi}_{\tilde{j}_\sigma}=-\alpha_0}^{\alpha_0} \prod_{\tilde{j}_\sigma=1}^{\tilde{k}_\sigma} b_{\vec{p}_{\tilde{j}_\sigma}, \tilde{\xi}_{\tilde{j}_\sigma}}^+$$

$\cdot \alpha$ $\cdot |0\rangle$
 $\begin{pmatrix} \vec{p}_1, \tilde{\xi}_1 \\ \vec{p}_1, \tilde{\xi}_1 \end{pmatrix}$ jako multindex

Komutací relace operátorů přísl. různým částicím (částicové konvence, tj. mohou být vyřazeny i jiné):

$$\left\{ b_{\vec{p}_1, \xi_1}^+, b_{\vec{p}_2, \xi_2}^+ \right\} = 0 = \left\{ b_{\vec{p}_1, \xi_1}^-, b_{\vec{p}_2, \xi_2}^- \right\}$$

$$\left\{ b_{\vec{p}_1, \xi_1}^+, b_{\vec{p}_2, \xi_2}^- \right\} = \delta_{\sigma_1, \sigma_2} \delta_{\xi_1, \xi_2} \delta^{(2)}(\vec{p}_1 - \vec{p}_2)$$

$$\begin{aligned} [a_{\lambda_1, \dots, \lambda_n}^+, a_{\lambda_1, \dots, \lambda_n}^+] &= 0 = [a_{\lambda_1, \dots, \lambda_n}^+, a_{\lambda_1, \dots, \lambda_n}^-] \\ [a_{\lambda_1, \dots, \lambda_n}^+, a_{\lambda_1, \dots, \lambda_n}^-] &= \delta_{\lambda_1, \lambda_2} \delta_{\xi_1, \xi_2} \delta^{(2)}(\vec{p}_1 - \vec{p}_2) \\ [a_{\lambda_1, \dots, \lambda_n}^+, b^+] &= [a_{\lambda_1, \dots, \lambda_n}^+, b^-] = [a_{\lambda_1, \dots, \lambda_n}^-, b^+] = [a_{\lambda_1, \dots, \lambda_n}^-, b^-] = 0 \end{aligned}$$

Konstrukce \hat{H} pro systémy s proměnným počtem částic

1) ukládání interakce na základě rovnoměrné fyzikální situace

vzpř. pro nejkratší popis emise a absorpce záření:

pp atom popsaný hamiltoniánem \hat{H}_p , je-li to jeho modelový popis v nejkratším přiblížení použít

$$\hat{H} = \hat{H}_p + \sum_a U_a \hat{a}_a^\dagger + \bar{U}_a \hat{a}_a + \sum_{a,b} U_{ab} \hat{a}_a^\dagger \hat{a}_b + \dots$$

↑ *dvě fyzik. "atomových" proměnných*
↑ *U_{ab} = U_{ba}^{*}, pp U_{aa} čísla,*
↑ *a ≠ b ⇒ U_{ab} fce "atomových" proměnných*

situaci budeme zkoumat pomocí, pp známé spektrum $\hat{H}_p - |\xi\rangle, \hat{H}_p|\xi\rangle = \xi|\xi\rangle$

$$\hat{H}_0 = \hat{H}_p + \sum_a U_{aa} \hat{a}_a^\dagger \hat{a}_a$$

⇒ vlastní stav \hat{H}_0 je $\prod_a \frac{(\hat{a}_a^\dagger)^{m_a}}{\sqrt{m_a!}} |0\rangle \otimes |\xi\rangle \equiv \prod_a \frac{(\hat{a}_a^\dagger)^{m_a}}{\sqrt{m_a!}} |0\rangle |\xi\rangle$

⇒ při proměněm výjimečně přechodů přechodů mezi stavy tohoto tvaru
 vyšetřujeme, jaké přechodů přechodů stavy $\prod_a \frac{(\hat{a}_a^\dagger)^{m_a}}{\sqrt{m_a!}} |0\rangle |\xi\rangle$ do stavy $\prod_a \frac{(\hat{a}_a^\dagger)^{m'_a}}{\sqrt{m'_a!}} |0\rangle |\xi'\rangle$ je v 1. řádu úměrné

$$W \sim |\langle \xi' | \langle 0 | \prod_a \frac{(\hat{a}_a^\dagger)^{m'_a}}{\sqrt{m'_a!}} (\sum_b U_b \hat{a}_b^\dagger + \bar{U}_b \hat{a}_b + \sum_{b \neq d} U_{bd} \hat{a}_b^\dagger \hat{a}_d) \prod_c \frac{(\hat{a}_c^\dagger)^{m_c}}{\sqrt{m_c!}} |0\rangle |\xi\rangle |^2$$

jednotlivé členy v H_1 lze interpretovat jako

$U_b \hat{a}_b^\dagger$ - způsobuje vyprázdnění 1. místa a přidání nového stavu atomu v $|\xi\rangle$ na $|\xi'\rangle$

$U_b^* \hat{a}_b$ - "pohlcení" - "

$U_{bd} \hat{a}_b^\dagger \hat{a}_d$ - způsobuje přelocení částice ze stavu d a současně vyprázdnění 1. místa v jiném stavu

b, směrem d, dohání b přechodem atomu ze stavu $|\xi\rangle$ do $|\xi'\rangle$, dle toho vyznívá
 ve rovnici s $U_b \hat{a}_b^\dagger, U_b^* \hat{a}_b$

Pro mnoho matrici vlastní podmínky pro součinitel W. vzpř. přechodů vyprázdnění 1. místa ve stavu b je nulová
 pouze pokud $m'_a = m_a, \forall a \neq b, m'_b = m_b + 1$ (Důkaz: předpokládáme \hat{a}_b^\dagger dlece:

$$W \sim |\langle \xi' | \langle 0 | \prod_a \frac{(\hat{a}_a^\dagger)^{m'_a}}{\sqrt{m'_a!}} U_b \hat{a}_b^\dagger \prod_c \frac{(\hat{a}_c^\dagger)^{m_c}}{\sqrt{m_c!}} |0\rangle |\xi\rangle |^2 = |\langle \xi' | \langle 0 | \prod_{a \neq b} \frac{(\hat{a}_a^\dagger)^{m'_a}}{\sqrt{m'_a!}} \frac{1}{\sqrt{m'_b!}} (\hat{a}_b^\dagger)^{m'_b+1} \prod_c \frac{(\hat{a}_c^\dagger)^{m_c}}{\sqrt{m_c!}} |0\rangle |\xi\rangle |^2$$

$$= \langle \xi' | \langle 0 | \hat{a}_b^\dagger \dots \rangle + m'_b \langle \xi' | U_b | \xi \rangle \cdot \langle 0 | \prod_{a \neq b} \frac{(\hat{a}_a^\dagger)^{m'_a}}{\sqrt{m'_a!}} \cdot \frac{(\hat{a}_b^\dagger)^{m'_b-1}}{\sqrt{m'_b!}} \prod_c \frac{(\hat{a}_c^\dagger)^{m_c}}{\sqrt{m_c!}} |0\rangle |^2$$

$$= |\sqrt{m'_b} \cdot \prod_{a \neq b} \frac{(\hat{a}_a^\dagger)^{m'_a}}{\sqrt{m'_a!}} \cdot \delta_{m'_b-1, m_b} \langle \xi' | U_b | \xi \rangle |^2 \implies m'_b = m_b + 1, m'_a = m_a, \forall a \neq b, \text{ jinak } W = 0$$

$W_{\text{emise}} \sim (m_b + 1) \cdot |\langle \xi' | U_b | \xi \rangle|^2$... pravděpodobnost emise fotonu do stavu m_b fotonů je $(m_b + 1)$ -krát větší než pravděpodobnost emise fotonu do stavu $m_b - 1$ fotonů, pokud ve stavu b žádné fotony nejsou a jeho $m_b | \langle \rangle|^2$ odpovídá pravděpodobnosti stimulované emise, $1 \cdot | \langle \rangle|^2$ pravděpodobnosti spontánní emise.

Podobně lze uvažovat absorpci (prověďte) $\Rightarrow W_{\text{abs.}}$ je rovná pouze pokud $m_b' = m_b - 1, m_a' = m_a, \forall a$

$W_{\text{abs.}} \sim m_b \cdot |\langle \xi' | U_b^* | \xi \rangle|^2 = m_b \cdot |\langle \xi | U_b | \xi' \rangle|^2$

\Rightarrow pravděpodobnost absorpce je úměrná počtu fotonů v půl. stavu b

Pozn.: posouváme si operátory ξ a ξ' v $\langle \xi | U_b | \xi' \rangle$!

Pro konkrétní výpočty je nutné najít konkrétní tvar U_b a U_a , \hat{H}_p - obvykle pomocí principu korespondence a klasické teorie. Fotony jsou popsány Maxwellovou polí teorií \Rightarrow kvantování pole

Kvantování klasické polí teorie

Cíle: 1) reinteragující (volná) klasická polí teorie, např. $\mathcal{L} = \frac{1}{2} \partial_\mu \phi \partial^{\mu} \phi - \frac{1}{2} m^2 \phi^2$

2) nalezení obecného řešení pohybových rovnic jako superpozice rovinných vln
 definujeme obecnou hybnost $\pi = \frac{\partial \mathcal{L}}{\partial \partial_0 \phi}$ a postulujeme Poissonovy závazky v daném čase
 $[\phi(\vec{x}, t), \pi(\vec{y}, t)] = \delta^{(3)}(\vec{x} - \vec{y})$

hledáme vhodné objektivní a_a, a_a^* , je jejich Poiss. m.v. jsou $[a_a, a_a^*] = K \delta(a - a')$
 obvykle Fourierovy koef. v rozvoji do rovinných vln

max. energie $\mathcal{H} = \pi \partial_0 \phi - \mathcal{L} \Rightarrow H = \int d^3x \mathcal{H}$ a ověříme, zda
 $H = \sum \epsilon_a a_a^* a_a$ je energií uvažované superpozice rovinných vln

3) kvantování: postulujeme kanonické komut. relace mezi operátory $\hat{\phi}(\vec{x}, t)$ a $\hat{\pi}(\vec{y}, t)$
 $[\hat{\phi}(\vec{x}, t), \hat{\pi}(\vec{y}, t)] = i \hbar \delta^{(3)}(\vec{x} - \vec{y})$

dle principu korp. \hat{a}_a, \hat{a}_a^+ vyhovují komut. relacím pro kreací a anihilací operátory, hamiltonián má také podobu jako hamiltonián systému nerozlišitelných neinteragujících částic
 \Rightarrow postulujeme \exists stav s nejmenší energií - vakuum $|0\rangle$, Fockův prostor pak generujeme působením operátorů \hat{a}_a^+ na vakuum $|0\rangle$. Stav $\hat{a}_1^+ \dots \hat{a}_m^+ |0\rangle$ pak interpretujeme jako stav obsahující m kvant pole ϕ . Tyto stavy mají energii, resp. hybnosti, které jsou součtem energií, resp. hybností stavů $\hat{a}_n^+ |0\rangle$. Proto stav $\hat{a}_n^+ |0\rangle$ interpretujeme jako částici půl. poli ϕ , např. foton, a stav $\hat{a}_1^+ \dots \hat{a}_m^+ |0\rangle$ jako m -částicový stav.

4) integrální členy v lagrangianu \mathcal{L} vyjádříme pomocí $\hat{a}_a, \hat{a}_a^\dagger$, převedeme pomocí principu korespondence do kvantové teorie a spočítáme poměrově

Pr: Volně reálné Klein-Gordonovo pole ($\mu = c = 1, \hbar = 1$)

$$\mathcal{L} = \frac{1}{2} \partial_\mu \phi \partial^\mu \phi - \frac{1}{2} m^2 \phi^2$$

$$\Rightarrow \boxed{\square \phi + m^2 \phi = 0} \quad \text{pohyb. rec} \quad \Rightarrow \quad \phi(\vec{x}, t) = \int \frac{d^3 k}{(2\pi)^{3/2}} \left(\frac{a_{\vec{k}} e^{i(\vec{k}\vec{x} - \omega_{\vec{k}} t)}}{\sqrt{2\omega_{\vec{k}}}} + \frac{a_{\vec{k}}^* e^{-i(\vec{k}\vec{x} - \omega_{\vec{k}} t)}}{\sqrt{2\omega_{\vec{k}}}} \right)$$

aby byla reálné
 $\langle \text{kvant.} [\hat{a}_{\vec{k}}, \hat{a}_{\vec{k}'}^\dagger] = \delta(\vec{k} - \vec{k}') \rangle$

dosazení do pohyb. rec $\Rightarrow \omega_{\vec{k}} = \sqrt{\vec{k}^2 + m^2}$

$$\pi(\vec{x}, t) = \dot{\phi}(\vec{x}, t) = -i \int d^3 k \sqrt{\frac{\omega_{\vec{k}}}{2}} \left(a_{\vec{k}} e^{i(\vec{k}\vec{x} - \omega_{\vec{k}} t)} - a_{\vec{k}}^* e^{-i(\vec{k}\vec{x} - \omega_{\vec{k}} t)} \right)$$

$$\Rightarrow a_{\vec{k}} = \frac{1}{\sqrt{2\omega_{\vec{k}}}} \int \frac{d^3 x}{(2\pi)^{3/2}} e^{-i(\vec{k}\vec{x} - \omega_{\vec{k}} t)} [\omega_{\vec{k}} \phi(x, t) + i\pi(x, t)] = \frac{i}{\sqrt{2\omega_{\vec{k}}}} \int \frac{d^3 x}{(2\pi)^{3/2}} e^{-i(\vec{k}\vec{x} - \omega_{\vec{k}} t)} \partial_0 \phi$$

kde $A \partial_B = A \partial_B - \partial_B A$

Overkou

$$a_{\vec{k}} = \frac{1}{\sqrt{2\omega_{\vec{k}}}} \int \frac{d^3 x d^3 \ell}{(2\pi)^3} e^{-i(\vec{k}\vec{x} - \omega_{\vec{k}} t)} \left[\omega_{\vec{k}} \frac{a_{\vec{\ell}} e^{i(\vec{\ell}\vec{x} - \omega_{\vec{\ell}} t)}}{\sqrt{2\omega_{\vec{\ell}}}} + \omega_{\vec{\ell}} \frac{a_{\vec{\ell}}^* e^{-i(\vec{\ell}\vec{x} - \omega_{\vec{\ell}} t)}}{\sqrt{2\omega_{\vec{\ell}}}} \right]$$

přímou integrací
 int. přes $\delta^3(\vec{k} \pm \vec{\ell}) = \int \frac{d^3 x}{(2\pi)^3} e^{i\vec{x}(\vec{k} \pm \vec{\ell})}$
 vyjádřením přes δ

$$= \frac{\omega_{\vec{k}} + \omega_{\vec{k}}}{\sqrt{2\omega_{\vec{k}}} \sqrt{2\omega_{\vec{k}}}} a_{\vec{k}} + \frac{\omega_{\vec{k}} - \omega_{\vec{k}}}{\sqrt{2\omega_{\vec{k}}} \sqrt{2\omega_{\vec{k}}}} a_{\vec{k}}^* e^{2i\omega_{\vec{k}} t} = a_{\vec{k}}$$

Overkou

$$a_{\vec{k}}^* = \frac{1}{\sqrt{2\omega_{\vec{k}}}} \int \frac{d^3 x}{(2\pi)^{3/2}} e^{i(\vec{k}\vec{x} - \omega_{\vec{k}} t)} [\omega_{\vec{k}} \phi(x, t) - i\pi(x, t)] = -\frac{i}{\sqrt{2\omega_{\vec{k}}}} \int \frac{d^3 x}{(2\pi)^{3/2}} e^{i(\vec{k}\vec{x} - \omega_{\vec{k}} t)} \partial_0 \phi$$

Pozn: KG pole bylo původně chápané jako kvantově mechanická vlnová funkce pro relativistickou částici. Tato teorie však byla nekonzistentní. Z historických důvodů se pro nahuzení $\phi \rightarrow \hat{\phi}, \pi \rightarrow \hat{\pi}$ někdy používá název "dvuké kvantování". Lepší označení je však kvantování pole.

$$[\hat{\phi}(\vec{x}, t), \hat{\pi}(\vec{y}, t)] = i \delta^{(2)}(\vec{x} - \vec{y}) \Rightarrow [\hat{a}_{\vec{k}_1}, \hat{a}_{\vec{k}_2}] = 0 = [\hat{a}_{\vec{k}_1}^\dagger, \hat{a}_{\vec{k}_2}^\dagger], [\hat{a}_{\vec{k}_1}, \hat{a}_{\vec{k}_2}^\dagger] = \delta_{\vec{k}_1, \vec{k}_2}^{(2)}$$

Overkou

$$[\hat{a}_{\vec{k}_1}, \hat{a}_{\vec{k}_2}^\dagger] = \frac{1}{\sqrt{2\omega_{\vec{k}_1}} \sqrt{2\omega_{\vec{k}_2}}} \int \frac{d^3 x d^3 y}{(2\pi)^3} e^{-i(\vec{k}_1 \vec{x} + \omega_{\vec{k}_1} t)} e^{+i(\vec{k}_2 \vec{y} - \omega_{\vec{k}_2} t)} [\omega_{\vec{k}_1} \hat{\phi}(\vec{x}, t) + i\hat{\pi}(\vec{x}, t), \omega_{\vec{k}_2} \hat{\phi}(\vec{y}, t) - i\hat{\pi}(\vec{y}, t)] =$$

$$= \frac{1}{\sqrt{2\omega_{\vec{k}_1}} \sqrt{2\omega_{\vec{k}_2}}} \int \frac{d^3 x d^3 y}{(2\pi)^3} e^{-i(\vec{k}_1 \vec{x} + \omega_{\vec{k}_1} t)} e^{+i(\vec{k}_2 \vec{y} - \omega_{\vec{k}_2} t)} (\omega_{\vec{k}_1} \delta^{(2)}(\vec{x} - \vec{y}) + \omega_{\vec{k}_2} \delta^{(2)}(\vec{x} - \vec{y})) = \frac{\omega_{\vec{k}_1} + \omega_{\vec{k}_2}}{\sqrt{2\omega_{\vec{k}_1}} \sqrt{2\omega_{\vec{k}_2}}} \int \frac{d^3 x}{(2\pi)^3} e^{-i(\vec{k}_1 - \vec{k}_2) \vec{x} + i(\omega_{\vec{k}_1} - \omega_{\vec{k}_2}) t}$$

$$= \frac{\omega_k + \omega_{k'}}{\sqrt{2\omega_k} \sqrt{2\omega_{k'}}} \delta^{(2)}(\vec{k} - \vec{k}') e^{i(\omega_k - \omega_{k'})t} = \frac{2\omega_k}{2\omega_k} e^0 \delta^{(2)}(\vec{k} - \vec{k}') = \delta^{(2)}(\vec{k} - \vec{k}') \quad \text{o.k.}$$

další ověření obdobně

$$\hat{H} = \int (\hat{\pi} \partial_t \hat{\phi} - \hat{\mathcal{L}}) d^3x = \int d^3x \left[\frac{1}{2} \hat{\pi}^2(x,t) + \frac{1}{2} \partial_i \hat{\phi} \partial_i \hat{\phi} + \frac{m^2}{2} \hat{\phi}^2 \right] = \int d^3x (\hat{a}_i, \hat{a}_i^\dagger)$$

$$= \dots = \int d^3k \left(\omega_k \frac{\hat{a}_{\vec{k}}^\dagger \hat{a}_{\vec{k}} + \hat{a}_{-\vec{k}} \hat{a}_{-\vec{k}}^\dagger}{2} \right) = \int d^3k \left(\omega_k (\hat{a}_{\vec{k}}^\dagger \hat{a}_{\vec{k}} + \frac{1}{2}) \right)$$

$$\Rightarrow \boxed{\hat{H} = \int d^3k \omega_k \hat{a}_{\vec{k}}^\dagger \hat{a}_{\vec{k}}} \quad \text{podobně } \vec{P} = \int d^3k (\vec{k} \hat{a}_{\vec{k}}^\dagger \hat{a}_{\vec{k}}) \quad \begin{matrix} \uparrow \text{odstraníme konstantní nulové členy} \\ \text{energie (obohatit } \infty \text{ velkým)} \end{matrix}$$

\Rightarrow máme Fockův prostor a jeho bázi tvořena kl. vektory hybnosti a energie ninteragujícího pole.

Případnou interakci nahradíme jako poruchu:

Pr: ϕ^4 teorie $\mathcal{L} = \frac{1}{2} \partial_\mu \phi \partial^\mu \phi - \frac{m^2}{2} \phi^2 - \frac{\lambda}{4!} \phi^4$

$\phi^4 =$ složitý výraz v $\hat{a}_k, \hat{a}_k^\dagger \rightarrow$ nutné vhodné technické prostředky

- tzv. notace rozpínání, Wickův teorém, Feynmannovy diagramy, volné propagační atd.

Obdobně se provádí kvantování elektromagnetického pole

\Rightarrow dostatečně nemáme fyzikální z kalibrační invariance ... v kvantování se jeho nezávislé pole a jejich hybnosti mají objevit pouze fyzikální stupně volnosti. K vyřešení těchto obtíží existují různé metody, nejjednodušší je v klasické teorii seferovat plně kalibrační a pak kvantovat (bude postup je však nevhodný pro práci v teorii element. částic - QED apod. !)

$A^\mu = (\phi, \vec{A}) \quad \mathcal{L} = -\frac{1}{4} F_{\mu\nu} F^{\mu\nu} \quad F_{\mu\nu} = \partial_\mu A_\nu - \partial_\nu A_\mu$

$\boxed{\partial_\mu \partial^\mu A^\nu - \partial^\nu \partial_\mu A^{\mu}} = 0$ vybereme kalibraci $\text{div } \vec{A} = 0$ ("Coulomb v radiální gauge")

Jako kalibrace však nemí Lorentzovskou invariancí \Rightarrow pracujeme ve vybrané S.S

Pozn: máme-li $\text{div } \vec{A} = f(\vec{x}, t) \neq 0 \Rightarrow A'^\mu = A^\mu + \partial^\mu \chi : \nabla \cdot \vec{A}' = \nabla \cdot (\vec{A} + \nabla \chi) = f + \Delta \chi \stackrel{!}{=} 0$

$\Rightarrow \chi(\vec{x}, t) = \frac{1}{4\pi} \int \frac{f(\vec{y}, t')}{|\vec{x} - \vec{y}|} d^3y$ definuje potřebnou kalibr. transf. a je podm. $A^0 \rightarrow 0$ pro $|\vec{x}| \rightarrow \infty$
vícero jednoduše

podob. nec $\Rightarrow \partial_t \partial^i A^0 = 0 \Rightarrow A^0(\vec{x}, t) = 0$ (jediné řešení vyhovující)

$\Rightarrow \boxed{\square \vec{A} = 0} \Rightarrow$ rovinné vlny $\vec{A}(\vec{x}, t) = a \vec{E} (e^{i(\vec{k}\vec{x} - \omega t)} + \text{h.c.})$

a podmínkou $\vec{E} \cdot \vec{k} = 0$ (dosazení do $\nabla \cdot \vec{A} = 0$)

\Rightarrow obecné řešení

$$\vec{A}(\vec{x}, t) = \int \frac{d^3k}{(2\pi)^{3/2}} \sum_{\alpha=1}^2 \frac{\vec{E}_\alpha(\vec{k})}{\sqrt{2\omega_k}} \left[a_{k\alpha} e^{i(\vec{k}\vec{x} - \omega_k t)} + a_{k\alpha}^* e^{-i(\vec{k}\vec{x} - \omega_k t)} \right]$$

$\omega_k = |\vec{k}|$

$\vec{E}_\alpha(\vec{k}) \cdot \vec{E}_\beta(\vec{k}) = \delta_{\alpha\beta}, \quad \vec{k} \cdot \vec{E}_\alpha(\vec{k}) = 0$

Dále vyjádříme energii a hybnost elektromagnetického pole pomocí a, a^*

$$E = \frac{1}{2} \int d^3x (\vec{E}^2 + \vec{B}^2) \quad \text{v jednotkách } c=1, k=1$$

$$= \frac{1}{2} \int d^3x (\vec{A}^{\prime 2} - \vec{A} \cdot \Delta \vec{A}) \quad \text{v naší kalibraci}$$

$$= \int d^3k \omega_k a_{\vec{k}\alpha}^* a_{\vec{k}\alpha}$$

podobně $\vec{P} = \int d^3k \vec{k} a_{\vec{k}\alpha}^* a_{\vec{k}\alpha}$ } vybraně tak, aby pro vakuum $E=0=\vec{P}$

Dále by bylo vhodné najít kanonický párový a, a^* . To je však nepravděpodobné
 sítka $(\{A_i, \Pi_j\}_{PE} \neq \delta_{ij} \delta(\cdot))$ kvůli tomu $\text{div } A_i = 0$

\Rightarrow kanonický párový pro EM pole v Coulombově kalibraci je (Pozn: $E^i = -\Pi^i = -\dot{A}^i$)

$$\{A^i(\vec{x}, t), E^j(\vec{x}', t)\} = -(\delta^{ij} - \frac{\partial^i \partial^j}{\Delta}) \delta^{(3)}(\vec{x} - \vec{x}')$$

$$\{A^i, A^j\} = 0 = \{E^i, E^j\} \quad (\frac{1}{\Delta} \dots \text{Greenova funkce Laplaceova op.})$$

\Rightarrow kommutace $[A^i(\vec{x}, t), E^j(\vec{x}', t)] = i(\delta^{ij} - \frac{\partial^i \partial^j}{\Delta}) \delta^{(3)}(\vec{x} - \vec{x}') \Pi$

$$[A^i(\vec{x}, t), A^j(\vec{x}', t)] = 0 = [E^i(\vec{x}, t), E^j(\vec{x}', t)]$$

\Rightarrow po dosazení vyjádření A^i, E^i pomocí a, a^* lze odvodit kanonický párový
 a, a^* a po kvantování komutační relace

$$[a_{\vec{k}\alpha}, a_{\vec{k}'\alpha'}^+] = \delta_{\alpha\alpha'} \delta^{(3)}(\vec{k} - \vec{k}') \Pi$$

$$[a_{\vec{k}\alpha}, a_{\vec{k}'\alpha'}] = 0 = [a_{\vec{k}\alpha}^+, a_{\vec{k}'\alpha'}^+]$$

Nyní již v principu máme všechny nástroje potřebné k výpočtu interakce fermionů a látkom:
 Diracův prostor je kanonickým rovinem \mathcal{H}_{atom} (např. elektron v elekt. poli jádra)

a Fockova prostor pro popis fotonů $\mathcal{F}_B(\mathcal{H})^{\otimes 2}$, \mathcal{H} prostor 3-D volné částice ($1^{\otimes 2}$ kvůli E_2)
 celkový hamiltonián je součet

$$\hat{H} = \hat{H}_{atom} = -\frac{\hbar^2}{2m} \Delta + \frac{Q}{r}$$

$$(\hat{H} = \frac{(\hat{P} - e\hat{A})^2}{2m} + e\hat{\varphi} + \frac{1}{2} \int d^3x (\vec{E}^2 + \vec{B}^2))$$

$$+ \hat{H}_{int} = -e[\hat{P}_i, \hat{A}_i^+] + e^2 \hat{A}_i^+ \hat{A}_i^- \quad \text{mnoho vyjádřit } \hat{A}_i \text{ pomocí } \hat{a}, \hat{a}^+$$

$$+ \hat{H}_{EM} = \int d^3k \omega_k \hat{a}_{\vec{k}\alpha}^+ \hat{a}_{\vec{k}\alpha}$$

Až tedy přispěje k dynamice systému od \hat{H}_{atom} a \hat{H}_{EM} pp., lze rovnice spočítat (\hat{H}_{EM} působí)

\hat{H}_{atom} dle situace), příspěvek od \hat{H}_{int} nepočítáme pomocí.

Vzhledem k tomu, že používáme metodu perturbace teorie, pracujeme v Diracově reprezentaci (tj. volná dynamika je v Heisenbergově repr.)

\Rightarrow je možné konkrétně spočítat W_{em}^{\pm} , W_{abs} v daném systému (obecné vztahy viz dříve) a určit i opravy ve vyšších řádech perturbace teorie apod.

Stejně se postupuje i ve fundamentálních teoriích elementárních částic, ale v této aplikaci je třeba vrátit i další problémy např.

1) Fockův prostor stavů je konstruován pomocí stavů \hat{H} volných, neinteragujících částic. Do jaké míry je právačné jeho použití pro interagující částice?

2) Problém s kalibračními stupni volnosti se ještě zhorší při použití neabelových kalibračních teorií (elektroslabé, silné interakce).

3) Divergující členy v perturbacích rozvozech \rightarrow renormalizace atd.